# ФЕДЕРАЛЬНОЕ ГОСУДАРСТВЕННОЕ БЮДЖЕТНОЕ УЧРЕЖДЕНИЕ НАУКИ ИНСТИТУТ ЭКОЛОГИИ И ГЕНЕТИКИ МИКРООРГАНИЗМОВ УРАЛЬСКОГО ОТДЕЛЕНИЯ РОССИЙСКОЙ АКАДЕМИИ НАУК

На правах рукописи

КОРСАКОВА Екатерина Сергеевна

# КУЛЬТИВИРУЕМЫЕ АЭРОБНЫЕ БАКТЕРИИ ИЗ РАЙОНА ПРОМЫШЛЕННЫХ РАЗРАБОТОК ВЕРХНЕКАМСКОГО МЕСТОРОЖДЕНИЯ СОЛЕЙ

03.02.03 Микробиология

Диссертация на соискание ученой степени кандидата биологических наук

Научный руководитель: доктор биологических наук Е. Г. Плотникова

| СОДЕРЖАНИЕ                                                          | Стр |
|---------------------------------------------------------------------|-----|
| введение                                                            | 5   |
| Глава 1. ОБЗОР ЛИТЕРАТУРЫ.                                          | 11  |
| 1.1 Промышленные разработки Верхнекамского месторождения солей      | 11  |
| 1.2 Экстремофильные микроорганизмы, способные существовать в        |     |
| условиях высокой минерализации среды                                | 15  |
| 1.2.1 Общая характеристика бактерий семейства <i>Halomonadaceae</i> | 21  |
| 1.2.2 Галофильные и галотолерантные бактерии из ризосферы           |     |
| растений                                                            | 25  |
| 1.3 Биодеградация моно(поли)ароматических углеводородов             | 28  |
| 1.3.1 Разложение нафталина бактериями                               | 29  |
| 1.3.2 Разложение орто-фталевой кислоты бактериями                   | 35  |
| 1.3.3 Разложение бензойной кислоты бактериями                       | 40  |
| 1.3.4 Галотолерантные и галофильные бактерии-деструкторы стойких    |     |
| органических загрязнителей.                                         | 43  |
| ЭКСПЕРИМЕНТАЛЬНАЯ ЧАСТЬ                                             |     |
| Глава 2. МАТЕРИАЛЫ И МЕТОДЫ ИССЛЕДОВАНИЙ                            | 49  |
| 2.1 Образцы исследования                                            | 49  |
| 2.2 Среды и условия культивирования бактерий                        | 53  |
| 2.3 Методы выделения бактерий                                       | 53  |
| 2.4 Определение ростовых характеристик                              | 54  |
| 2.4.1 Рост бактерий на ароматических углеводородах                  | 55  |
| 2.4.2 Рост бактерий при изменении осмолярности среды или            |     |
| концентрации субстрата                                              | 55  |
| 2.5 Разложение ароматических углеводородов бактериями               | 56  |
| 2.6 Морфологическая и физиолого-биохимическая идентификация         |     |
| бактерий                                                            | 57  |
| 2.7 Молекулярно-генетические методы                                 | 58  |
| 2.7.1 Подготовка проб ДНК для ПЦР.                                  | 58  |

| 2.7.2 Амплификация гена 16S pPHK                                    | 4 |
|---------------------------------------------------------------------|---|
| 2.7.3 Амплификация функциональных генов                             | 4 |
| 2.7.4 Электрофорез амплифицированных фрагментов ДНК                 | ( |
| 2.7.5 Определение нуклеотидных последовательностей и                |   |
| филогенетический анализ                                             | 6 |
| 2.7.6 ДНК-типирование                                               | ( |
| 2.7.7 Рестрикционный анализ амплифицированных рибосомальных ДНК     | 6 |
| 2.7.8 Плазмидная ДНК                                                | ( |
| 2.7.9 Денатурирующий градиентный гель электрофорез                  | ( |
| 2.8 Статистическая обработка результатов                            | ( |
| Глава 3. БАКТЕРИИ ИЗ ЗАЛЕЖЕЙ СОЛЕЙ (ВЕРХНЕКАМСКОЕ                   |   |
| МЕСТОРОЖДЕНИЕ)                                                      | 6 |
| 3.1 Бактерии, выделенные из образцов сильвинита и каменной соли     |   |
| (рудник СКПРУ-1, ОАО «Уралкалий», г. Соликамск)                     | ( |
| 3.2 Микроорганизмы в образце каменной соли, выявленные методом      |   |
| денатурирующего градиентного гель-электрофореза (ДГГЭ)              | ( |
| Глава 4. БАКТЕРИИ, ВЫДЕЛЕННЫЕ ИЗ ГАЛИТОВЫХ ОТХОДОВ,                 |   |
| ГРУНТА, ПОЧВЫ И РАССОЛОСБОРНИКОВ РАЙОНА                             |   |
| СОЛЕРАЗРАБОТОК                                                      | ( |
| 4.1 Бактерии, выделенные из галитовых отходов района солеразработок |   |
| (ОАО «Уралкалий», г. Соликамск)                                     | ( |
| 4.2 Бактерии из образцов грунта, отобранных вблизи солеотвалов      |   |
| Соликамского рудоуправления (ОАО «Уралкалий», г. Соликамск)         | , |
| 4.3 Бактерии, выделенные из образцов воды, соляных отложений со дна |   |
| рассолосборника (СКПРУ-2, ОАО «Уралкалий», г. Соликамск)            | - |
| 4.4 Бактерии, выделенные из ризосферы растений, произрастающих      |   |
| вблизи солеотвалов (ОАО «Уралкалий», г. Соликамск)                  | , |
| = ( ( (                                                             |   |

| Глава 5. ГАЛОФИЛЬНЫЕ И ГАЛОТОЛЕРАНТНЫЕ БАКТЕРИИ,                  |     |
|-------------------------------------------------------------------|-----|
| выделенные из отходов (техногенно-минеральных                     |     |
| ОБРАЗОВАНИЙ) КАЛИЙНОГО ПРОИЗВОДСТВА                               |     |
| ОАО «УРАЛКАЛИЙ»                                                   | 88  |
| 5.1 Культивируемые галотолерантные бактерии из ТМО                |     |
| шламохранилища БКПРУ-2 ОАО «Уралкалий»                            | 88  |
| 5.2 Культивируемые галофильные бактерии из ТМО шламохранилища     |     |
| БКПРУ-2 ОАО «Уралкалий»                                           | 94  |
| 5.3 Культивируемые бактерии-деструкторы из ТМО шламохранилища     |     |
| БКПРУ-1 ОАО «Уралкалий»                                           | 96  |
| 5.4 Галотолерантный штамм Rhodococcus wratislaviensis КТ112-7 –   |     |
| деструктор моно(поли)ароматических углеводородов                  | 100 |
| 5.4.1 Идентификация и геномные исследования                       | 100 |
| 5.4.2 Деградационная активность                                   | 101 |
| 5.4.3 Деструкция ароматических углеводородов при разной солености |     |
| среды                                                             | 104 |
| 5.4.4 Функциональные гены деструкции ароматических соединений     | 107 |
| 5.4.5 Метаболические пути деструкции орто-ФК и БК у штамма        | 108 |
| R. wratislaviensis KT112-7.                                       | 108 |
| ЗАКЛЮЧЕНИЕ                                                        | 111 |
| ВЫВОДЫ                                                            | 115 |
| СПИСОК ПРИНЯТЫХ СОКРАЩЕНИЙ                                        | 117 |
| СПИСОК ЛИТЕРАТУРЫ                                                 | 118 |
| ПРИЛОЖЕНИЯ                                                        | 136 |

#### **ВВЕДЕНИЕ**

#### Актуальность проблемы

Галофильные и галотолерантные микроорганизмы, способные к активной жизнедеятельности в широком диапазоне концентраций солей, имеют весьма широкое распространение. Они обнаружены в природных биотопах (океаны и моря, гиперсоленые озера, солончаковые почвы и т.д.) и антропогенных экосистемах с повышенным уровнем минерализации (Benlloch et al., 2002; Hedi et al., 2009; Jiang et al., 2006; Singh, 2012; Xiang et al., 2008). Галофильные и галотолерантные микроорганизмы - представители трех доменов *Bacteria*, 2008), используют Archaea Eukarya (Oren, стратегии, при помощи которых могут противостоять воздействиям высоких концентраций солей: накопление неорганических ионов внутри клеток или активное удаление солей из цитоплазмы за счет накопления высоких концентраций органических молекул – осмолитов.

Район промышленных разработок Верхнекамского месторождения калийномагниевых и натриевых солей (ВКМКС) (г. Березники, г. Соликамск, Пермский край) объединяет как природные, так и антропогенные, сформировавшиеся процессе добычи солей, микробоценозы. ВКМКС представляет собой многопластовую толщу соленосных отложений пластами сильвинита и каменной соли (Белкин, 2008). При промышленной добыче и переработке солей на поверхности грунта складируются отходы производства в шламохранилищах и галитовых отвалах, содержание хлорида натрия в последних составляет более 90%. Растворение материала солеотвалов приводит к появлению зон засоления в радиусе 1-5 м, а в понижениях, прилегающих к подножью, образуются озера с соленой водой (рассолосборники) (Бабошко, Бачурин, 2009; Шубин, 2005).

Кроме того, в отходах (глинисто-солевых шламах, избыточных маточных рассолах) соледобывающего производства предприятий ОАО «Уралкалий» были обнаружены стойкие органические загрязнители, а именно моно(поли)ароматические углеводороды и их производные, галогенсодержащие органические соединения и фталаты (Бачурин, Одинцова, 2009). Данные

обладающие устойчивостью воздействиям, соединения, К внешним свойствами, токсичностью, канцерогенными представляют существенную биосферы опасность ДЛЯ здоровья человека И В целом (http://www.atsdr.cdc.gov/toxprofiles/tp17.html). Таким образом, районе В соледобычи при комплексной нагрузке (высокий уровень минерализации и токсичные поллютанты) возникают условия для выживания уникальных галофильных и галотолерантных микроорганизмов, в том числе способных разлагать широкий спектр экотоксикантов.

района солеразработок ВКМКС были ИЗ ПОЧВ выделены и охарактеризованы бактерии-деструкторы ПАУ (нафталина, фенантрена) родов Pseudomonas, Arthrobacter, Bacillus (Плотникова и др., 2001, 2011; Ястребова и др., 2009). В составе полученного из техногеннозасоленной/загрязненной почвы метаболизирующего нафталин, выявлены консорциума, галотолерантные деструкторы рода Rhodococcus и галофильные бактерии сем. Halomonadaceae, представители которых были описаны в качестве нового рода Salinicola (Ананьина и др., 2007). Описаны новые таксоны архей и прокариот, выделенные из продуктов флотационного обогащения калийных минералов и техногенных вод шламохранилища ОАО «Уралкалий» на территории ВКМКС (г. Соликамск, (Реутских, 2012; 2012a; Пермский край) Саралов, Саралов др., И Саралов и др., 20126; Saralov *et al.*, 2013).

Однако до настоящего времени не было проведено комплексной оценки (филогенетического) таксономического И функционального разнообразия микроорганизмов из природных (ископаемых залежей солей) и техногенных экосистем района разработок ВКМКС. Следует отметить, что галофильные и галотолерантные бактерии характеризуются высоким биотехнологическим потенциалом. Так, осмопротекторные соединения, накапливающиеся клетками для их стабилизации и защитного эффекта, нашли широкое применение в косметической промышленности, a В также качестве криопротекторов (Garrity et al., 2005). Кроме того, солеустойчивые бактерии, способные разлагать широкий спектр ароматических соединений, перспективны для разработки

экобиотехнологий (например, для очистки почв, донных отложений, шламов, характеризующихся высоким уровнем солености) (Singh, 2012). культивируемых бактерий исследование cуникальными физиологобиохимическими свойствами лальнейшего пелью их использования в биотехнологических целях является важным и перспективным направлением исследований.

**Цель настоящего исследования** — изучение таксономического и функционального разнообразия аэробных органотрофных бактерий из района промышленных разработок Верхнекамского месторождения солей.

#### Основные задачи исследования

- 1. Выделение и идентификация аэробных бактерий из ископаемых залежей солей и техногенных экосистем территории промышленных разработок ВКМКС.
- 2. Оценка таксономического (филогенетического) разнообразия галофильных бактерий сем. *Halomonadaceae* из подземных (природных) и наземных (техногенных) экосистем района солеразработок.
- 3. Исследование бактериального состава ризосферы растений, произрастающих на засоленных почвах территории калийного производства (г. Соликамск).
- 4. Характеристика аэробных галотолерантных бактерий-деструкторов моно(поли)ароматических соединений, выделенных из отходов (техногенноминеральных образований) калийного производства (г. Березники).

#### Научная новизна

Впервые изучено таксономическое (филогенетическое) разнообразие галофильных бактерий в подземных соляных залежах и наземных техногенных объектах промышленных разработок солей на территории России (Верхнекамское месторождения калийно-магниевых солей, Пермский край). Обнаружены представители 40 родов (более 120 видов) бактерий, входящих в состав 24 семейств 4 филумов «Proteobacteria», «Actinobacteria», «Bacteroidetes» и «Firmicutes». Выявлены потенциальные представители новых родов и видов в составе классов Flavobacteriia и Gammaproteobacteria. Показано повсеместное

распространение на территории ВКМКС (ископаемых залежах солей, продуктах их технологической обработки, отходах производства и техногеннозасоленных почвах) протеобактерий семейства *Halomonadaceae* (класс *Gammaproteobacteria*). Представители рода *Chromohalobacter* (сем. *Halomonadaceae*) доминировали в образцах руд (сильвинит, каменная соль) и наземных высокоминерализованных образцах (галитовые отходы, донные отложения рассолосборников). Обнаружены бактерии порядка *Actinomycetales*, являющиеся активными деструкторами ароматических углеводородов, присутствующих в отходах солепроизводства. Выделен и описан галотолерантный штамм *Rhodococcus wratislaviensis* КТ112-7 (=ВКМ АС 2631D), деструктор моно(поли)ароматических углеводородов.

#### Теоретическое и практическое значение работы

Результаты выполненного исследования расширяют представления разнообразии галофильных бактерий 0 галотолерантных И техногеннозасоленных/загрязненных районов промышленных разработок месторождений калийно-магниевых солей. Информация бактериальных способных к деструкции ароматических соединений (стойких культурах, органических загрязнителей) при высокой минерализации среды, может быть использована как основа для создания новых подходов к разработке методов биоремедиации экстремальных экосистем. Создана рабочая коллекция (157)галотолерантных/галофильных бактерий штаммов), перспективных фундаментальных исследований и использования ДЛЯ В биотехнологиях. Штамм Rhodococcus wratislaviensis КТ112-7, перспективный для разработки новых экобиотехнологий, депонирован во Всероссийской коллекции микроорганизмов (ВКМ) ИБФМ им. Г.К. Скрябина РАН под номером ВКМ АС 2631D. Нуклеотидные последовательности генов 16S рРНК 12 штаммов бактерий, выделенных из ризосферы растений, произрастающих на засоленных почвах района соледобычи, депонированы в базе данных GenBank под номерами KF010924 - 28, KC992726 - 31, KC538827.

#### Основные положения, выносимые на защиту

- 1. Галофильные бактерии семейства Halomonadaceae (класс Gammaproteobacteria) имеют повсеместное распространение в районе промышленных разработок ВКМКС (Пермский край) – как в ископаемых залежах солей. так И на техногеннозасоленных территориях. Доминирующими культивируемыми бактериями в образцах руд (сильвинит, каменная соль) и наземных высокоминерализованных объектах (галитовые отходы, донные отложения рассолосборников) являются представители рода *Chromohalobacter*.
- 2. Техногенное засоление почвы оказывает влияние на формирование микробного сообщества ризосферы растений, произрастающих в районе складирования отходов предприятия ОАО «Уралкалий» (г. Соликамск, Пермский край). Доминирующими группами в ризосфере являются бактерии семейства *Halomonadaceae* (родов *Halomonas* и *Salinicola*) и галотолерантные бактерии классов *Actinobacteria* и *Bacilli*.
- 3. В отходах (техногенно-минеральных образованиях) калийного производства (г. Березники, Пермский край) преобладают актинобактерии порядка *Actinomycetales* деструкторы токсичных органических соединений. Штамм *Rhodococcus wratislaviensis* КТ112-7 (=ВКМ АС 2631D) способен разлагать нафталин, *орто*-фталевую и бензойную кислоты в присутствии повышенных концентраций хлорида натрия.

#### Апробация работы и публикации

Материалы диссертации доложены и обсуждены на II, III V Всероссийском с международным участием конгрессе студентов и аспирантовбиологов «Симбиоз – Россия», Пермь, 2009, Нижний Новгород, 2010, Тверь, 2012; Международной Научной Конференции «Микробиологическая биотехнология – наукоемкое направление современных знаний», Кишинев, Молдова, 2011; I Всероссийской с международным участием школе-конференции молодых «Современные проблемы микробиологии, учёных иммунологии И биотехнологии», Пермь, 2011; 14-й, 16-й и 17-й Международной Пущинской школе-конференции молодых ученых «Биология XXI наука века»,

Пущино, 2010, 2012, 2013; Всероссийской молодежной конференции «Актуальные проблемы химии и биологии», Пущино, 2012; VI Всероссийской конференции молодых ученых «Стратегия взаимодействия микроорганизмов и растений с окружающей средой», Саратов, 2012; VIII Молодежной школеконференции с международным участием «Актуальные аспекты современной микробиологии», Москва, 2012; Всероссийской конференции с элементами научной школы для молодежи «Экотоксикология-2013», Тула, 2013; 5th Congress of European Microbiologists, Leipzig, Germany, 2013.

По теме диссертации опубликовано 20 печатных работ, в том числе 4 статьи в журналах из списка ВАК.

#### Объем и структура диссертации

Работа изложена на 150 страницах машинописного текста, содержит 25 таблиц и 28 рисунков. Диссертация состоит из введения, обзора литературы, описания материалов и методов исследования, трех глав экспериментальных исследований, заключения, выводов, списка цитируемой литературы, включающего 169 литературных источников, из них 47 на русском языке и 122 зарубежных, и приложения.

#### Связь работы с научными программами и собственный вклад автора

Диссертационная работа выполнена в соответствии с планом НИР Института экологии и генетики микроорганизмов УрО РАН и является частью исследований, проводимых по теме «Изучение функционального и видового разнообразия микроорганизмов, полезных для экоценозов и практической деятельности человека» (номер государственной регистрации НИР 01201353247). Исследования поддержаны проектом Президиума РАН «Молекулярная и клеточная биология» (номер гос. регистрации в ЦИТиС №01200963682), грантом РФФИ-Урал №11-04-96028-р\_урал\_а, а также научным проектом молодых ученых УрО РАН №13-4-НП-448. Научные положения и выводы полностью базируются на результатах собственных исследований автора.

#### Глава 1. ОБЗОР ЛИТЕРАТУРЫ

#### 1.1 Промышленные разработки Верхнекамского месторождения солей

Верхнекамское месторождение калийно-магниевых и натриевых солей (ВКМКС) является одним из крупнейших среди месторождений, разрабатываемых в мире. В его недрах месторождения (данные на 01.01.2005 г.) сосредоточено 163,4 млрд. т. калийно-магниевых солей и 17,1 млрд. т. натриевых солей.

ВКМКС представляет собой многопластовую соляную толщу, которая подразделяется на подстилающую *каменную соль*, *калийную залежь* и *покровную каменную соль*. Калийная залежь состоит из *сильвинитовой* и *карналлитовой* зон общей мощностью от 41 до 120 м, средней – 71,2 м. Из полезных ископаемых наиболее распространены сильвинитовые, в меньшей степени – карналлитовые и смешанные породы. Содержание К<sub>2</sub>О в солях изменяется от 11,03 до 24,41%, MgO от 1,69 до 10,36%.

Глубина отработки рабочих пластов солей составляет 250 – 380 м. Добытая руда обогащается флотационными и галургическим способами на обогатительных фабриках рудоуправлений ОАО «Уралкалий», г. Березники, г. Соликамск, Пермский край (рисунок 1). Отходы производства используются на закладку выработанного пространства гидравлическим и сухим способами с целью поддержания водозащитной толщи для предотвращения затопления рудников и уменьшения деформаций земной поверхности. Добыча и обогащение калийных отходов солей невозможны без галитовых глинистых u ОАО «Уралкалий» ежегодно производит 17-19 млн. т. отходов. На долю Березниковско-Соликамского промышленного узла приходится более 60% от ежегодно образующихся отходов на территории края. Таким образом, породные отвалы вокруг г. Соликамска и г. Березники ежегодно пополняются на миллионы тонн калийных, магниевых, натриевых солей и приводят к сильнейшему засолению природных экосистем, земельных угодий (Косков, Сулима, 2000).

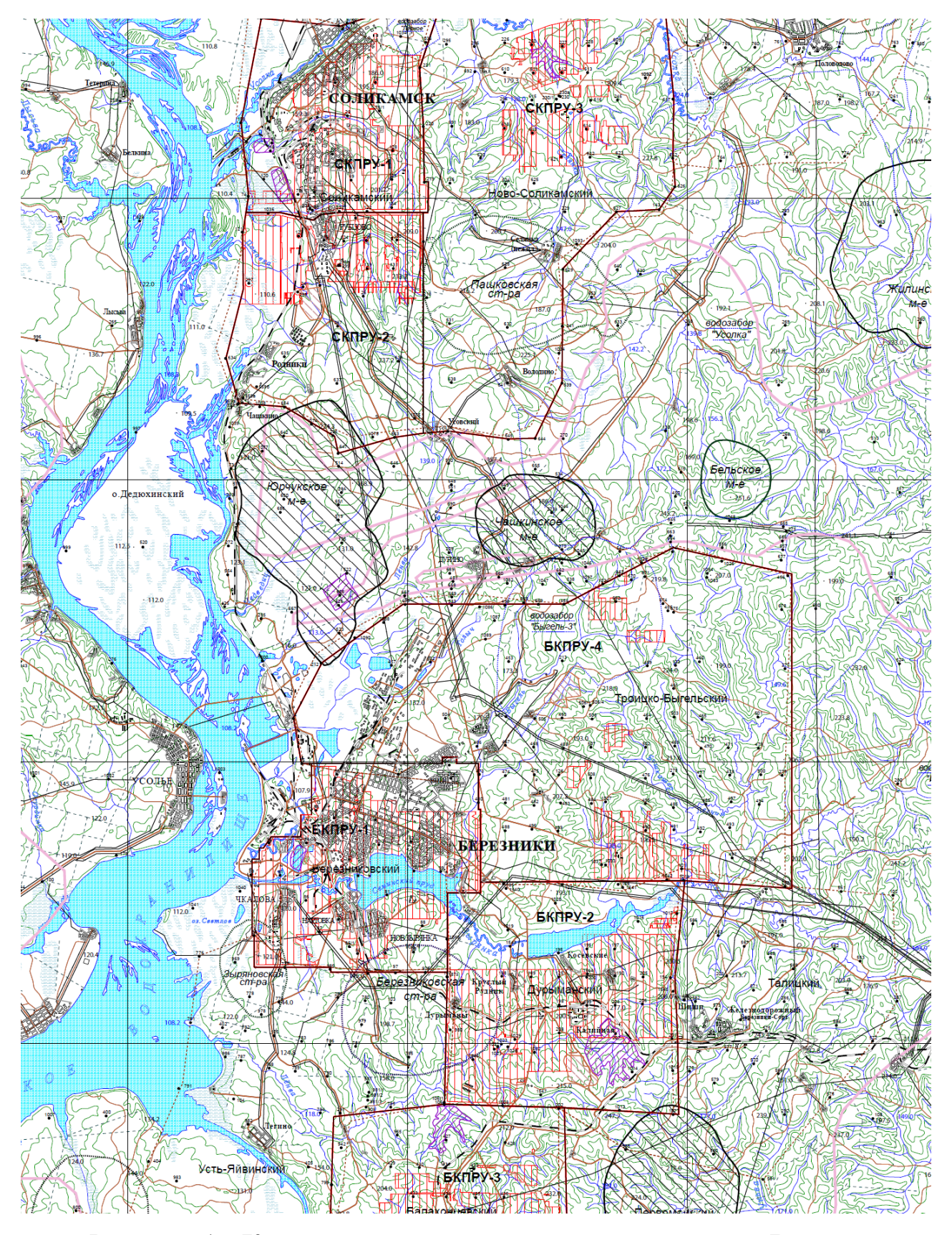


Рисунок 1. **Карта территориального расположения Верхнекамского месторождения солей и участков рудоуправлений соледобывающего предприятия ОАО «Уралкалий», гг. Березники и Соликамск, Пермский край** (http://berezniki-gaz.narod.ru/31102006/karta100\_green.pdf).

Образующиеся обогащения процессе глинисто-солевые шламы представляют собой сложные поликомпонентные техногенно-минеральные образования (ТМО), содержащие широкий спектр токсичных микрокомпонентов соединений. органических Складирование глинисто-солевых И шламов на поверхности приводит к тому, что под воздействием различных гипергенных факторов происходит существенная геохимическая трансформация данных ТМО, сопровождающаяся усилением интенсивности выноса поллютантов часто в окружающую среду (Бабошко, Бачурин, 2011). Помимо твердых галитовых отходов, складируемых на поверхности в виде солеотвалов, применяемые технологии обогащения калийных руд сопровождаются образованием глинистосолевых шламов и избыточных рассолов, для хранения которых требуется сооружение специальных гидротехнических сооружений – шламохранилищ. Для их размещения требуются значительные земельные ресурсы – суммарные площади солеотвалов И шламохранилищ составляют более 1000 Шламохранилища являются постоянным источником загрязнения гидросферы. Открытый сброс промстоков в поверхностную гидросеть и фильтрация рассолов в грунтовые воды приводят к формированию обширных ореолов засоления хозяйственно-бытового гидросферы, создающих угрозу источникам водоснабжения. Несмотря на проводимые мероприятия по гидроизоляции шламохранилищ, объемы фильтрационных утечек рассолов, даже достигают в отдельных случаях сотни по официальным данным, тысяч кубометров в год (Бабошко, Бачурин, 2004).

Воздействие грунтовых И атмосферных осадков приводит вод к образованию рассолосборников – озер с соленой водой, формирующихся в понижениях у подножья солеотвалов, в которых происходит осаждение солей (Шубин, 2005). Организация площадок для складирования солеотвалов приводит к перемешиванию и выравниванию грунтов, в результате чего уничтожаются природные почвы и формируются техногенные поверхностные образования (ТПО), выполняющие их функцию. Подобные ТПО, находящиеся на расстоянии 1-5 характеризуются ОТ солеотвалов, высокой степенью засоления.

ТПО. расположенные В радиусе нескольких десятков метров, имеют преимущественно слабую И среднюю засоленность хлоридом натрия (Еремченко, Лымарь, 2007). При формировании данных территорий большая часть природной растительности уничтожается, и на ее месте формируются сообщества синантропных видов растений. Растительные сообщества, произрастающие на расстоянии 1-5 м возле солеотвалов, характеризуются слабым проективным покрытием (10-30%) и низким видовым разнообразием (не более 10 видов). Характерными видами являлись бескильница расставленная (Puccinela distans (Jacq.) Parl.), латук татарский (Lactuca tatarica (L.) C.A. Mey.), (Lepidium latifolium L.), клоповник широколистный марь (Chenopodium glaucum L.), кроме того, встречались злаки (пырей ползучий (Agropyron repens L.), вейник наземный (Calamagrostis epigeois (L.) Roth) и маревые (лебеда раскидистая (Atriplex patula L.) и лебеда красивоплодная (A. calotheca (Rafn) Fr.), представители разнотравья (нивяник обыкновенный (Leucanthemum vulgare Lam.), полынь обыкновенная (Artemisia vulgaris L.), ястребинка зонтичная (Hieracium umbellatum L.) (Еремченко, Лымарь, 2007; Лымарь, Еремченко, 2005; Кусакина и др., 2013).

Засоление почвы и воды в результате деятельности калийных комбинатов Верхнекамского промышленного региона сопровождается загрязнением тяжелыми металлами и ксенобиотиками, поступающими в окружающую среду с отходами ряда промышленных предприятий. Так, в составе калийных отходов наряду с природными органическими соединениями зафиксировано присутствие технологических флотореагентов, а именно оксиэтилированных жирных кислот, алифатических аминов, диоксановых спиртов, сульфонатов. Водорастворимые комплексы ОТХОДОВ калийного производства обогащены битумозными углеводородными соединениями, В составе которых присутствуют сверхнормативные концентрации алифатических галогенсодержащих структур ряда С<sub>9</sub>-С<sub>18</sub>, фталевой кислоты и ее эфиров, на долю которых приходится 74-89% углеводородной фракции. Полиароматические углеводороды высокоминерализованных отходов соледобывающего предприятия в основном

представлены нафталинами, антраценами, фенантренами, бензфлуоренами, хризенами, периленами и др. (Бачурин, Одинцова, 2009).

Таким образом, на территории разработок ВКМКС образуются измененные условия обитания, не типичные для данных мест. В таких условиях селекция направлена на формирование уникальных микробных сообществ, в состав которых входят не только галофильные микроорганизмы, но и галотолерантные бактерии-деструкторы (Плотникова и др., 2001).

### 1.2 Экстремофильные микроорганизмы, способные существовать в условиях высокой минерализации среды

Микроорганизмы способны к активной жизнедеятельности в широком диапазоне концентраций солей. Они обнаружены в природных биотопах (океаны и моря, гиперсоленые озера, солончаковые почвы и т.д.), антропогенных экосистемах с повышенным уровнем минерализации, и представлены различными видами бактерий, архей, цианобактерий, зелеными водорослями или дрожжами (Benlloch *et al.*, 2002; Hedi *et al.*, 2009; Jiang *et al.*, 2006; Singh, 2012; Xiang *et al.*, 2008).

Для характеристики подобных микроорганизмов используют широко распространенную классификацию Кашнера по способности к росту в присутствии различных концентраций солей, согласно которой прокариот можно дифференцировать на негалофильные, а также слабо-, умеренно-и экстремально галофильные микроорганизмы (Кашнер, 1981).

Биохимическая основа галофильного образа жизни микроорганизмов — высокое содержание хлористого натрия в клетке, часто достигающее концентрации NaCl в среде культивирования. Очевидно, что некоторые ферменты крайне галофильных микроорганизмов в процессе эволюции адаптировались к высоким концентрациям хлорида натрия и успешно функционируют в этих условиях. Более того, подобные энзимы проявляют свою максимальную активность при концентрации NaCl 24%. Имеются данные о том, что ионы Na<sup>+</sup>

необходимы представителям галофильных микроорганизмов для поглощения из среды растворённых веществ (Ventosa, 1998).

Так как высокие концентрации солей приводят к потерям воды в процессе микроорганизмам ДЛЯ выживания в условиях солевого необходимо поддерживать внутри клеток высокое осмотическое давление. Известны два способа, посредством которых микроорганизмы противостоят воздействиям высоких концентраций солей. Первый включает создание «соли в цитоплазме», т.е. накопление неорганических ионов внутри клеток в концентрациях, сравнимых с внешними, а второй – активное удаление солей из цитоплазмы, когда тургорное давление создается за счет накопления высоких концентраций органических молекул – осмолитов (совместимые регуляторы) (Деткова, Болтянская, 2007; Морозкина и др., 2010).

Галофильные археи порядка Halobacteriales и анаэробные галофильные бактерии порядка Haloanaerobiales, накапливающие соль в цитоплазме, характеризуются высокими (молярными) концентрациями КС1 внутри клеток. В клетках Natroniella acetigena внутриклеточная концентрация ионов  $K^+$ составляет около 0,9 М, что на несколько порядков превышает его содержание в среде. Величина концентрационных градиентов веществ, проникающих через цитоплазматическую мембрану, а также ионный состав цитоплазмы клеток определяются механизмом действия различных ионных ПОМП ряда транспортных белков. У таких микроорганизмов клеточные компоненты и белки адаптированы к высоким концентрациям солей, а многие ферментные реакции устойчивы к NaCl и зависят от высоких концентраций ионов К<sup>+</sup> (Морозкина и др., 2010).

Большинство галотолерантных и галофильных микроорганизмов поддерживают осмотический баланс с помощью синтеза или транспорта из внешней среды высокомолекулярных спиртов (глицерин, арабит), сахаров и их производных (сахароза, трегалоза, гликозилглицерин), аминокислот и их производных, а также четырехзамещенных аминов (глицинбетаин, эктоин, гидроксиэктоин). Эти низкомолекулярные компоненты в высоких концентрациях

хорошо растворимы в воде и, в большинстве случаев, не заряжены или являются цвиттерионами при физиологических значениях рН. Количество синтезируемых молекул зависит от концентрации солей в окружающей среде. Как правило, стратегию микроорганизмы, реализующие «совместимые регуляторы», поддерживают низкие или умеренные внутриклеточные концентрации ионов Na<sup>+</sup>, К<sup>+</sup> и Сl<sup>-</sup>. У галофильных бактерий вывод ионов Na<sup>+</sup> из клеток осуществляется при помощи Na<sup>+</sup>/H<sup>+</sup>-антипортеров, использующих протонный электрохимический градиент в качестве движущей силы. Некоторые бактерии, накапливающие органические молекулы, могут содержать и молярные внутриклеточные концентрации  $Na^+$  и  $K^+$ , используя сочетание двух способов адаптации к высоким солей. При концентрациям невысоких концентрациях соли (не более 0,5 M) у галофильного штамма Halomonas elongata наблюдается накопление в цитоплазме ионов калия, тогда как при увеличении минерализации среды основным осмолитом становится эктоин. Внутриклеточные белки этого галофила содержат больше остатков кислых аминокислот, по сравнению с негалофильными штаммами, что также указывает на сочетание двух способов адаптации (Морозкина и др., 2010).

Таксономическое разнообразие галофильных/галотолерантных Микроорганизмы, способные существовать микроорганизмов. условиях повышенной минерализации среды можно обнаружить практически во всех таксономических группах. Так, в царстве Bacteria присутствуют галофильные микроорганизмы филумов «Cyanobacteria», «Proteobacteria», «Actinobacteria» и «Bacteroidetes». В царстве Archaea наиболее солеустойчивые микроорганизмы представлены классом Halobacteria. Семейство Halomonadaceae (класс Gammaproteobacteria) почти исключительно содержит галофильных представителей (Oren, 2008). Бактерии филумов «Firmicutes» и «Proteobacteria» преобладают среди культивируемых микроорганизмов самых разнообразных гиперсоленых местообитаний (Hedi et al., 2009; Xiang et al., 2008). В ряде других исследований сообщалось о выделении из засоленных экосистем бактерий

филума «Actinobacteria» (Jiang et al., 2006), «Bacteroidetes» (Benlloch et al., 2002; Oren, 2008) и «Proteobacteria» (Benlloch et al., 2002).

Исследователи из Китая в 2011 г. изолировали ряд галофильных и галотолерантных бактерий из почвенных образцов, отобранных вокруг природного соленого озера провинции Сычуань в Китае. Изученные штаммы представителями филума «Firmicutes» (родов Halalkalibacillus, оказались Virgibacillus, Marinococcus, Salimicrobium, Halobacillus и Alkalibacillus) и филума «Proteobacteria» класса Gammaproteobacteria (родов Halomonas, Idiomarina, Chromohalobacter и Halovibrio) (Tang et al., 2011). Ранее Xiang с коллегами сообщали о выделении из гиперсоленых водных образцов данного озера провинции Сычуань бактерий таксономических групп: филума «Proteobacteria» (род *Halomonas*) Gammaproteobacteria филума (родов Planococcus, Halobacillus, Oceanobacillus, Virgibacillus) (Xiang et al., 2008).

Бактерии сходных таксономических групп были выявлены и на других территориях с повышенным содержанием солей. Так, например, на засоленных почвенных участках, а также в прилегающих к ним высокоминерализованных водных эконишах Китая, Кореи, Монголии в большинстве случаев были обнаружены бактерии филума «Firmicutes» порядка Bacilliales семейства Bacillaceae Alkalibacillus, Halobacillus, Halovibrio. (родов Marinococcus. Salimicrobium). С территории засоленного озера Pulicat в Индии группой исследователей под руководством H. Sahay в 2011 г. были изолированы грамположительные бактерии филума «Firmicutes» семейства Bacillaceae родов Bacillus, Virgibacillus, Rummelibacillus, Salimicrobium, Alkalibacillus и Halobacillus. Кроме вышеперечисленных таксонов также были выделены грамотрицательные бактерии филума «Proteobacteria» класса Gammaproteobacteria, принадлежащие близкородственные видам H. salina. Н. роду Halomonas, shengliensis, H. salifodinae, H. pacifica, H. aquamarina и H. halophila (Sahay et al., 2011). Филогенетический анализ на основе последовательностей гена 16S рРНК, группой иранских исследователей, показал, проведенный ЧТО бактерии, изолированные из водных и почвенных образцов соленого озера Urmia в Иране,

принадлежали основным филумам: *«Proteobacteria»* К ДВУМ класс Gammaproteobacteria (92% от общего количества изолятов), в том числе бактерии родов Salicola (46%), Pseudomonas (13,5%), Marinobacter (11%), Idiomarina (11%) и Halomonas (8%), а также филума «Firmicutes» (8% от общего количества изолятов), в том числе бактерии родов *Bacillus* (5%) и *Halobacillus* (3%) (Zununi-Vahed et al., 2011). Кроме того, представители вышеперечисленных филумов были обнаружены в образцах солончаковых почв Национального заповедника дикой природы в Cherokee (Oklahoma, США), а именно – бактерии родов Halomonas. Idiomarina, грамотрицательные Salinivibrio (филум «Proteobacteria» класс Gammaproteobacteria) и грамположительные Salibacillus, *Oceanobacillus* бактерии Bacillus, Halobacillus родов И (филум «Firmicutes»). Помимо изолятов вышеперечисленных таксонов были обнаружены также представители филума «Bacteroidetes» (Caton et al., 2004).

по метагеномному анализу засоленных почв (на примере территорий провинции Тайвань. Китай) высокоминерализованных показывают наличие микроорганизмов наиболее характерных доминантных представители которых были идентифицированы Pseudomonas. Bacillus, Proteobacterium, Acidovorax, Chondromyces родов (Myxobacteriales), Propionibacterium, Stenotrophomonas, и Janthinobacterium. При этом бактерии рода *Pseudomonas* составляли 13% от всего микробного разнообразия (Lin et al., 2013).

В воздействию экосистемах, подверженных антропогенному (например, промышленных солеварнях), филогенетический состав не меняется. микроорганизмов принципиально Встречаются все те же спорообразующие бактерии филума *«Firmicutes»* (родов Halobacillus, Salimicrobium, Virgibacillus) филума «Proteobacteria» И класса Gammaproteobacteria, зачастую представленным галофильными бактериями семейства Halomonadaceae порядка Oceanospirillales (родов Halomonas Chromohalobacter) (Tang et al., 2011).

Среди актинобактерий антропогенных экосистем (филума «Actinobacteria» класса Actinobacteria порядка Actinomycetales) по данным филогенетического последовательностей 16S рДНК, P.A. анализа проведенного Jose и S.R.D. Jebakumar в 2012 году на примере промышленной солеварни в Индии, преимущественное положение занимают представители родов Streptomyces, Micromonospora, Nocardia, Nonomuraea, Saccharopolyspora и *Nocardiopsis*. Наиболее многочисленная группа актиномицетов была близкородственна бактериям родов **Streptomyces** И Micromonospora (Jose al., 2012). Преобладание данных родов актинобактерий наблюдалось ранее на засоленных почвах (Zvyagintsev et al., 2008).

Кроме бактериальной составляющей основным компонентом микробной биомассы таких сред как морские экосистемы, гиперсоленые озера и прилегающие к ним участки почвы, территории промышленной соледобычи и солеварен являются галофильные археи порядка *Halobacteriales* семейства *Halobacteriaceae* (Oren, 2002). Экстремофильные галофильные археи данного семейства, как правило, представлены родами *Haloarcula*, *Halobacterium*, *Haloferax*, *Halococcus* и *Halorubrum* (Borgne *et al.*, 2008).

На территории Российской Федерации значительный массив галофильных и галотолерантных бактерий, а также экстремофильных архей обнаруживают антропогенно-загрязненных районах промышленной добычи В солевых отложений, происхождение которых приурочено к Пермскому периоду. Одним из таких районов является Верхнекамское месторождение калийно-магниевых и натриевых солей, расположенное на территории Пермского края. Из образцов почв, грунтов и донных отложений (р. Зырянка), загрязненных отходами соледобывающего производства предприятия ОАО «Уралкалий» (г. Березники), бактериальные культуры родов Pseudomonas были выделены (филум «Proteobacteria» класс Gammaproteobacteria), Rhodococcus, Arthrobacter (филум «Actinobacteria» класс Actinobacteria порядок Actinomycetales) и Bacillus (филум «Firmicutes») (Плотникова и др., 2001). Изолированы галотолерантные актинобактерии родов Brevibacterium, Rhodococcus. Arthrobacter И

спорообразующие бактерии филума «Firmicutes» (родов Paenibacillus и Bacillus), которые были способны к деструкции стойких ароматических загрязнителей (Плотникова и др., 2006; Плотникова и др., 2011; Ястребова и др., 2008).

Кроме того, из почвы района солеразработок ВКМКС (г. Березники) были выделены грамотрицательные умеренно галофильные бактерии, описанные как представители нового рода *Salinicola* семейства *Halomonadaceae* (типовой штамм *Salinicola socius* SMB35<sup>T</sup>), растущие в широком диапазоне солености среды (5-300 г/л NaCl) (Ананьина, 2007).

Из флотационного обогашения калийных продуктов минералов техногенных вод шламохранилища ОАО «Уралкалий» (г. Соликамск) были грамотрицательные бактерии Arhodomonas изолированы рода (филум «Proteobacteria» класс Gammaproteobacteria) и грамположительные бактерии рода Exiguobacterium (филум «Firmicutes») (Реутских, Саралов, 2012; Саралов и др., 2012а). Также в работах А. И. Саралова с коллегами  $RS94^{T}$ «Halarchaeum сообшается 0 выделении архей solikamskense» chudinovii» RS75<sup>T</sup> вышеупомянутого И *«Haloferax* ИЗ местообитания (Саралов и др., 2012б; Saralov et al., 2013).

Среди галофильных и галотолерантных бактерий значительный интерес представляют грамотрицательные бактерии семейства *Halomonadaceae*, населяющие широкий спектр засолённых экосистем и способных расти в присутствии значительных концентраций солей. Представителей данной таксономической группы микроорганизмов обнаруживают практически во всех высокоминерализованных биотопах.

#### 1.2.1 **О**бщая характеристика бактерий семейства *Halomonadaceae*

Впервые семейство *Halomonadaceae* было описано в 1988 году Р.D. Franzmann при объединении умеренно галофильных и морских бактерий родов *Deleya* и *Halomonas* (Franzmann, 1988).

Семейство *Halomonadaceae* входит в класс *Gammaproteobacteria* и согласно базе данных «List of Prokaryotic names with Standing in Nomenclature»

(http://www.bacterio.cict.fr/h/halomonadaceae.html) включает роды *Aidingimonas*, *Carnimonas*, *Chromohalobacter*, *Cobetia*, *Halomonas*, *Halotalea*, *Kushneria*, *Modicisalibacter*, *Salinicola*, *Zymobacter*.

С момента создания семейства Halomonadaceae его систематика была под постоянным пересмотром. Из-за очевидного отсутствия основных отличительных фенотипических черт, многие из его современных видов ранее были отнесены к другим родам. Реорганизация среди этих видов началась 1990-x В середине годов помощью сравнения нуклеотидных последовательностей генов 16S рРНК.

В 2010 году R. de la Haba с соавторами провел филогенетическое изучение семейства *Halomonadaceae* на основе полных нуклеотидных последовательностей генов 16S рРНК и 23S рРНК (de la Haba, 2010). Было показано, что в пределах данного семейства наблюдается высокая гетерогенность. Уровень генетического сходства между представителями сем. *Halomonadaceae* составляет 92,6-100% (рисунок 2).

Бактерии сем. *Halomonadaceae* обнаружены в микробоценозах засолённых экосистем, характеризующихся разными физико-химическими свойствами (аэрация, солёность, рН и температура). К таким экосистемам относятся океаны и моря, засолённые почвы, образовавшиеся естественным образом солёные озёра, солончаковые котловины и т.д. Ряд бактерий данного семейства выделен из продуктов питания, пальмового сока, муниципальных сточных вод, биоплёнок фресок (de la Haba, 2010). В настоящее время нет сведений о патогенности бактерий сем. *Halomonadaceae*.

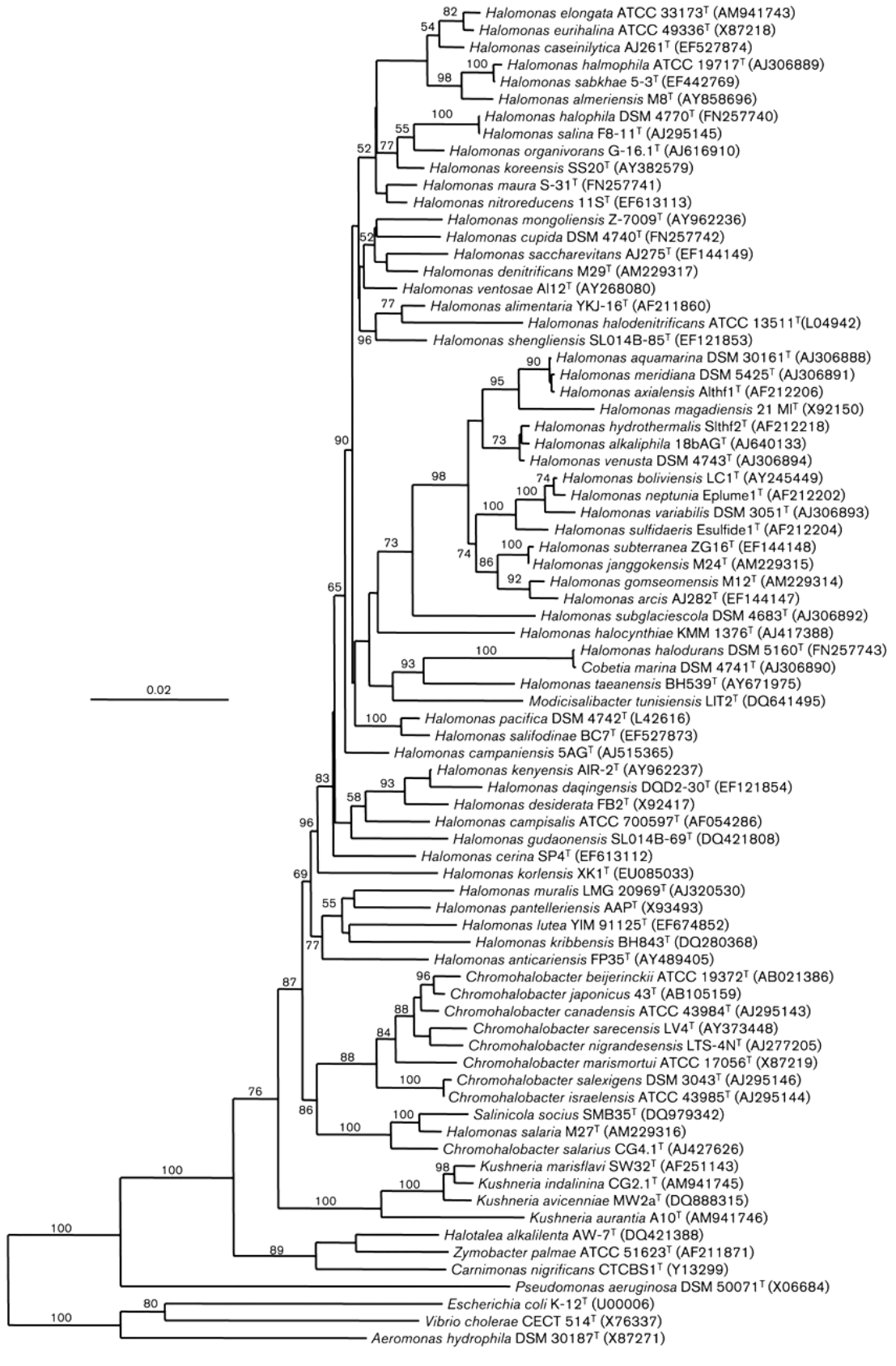


Рисунок 2. Филогенетическое дерево, построенное с использованием метода neighbor-joining, основанное на сравнении последовательности гена 16S рРНК, показывающее филогенетические отношения между представителями семейства *Halomonadaceae*. В скобках указаны номера в GenBank. Показаны значения «bootstrap»-анализа выше 50% (de la Haba *et al.*, 2010a).

Из литературных данных известно, что галомонады выделены из различных эколого-географических зон, таких как континентальные шельфовые осадки, связанные с Антарктикой, глубоководное морское дно Тихого океана, Великие Солёные озёра штата Оклахомы, озеро Тескоко (Мексика), Гавайский архипелаг, тропические экосистемы, арктические моря. Галотолерантные микроорганизмы в гидротермальных и пелагических водах Северного и Южного полушарий Тихого океана составляют более 28% от общего микробного сообщества, среди которых наиболее часто встречаются бактерии рода *Halomonas* (Kaye, Baross, 2000).

Использование бактерий сем. Halomonadaceae в биотехнологических целях. Синтез осмопротекторных веществ внутри клеток - одно из перспективных биотехнологических направлений использования представителей соединения сем. Halomonadaceae. Подобные накапливаются клетками для их стабилизации и защитного эффекта ферментов, нуклеиновых кислот, клеточных структур или целых клеток, на которые действуют активность воды, температурный стресс и другие неблагоприятные условия (Garrity et al., 2005; Knapp et al., 1999; Mellado et al., 2003).

В настоящее время осмопротекторы — эктоин и гидроксиэктоин нашли широкое применение в косметической промышленности. Обнаружено, что эктоин защищает кожу человека от вредного ультрафиолетового излучения, а также способствует защите ее микрофлоры от неблагоприятных факторов окружающей среды. Введение эктоина и его производных в состав косметических препаратов увеличивают их увлажняющую активность.

Штаммы некоторых видов рода *Halomonas* являются продуцентами экзополисахаридов, которые имеют различные функциональные свойства и, следовательно, различное использование, включающее иммуномодуляцию, биодетоксикацию тяжёлых металлов загрязнённых экосистем, эмульгирование сырой нефти, повышение вязкости в пищевых продуктах (Quesada, 2004).

Галомонады, также как и другие умеренно галофильные бактерии, могут использоваться для деградации токсичных соединений при высоких и средних

концентрациях солей, что даёт возможность ремедиации загрязнённых солёных экосистем (Mellado, Ventosa, 2003).

В 2013 году группа исследователей из Университета Гранады в Испании с помощью молекулярно-генетических методов обнаружила, что бактерии сем. Halomonadaceae продуцентами *N*-ацил-гомосеринлактона являются (N-acyl homoserine lacton - AHL), который отвечает за клеточное взаимодействие или «чувство кворума» - quorum-sensing (QS) клеток и взаимодействует с регуляторными белками, составляющими кластер LuxI-подобных белков. Было показано, что 29 из 43 исследованных видов сем. *Halomonadaceae* содержат гомологи LuxI-подобного белка, а значит, что QS-системы в филогенетической группе бактерий имеют повсеместное распространение. филогенетический Проведенный анализ, основанный на определении аминокислотных последовательностей LuxI-подобного белка, показал, что подобные молекулярные структуры видов бактерий сем. Halomonadaceae сгруппированы вместе и отличаются от последовательностей других таксонов класса Gammaproteobacteria, а также и от видов, принадлежащих к классам Alphaproteobacteria и Betaproteobacteria, и могут быть использованы в качестве нового филогенетического маркера бактерий сем. Halomonadaceae ДЛЯ (Tahrioui et al., 2013).

## 1.2.2 Галофильные и галотолерантные бактерии из ризосферы растений

Жизненный цикл растений осуществляется в тесном контакте с микроорганизмами, которые либо угнетают развитие растения-хозяина, либо стимулируют его. Самые распространенные примеры таких взаимодействий приведены в таблице 1 (Проворов, 2009).

Микрофлора ризосферной почвы растений выполняет важные экологические функции деструктора органических соединений и является естественным барьером для патогенных микроорганизмов.

#### Наиболее изученные растительно-микробные симбиозы

| Микросим-<br>бионты<br>растений | Тип симбиоза                              | Формы симбиоза                                | Микросимбионты                                                                                                                      | Растения-хозяева                                                                                                                                                                                                                                | Механизмы взаимодействия                                                                                                                                                                                                                                                                                                                                       |
|---------------------------------|-------------------------------------------|-----------------------------------------------|-------------------------------------------------------------------------------------------------------------------------------------|-------------------------------------------------------------------------------------------------------------------------------------------------------------------------------------------------------------------------------------------------|----------------------------------------------------------------------------------------------------------------------------------------------------------------------------------------------------------------------------------------------------------------------------------------------------------------------------------------------------------------|
| Бактерии                        | Трофический<br>(фиксация N <sub>2</sub> ) | Корневые (ино-<br>гда стеблевые)<br>клубеньки | Ризобии (роды Rhizobium,<br>Sinorhizobium, Mesorhizo-<br>bium, Azorhizobium,<br>Bradyrhizobium) или акти-<br>номицеты (род Frankia) | Двудольные, относящиеся к 10 семействам клады Rosid I: около 90% видов Fabaceae и Рагаропіа из Ulmaceae (хозясва ризобий); Веtulaceae, Casuarinaceae, Myricaceae, Elaeagnaceae, Rhamnaceae, Rosaceae (сотагасеае, Datiscaceae (хозяева Frankia) | Инфицирование растений через корневые волоски или разрывы ризодермы; развитие клубеньков из примордиев, образуемых <i>de novo</i> в перицикле (актиномицеты) или кортексе (ризобии); инфицирование растительных клеток и дифференцировка бактерий в клеточные формы, осуществляющие фиксацию N <sub>2</sub> (бактероиды у ризобий, везикулы у <i>Frankia</i> ) |
|                                 |                                           | Другие внутри-<br>клеточные<br>симбиозы       | Цианобактерии Nostoc                                                                                                                | Цветковое <i>Gunnera</i>                                                                                                                                                                                                                        | Инфицирование желёзок, находящихся у основания черешков; проникновение бактерий в растительные клетки*                                                                                                                                                                                                                                                         |
|                                 |                                           | Эндофитные системы                            | Грамотрицательные бактерии родов Acetobacter,<br>Azoarcus, Herbaspirillum                                                           | Различные растения, глав-<br>ным образом злаки                                                                                                                                                                                                  | Колонизация межклеточных пространств или сосудистых пучков; N <sub>2</sub> -фиксация, иногда осуществляется не способными к размножению клеточными формами (Azoarcus)                                                                                                                                                                                          |
|                                 |                                           |                                               | Цианобактерии <i>Nostoc</i>                                                                                                         | Голосемянные порядка<br>Cycadales (саговники)                                                                                                                                                                                                   | Колонизация межклеточных пространств коралловидных корней*                                                                                                                                                                                                                                                                                                     |
|                                 |                                           | Внутриполост-<br>ные симбиозы                 | Цианобактерии <i>Nostoc</i><br>(Anabaena)                                                                                           | Водный папоротник Azolla                                                                                                                                                                                                                        | Инфицирование полостей в водных листьях бактериями, которые передаются в ряду поколений растений (через метаспоры)*                                                                                                                                                                                                                                            |
|                                 |                                           | Ризосферные<br>ассоциации                     | Грамотрицательные бактерии родов Azospirillum, Flavobacterium, Enterobacter                                                         | Разпичные растения                                                                                                                                                                                                                              | Колонизация ризосферы и ризопланы, активируемая корневыми эксудатами (иногда проникновение в наружные ткани кория); N <sub>2</sub> -фиксация может сопровождаться синтезом бактериями фитогормонов                                                                                                                                                             |
|                                 | Защитный                                  | Эндофитные системы                            | Грамположительные кори-<br>неформные бактерии Сlavi-<br>bacter toxicus                                                              | Различные растения                                                                                                                                                                                                                              | Колонизация межклеточных пространств или сосудистых пучков (инфицирование посредством нематод рода Anguina), синтез токсинов (при инфицировании бактерий лизогенными фагами)                                                                                                                                                                                   |
|                                 |                                           | Ризосферные<br>ассоциации                     | Различные бактерии (например, Pseudomonas fluorescens, P. chlororaphis, P. putida, Serratia marcescens, Bacillus subtilis)          | Различные растения                                                                                                                                                                                                                              | Колонизация ризосферы и ризопланы, активируемая корневыми эксудатами, синтез антибиотиков (феназинов), цианидов или литоческих ферментов (хитиназы), разрушающих клеточные стенки патогенов                                                                                                                                                                    |

В почве под влиянием корневых выделений растений и экзометаболитов ризосферных микроорганизмов формируется сложный комплекс биологически активных веществ. Формируется так называемый ризосферный эффект, при котором концентрация бактерий, обнаруженных в прикорневой зоне, значительно превышает их концентрацию в почве (Демченко, 2008).

Известно, что в ризосфере растений гумидного климата доминируют бактерии рода *Pseudomonas* (класс *Gammaproteobacteria*), кроме того, для ризосферной зоны типичны бактерии родов *Agrobacterium* (класс *Alphaproteobacteria*), *Xanthomonas*, *Rhizobium* (класс *Gammaproteobacteria*) и *Flavobacterium* (класс *Flavobacteriia*) (Звягинцев и др., 1993; Schloter *et al.*, 1997; Yanni *et al.*, 1997). Вышеперечисленные бактерии имеют симбиотические взаимоотношения с растениями (таблица 1).

Засоление почв и засуха являются одними из широко распространенных экологических стрессов, которые наиболее сильно влияют на рост растений. рода *Halomonas*, выделенные ИЗ ризосферы растений виды засушливых и засоленных местообитаний, способны к продукции ауксина азотфиксации, солюбилизации фосфатов сидерофоров, тонкивкодп дезаминазную активность. Под влиянием этих биохимических процессов снижается продукция этилена растениями и повышается их устойчивость к осмотическому стрессу (Argandonña et al., 2005; Llamas et al., 2006). В исследовании F. Mapelli с соавторами подробно изучена растительная ризосфера солероса, произрастающего в гиперсоленых экосистемах Туниса. С применением метода денатурирующего градиентного гель-электрофореза ученым удалось обнаружить высокое бактериальное разнообразие, связанное с корневой системой солероса. Из исследуемой ризосферы были выделены большая коллекция ИЗ 475 галофильных микроорганизмы И создана и галотолерантных бактерий. Двадцать изолированных штаммов рода *Halomonas* показали устойчивость к широкому набору абиотических стрессов и способность успешной колонизации корней солероса лабораторных условиях (Mapelli *et al.*, 2013).

Некоторые представители рода *Halomonas* могут выступать в качестве ростостимулирующих ризобактерий. Так, S. Tiwari с соавторами в своих исследованиях при оценке микробно-растительного взаимодействия наблюдали улучшение активности роста растений пшеницы мягкой (*Triticum aestivum*) после их инокуляции штаммом *Halomonas* sp. SL9 (GenBank FJ984532), изолированным из соленого озера Sambhar в Индии (Tiwari *et al.*, 2011).

Взаимоотношения растений и бактерий рода *Kushneria* изучены гораздо меньше, чем рода *Halomonas*. Однако, для штамма *Kushneria* sp. YCWA18 (GenBank GQ246216) показана способность к солюбилизации фосфатов, что увеличивает биодоступность фосфора в почве для растений (Zhu *et al.*, 2011).

#### 1.3 Биодеградация моно(поли)ароматических углеводородов

Биоразрушение (биодеградация) — это преобразование сложных веществ с помощью биологической активности. Это широкое понятие включает три более узких процесса:

- 1) трансформацию или незначительные изменения молекулы;
- 2) фрагментацию или разложение сложной молекулы на более простые соединения;
- 3) минерализацию или превращение сложного вещества в самые простые  $(H_2O, CO_2, H_2, NH_3, CH_4 \, \text{и т.д.}).$

Соединения, содержащие бензольное кольцо, наиболее ОДНИ ИЗ распространенных в природе. Термодинамическая стабильность бензольного кольца обуславливает устойчивость к химическому разложению соединений ароматического окружающей среде и их большую ряда В опасность для биосферы. Благодаря наличию широкого спектра катаболических путей биодеградации, микроорганизмы могут использовать различные органические соединения в качестве единственного источника углерода и энергии, в том числе и ароматического ряда (Hardwood, Parales, 1996).

Среди органических поллютантов особого внимания заслуживает группа суперэкотоксикантов (стойких органических загрязнителей / СОЗ), к содержанию

которых в окружающий среде в настоящее время предъявляются наиболее жесткие экологические требования (http://www.atsdr.cdc.gov/toxprofiles/tp17.html). соединений имеет Большинство ИЗ ЭТИХ искусственное и техногенное происхождение. В данную группу включают полициклические ароматические соединения, галогенуглеводороды и фталаты, которые присутствуют в высоких концентрациях в отходах соледобывающего производства (Бачурин, Одинцова, 2009). Опасность фалатов связана с их высокой летучестью и растворимостью в воде, что определяет значительные масштабы их эмиссии в окружающую среду. Фталаты и их метаболиты попадают в организм человека с пищей, через кожу и при вдыхании. Даже небольшие дозы фталатов могут приводить к изменению гормонального фона, нарушению работы печени и почек (Liang et al., 2008)

Полициклические ароматические углеводороды (ПАУ), в число которых входят нафталин, фенантрен, антрацен и др., также являются повсеместными загрязнителями окружающей среды. Подобные соединения содержатся в нефти, продуктах ее переработки, отходах коксохимического производства и образуются при неполном сгорании различных видов топлива. Многие ПАУ являются устойчивыми токсичными веществами, при разложении которых возможно накопление опасных метаболитов. Низкая растворимость данных соединений в воде способствует их накоплению в самых разнообразных эконишах, прежде всего в почве и водных системах. Разложение ПАУ микроорганизмами осложняется низкой биодоступностью данных соединений вследствие плохой водной растворимости, которая уменьшается с увеличением числа ароматических колец, входящих в их состав (Holman *et al.*, 1999).

#### 1.3.1 Разложение нафталина бактериями

<u>Бактерии-деструкторы нафталина.</u> Для исследования способности бактерий деградировать ПАУ в качестве модельного соединения часто используется нафталин. В настоящее время существует большой объем литературных данных о способности бактерий, принадлежащих к различным таксономическим группам, использовать нафталин в качестве единственного источника углерода и энергии.

Полная утилизация данного субстрата до метаболитов основного обмена веществ или частичная трансформация описана для бактерий родов: Pseudomonas, Ralstonia, Comamonas, Polaromonas, Burkholderia, Mycobacterium, Marinobacter, Alcaligenes, Sphingomonas, Nocardia, Bacillus, Rhodococcus, Arthrobacter, Cycloclasticus, Neptunomonas, Lutibacterium, Streptomyces, Paenibacillus, Vibrio и Micrococcus (Garsia-Valdez et al., 1988; Grund et al., 1992; Seo, 2009; Zhou, 2013).

Благодаря проведенным многочисленным исследованиям стало известно, штаммы-деструкторы ПАУ (нафталина) широко распространены что в окружающей среде. Такие микроорганизмы изолированы из почв, морской воды, сточных вод и осадков в различных географических зонах. В последнее время довольно часто встречаются работы, в которых исследуется способность обитающих микроорганизмов, В экстремальных условиях, использовать в качестве субстрата нафталин и другие ПАУ.

W.O. Так, например, Zhuang коллегами изолировали cнефтезагрязненных отложений морских два аборигенных нафталинутилизирующих штамма Staphylococcus sp. MN-005 и Micrococcus sp. MN-006, обладающих высокой скоростью роста на ароматических субстратах при повышенной минерализации среды (Zhuang et al., 2003). Из антарктических почв, загрязненных нефтью, были выделены штаммы, утилизирующие нафталин при 8°C (Aislabie et al., 2000). В то же время изолированы аэробные термофильные бактерии Bacillus thermoleovorans и B. oleovorans, использующие нафталин в качестве единственного источника углерода и энергии при 60°C (Annweiler et al., 2000). R.D. Stapleton с соавторами сообщили о биодеградации нафталина в экстремально кислых условиях (Stapleton et al., 1998).

Кроме того, существует ряд публикаций о микроорганизмах, способных к разложению нафталина в условиях повышенной минерализации среды (Dyksterhouse *et al.*, 1995; Hedlund *et al.*, 1999; Chung, King, 2001; Kasai *et al.*, 2002). Из образцов почв, отобранных в районе солеразработок ВКМКС, были выделены бактерии-деструкторы нафталина родов *Arthrobacter*, *Brevibacterium* и *Rhodococcus* (класс *Actinobacteria*), способные к деструкции

нафталина и фенантрена в условиях повышенной концентрации хлорида натрия в среде культивирования (Плотникова и др., 2006; Плотникова и др. 2011; Anan'ina *et al.*, 2011). Описана ассоциация микроорганизмов SMB3, утилизирующая нафталин, в состав которой кроме бактерий-деструкторов рода *Rhodococcus* входили умеренно галофильные бактерии рода *Salinicola* семейства *Halomonadaceae* и галотолерантные бактерии рода *Thalassospira* класса *Alphaproteobacteria* (Ананьина и др., 2007; Plotnikova *et al.*, 2011.).

Пути метаболизма деструкции нафталина у большенства бактерий включают три основных соединения: нафталин, как первое соединение различных метаболических путей, салициловая кислота и пирокатехин как «точки» дивергенции катаболических реакций. В связи с этим начальные ферменты катаболизма данных соединений — нафталин диоксигеназа, салицилат гидроксилаза, пирокатехин 1,2-диоксигеназа и пирокатехин 2,3-диоксигеназа названы ключевыми ферментами катаболизма нафталина (Старовойтов, 1985; Yumoto et al., 2003).

Подготовительный метаболизм биодеградации нафталина проходит у разных микроорганизмов по общему, «верхнему пути», в процессе которого нафталин через три этапа расщепляется до салициловой кислоты (рисунок 3). Один из наиболее распространенных путей подготовительного метаболизма салициловой кислоты, так называемый «нижний» путь утилизации нафталина, при котором салицилат 1-гидроксилаза катализирует декарбоксилирование и гидроксилирование салицилата в рисутствии НАДФ, что приводит к образованию пирокатехина.

Дальнейшее окисление пирокатехина может проходить различными путями (рисунок 3). Наличие в штамме пирокатехин 2,3-диоксигеназной активности приводит к расщеплению пирокатехина по *мета*-пути через образование 2-гидроксимуконового полуальдегида до пирувата и ацетальдегида (Dagley, Gibson, 1965).

Рисунок 3. Метаболический путь деградации нафталина (Seo et al., 2009).

В *орто*-пути пирокатехин 1,2-диоксигеназа катализирует образование *цис,цис*-муконата из пирокатехина, который затем превращается лактонизирующим ферментом в муконолактон, метаболизирующийся в сукцинил КоА и ацетил КоА другими ферментами *орто*-пути (рисунок 3). Ферменты *орто*-пути могут индуцироваться *цис,цис*-муконатом или одним из его метаболитов (Dagley, Gibson, 1965; Ornston, 1966).

Наиболее детально изучены метаболические пути и генетические системы деградации нафталина у грамотрицательных бактерий рода *Pseudomonas* и близкородственных микроорганизмов (Балашова и др., 1997; Seo *et al.*, 2009). Известно, что гены, кодирующие ферменты деструкции нафталина, могут иметь хромосомальную или плазмидную локализацию (Боронин и др., 1989; Измалкова и др., 2005; Кошелева и др., 2003; Кулакова и др., 1989; Воsch *et al.*, 1999). Гены, ответственные за разложение нафталина (*nah*-гены), штамма *Pseudomonas putida* G7, кодирующие ферменты окисления нафталина и салицилата, объединены в два оперона и расположены на 37,5 т.п.н. регионе NAH7 плазмиды (Цой и др., 1997).

Для некоторых грамположительных и грамотрицательных бактерий описан другой «нижний» путь разложения салицилата – через образование гентизиновой кислоты (рисунок 3). Так, у штамма Ralstonia sp. U2 подробно исследован генетический контроль разложения нафталина через гентизат. U2. nag-Оперон содержит гены деградации нафталина, соответствующие генам "верхнего" пути окисления данного соединения штамма P. putida G7, в том же порядке (nagAaGHAbAcAdBFCQEDJIKLMN), за исключением двух дополнительных открытых рамок считывания между генами nagAa и nagAb, обозначенных nagG, ответственных за синтез структурных субъединиц 5-гидроксилазы. Гены nagl, nagK, и nagL кодируют ферменты катаболизма гентизата в фумарат и пируват: гентизат 1,2-диоксигеназу, фумарилпируват гидроксилазу, малеилпируват изомеразу, соответственно (Fuenmayor et al., 1998; Zhou et al., 2001; Jones et al., 2003).

Данных о метаболических путях и об организации генов, кодирующих нафталина, грамположительных ферменты разложения микроорганизмов довольно мало. Для ряда штаммов рода Rhodococcus описаны пути деградации нафталина через гентизат (Kulakov et al., 2005). Исследования штаммов Rhodococcus sp. NCIMB12038, P200 и P400 показали, что генетические системы деструкции нафталина существенно отличаются от таковых описанных ранее для грамотрицательных бактерий. Гены, кодирующие ферменты деструкции нафталина, не организованы В единый оперон. Обнаружено несколько транскрипционных единиц, которые отличаются у исследуемых штаммов. Оперон штамма Rhodococcus sp. NCIMB12038 содержит только гены narAaAbB, кодирующие α- и β-субъединицы нафталин диоксигеназы и нафталин цисдигидродиол дегидрогеназу, соответственно. Во всех проанализированных штаммах были обнаружены гены narR1 и narR2, расположенные перед геном narAa на расстоянии 1868 нуклеотидов. Показано, что nar-регион имеет плазмидную локализацию в штаммах Rhodococcus sp. NCIMB12038 и P400, в случае штамма *Rhodococcus* sp. P200 гены *narAaAbB* расположены в хромосоме. У штаммов Rhodococcus sp. NCIMB12038, P200 и P400 гены narAaAbB, кодирующие каталитические компоненты нафталин диоксигеназы и нафталин иис-дигидродиол дегидрогеназы, индуцировались нафталином (Kulakov et al., 2000, 2005; Andreoni et al., 2000).

Как было показано Zhou с коллегами (Zhou et al., 2001), nar-подобные гены широко распростаранены в деградирующих ПАУ бактериях и обнаружены образцах почв, загрязненных (поли)ароматическими соединениями. В β-субъединицы *nar*-Гены, кодирующие α-И терминальной оксигеназы из нафталин 1,2-диоксигеназы, были успешно амплифицированы у нафталиндеградирующих штаммов *Rhodococcus* spp. B13, B2-1, DB11 и SMB38, которые были выделены из района солеразработок ВКМКС. Показана высокая гомология (98,5-100%) исследованных nar-генов c таковыми известных штаммовдеструкторов нафталина рода *Rhodococcus* (Anan'ina et al., 2011).

#### 1.3.2 Разложение орто-фталевой кислоты бактериями

Фталаты представляют собой производные фталевой кислоты, которая существует в виде трех изомерных форм: *орто*-изомер (фталевая кислота), *мета*-изомер (изофталевая кислота) и *пара*-изомер (терефталевая кислота), структурно различающиеся радикалами R, R' сложноэфирной группы.

Данные соединения отнесены к группе суперэкотоксикантов (стойким органическим загрязнителям, СОЗ), к которым в настоящее время предъявляются наиболее жесткие экологические требования (Стокгольмская конвенция, http://www.atsdr.cdc.gov/toxprofiles/tp17.html). Фталаты широко используются в качестве пластификаторов, при синтезе полиэфирных волокон и полиэтилена. Кроме фталаты обнаружены τογο, И В отходах горнодобывающей промышленности, а именно в глинисто-солевых шламах, избыточных рассолах отходов калийного производства (разработки Верхнекамского месторождения солей, Пермский край) (Бачурин, Одинцова, 2009). Выявлены гепатотоксичные, тератогенные и канцерогенные свойства этих соединений (Liang et al., 2008).

Бактерии-деструкторы фталатов И орто-фталевой кислоты. Многочисленные исследования показали, что микроорганизмы играют важную роль в биодеградации фталевых соединений. Большинство бактерий, способных осуществлять разложение фталатов, относятся к аэробам или факультативным анаэробам. Данные микроорганизмы являются в основном представителями филумов «Proteobacteria», царства Bacteria, именно «Actinobacteria», «Firmicutes» и «Bacteroidetes». Среди них наиболее часто встречаются представители родов Sphingomonas, Comamonas, Pseudomonas, Arthrobacter, Rhodococcus, Gordonia, Bacillus, Delftia, Acinetobacter (Liang et al., 2008).

<u>Пути метаболизма деструкции фталатов и орто-фталевой кислоты</u> у бактерий. На рисунке 4 представлен метаболический путь разложения эфиров фталевой кислоты, сочетающий два процесса: первичная биодеградация диэфиров фталата до моноэфиров и последующая их деструкция до *орто*-фталевой кислоты (*орто*-ФК), которая является центральным интермедиатом пути деструкции большинства фталевых эфиров.

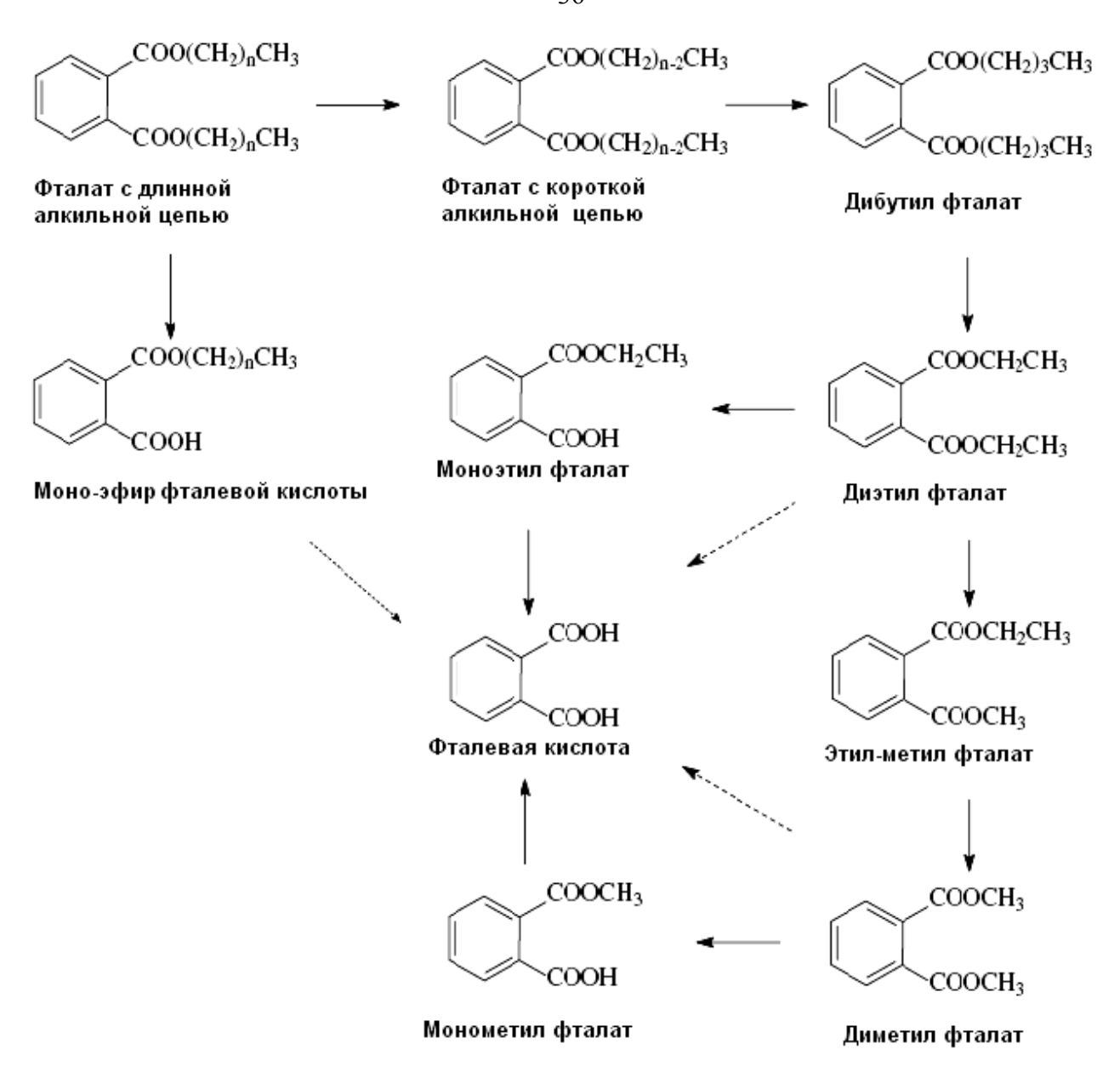


Рисунок 4. **Метаболические пути бактериальной деструкции фталатов** (Liang *et al.*, 2008).

Разложение *орто*-ФК аэробными бактериями происходит двумя путями, катализируемыми диоксигеназами, с образованием общего интермедиата — протокатеховой кислоты (ПКК) (рисунок 5). Для большинства грамотрицательных бактерий описано разложение *орто*-ФК через образование *цис*-4,5-дигидро-4,5-дигидроксифталата (катализируется диоксигеназой), который окисляется НАД-зависимой дегидрогеназой до 4,5-дигидроксифталата, и далее, в процессе декарбоксилирования 4,5-дигидроксифталата, образуется протокатехат (Liang *et al.*, 2008).

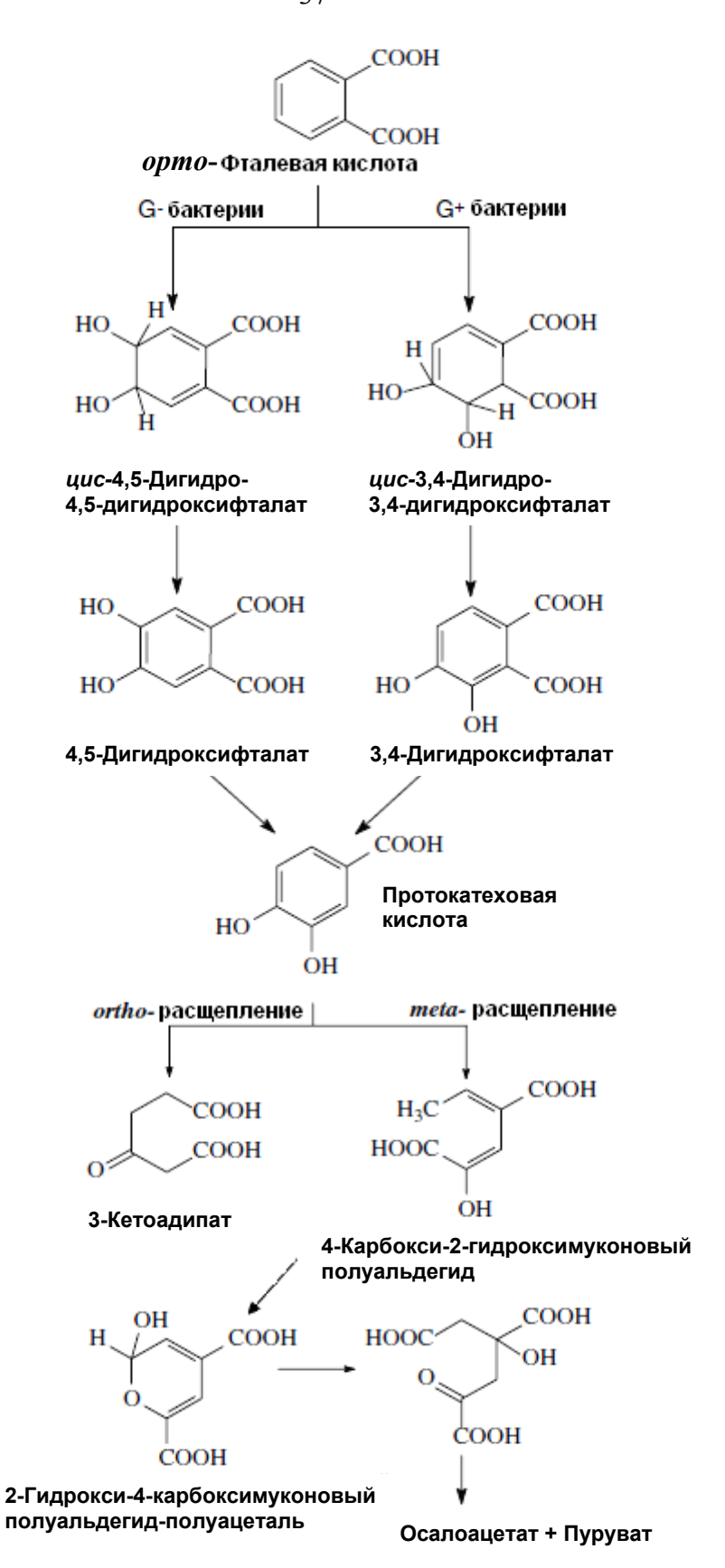


Рисунок 5. **Пути бактериальной деструкции** *орто*-фталевой кислоты в аэробных условиях (Liang *et al.*, 2008).

S. Мигаd с коллегами подробно изучили деструкцию *орто*-ФК почвенными микроорганизмами, принадлежащими роду *Pseudomonas*, под влиянием различных факторов (концентрация *орто*-фталата в среде культивирования, рН, температура, присутствие глюкозы). Было показано, что максимальный процент деградации *орто*-ФК наблюдался при 37°C, рН 8,0 и присутствии глюкозы в среде. Штамм *Pseudomonas* sp. Р1 способен к росту на *орто*-ФК в диапазоне концентраций от 0,05 г/л до 2,8 г/л без глюкозы в среде культивирования и от 0,05 г/л до 2,9 г/л с добавлением глюкозы (Murad *et al.*, 2007).

Pseudomonas aeruginosa PP4. **Pseudomonas** PPD Бактерии SD. и Acinetobacter lwoffii ISP4, выделенные из почвы методом накопительного культивирования, способны использовать изомеры фталевой кислоты (орто-, мета- и пара-фталевая кислоты) в качестве единственного источника углерода. На основе исследований метаболических путей деструкции фталевых кислот авторами было показано, что начальный этап разложения этих соединений диоксигеназой (кодируется инициируется специфичной гидроксилирующей геном pchA). Штамм Pseudomonas sp. PPD гидроксилирует орто-ФК до 4,5-дигидроксифталата. У исследуемых грамотрицательных бактерий гены, детерминирующие разложение орто-ФК, имеют плазмидную и хромосомную локализацию (Vamsee-Krishna et al., 2006)

На рисунке 5 представлен метаболический путь разложения орто-фталевой кислоты, описанный грамположительных бактерий, где орто-ФК для протокатеховой *иис*-3,4-дигидро-3,4преобразуется кислоты через до дигидроксифталат и 3,4-дигидроксифталат. Далее ПКК метаболизируется через бензольного кольца по орто- или мета-пути. расщепление ферментами По мета-пути ПКК катализируется протокатехоат диоксигеназой 4-карбокси-2-гидроксимуконового полуальдегида, ДО затем преобразуется 2-гидрокси-4-карбоксимуконового ДО полуальдегид-полуацеталя, далее до 4-оксалоцитрамалата и в конечном результате - до пирувата и оксалоацетата. По орто-пути, также известному как кетоадипатный путь, ПКК разлагается до 3-кетоадипата (Liang et al., 2008).

Метаболический путь деструкции орто-ФК у грамположительных бактерий был подробно описан на примере штамма Rhodococcus sp. DK17, способного к разложению орто- и пара-изомера фталевой кислоты. Разложение орто-ФК **DK17** штаммом на начальном этапе окисления катализируется фталат 3,4-диоксигеназой, кодируемой генами *ophA1A2A3A4*, до формирования 3,4-дигидро-3,4-дигидроксифталата. Данный метаболит действием ПОД иис-3,4-дигидрокси-3,4-дигидрофталат дегидрогеназы и 3,4-дигидроксифталат 2-декарбоксилазы трансформируется до протокатеховой кислоты, в дальнейшем разлагается протокатехоат 3,4-диоксигеназой (Choi et al., 2005) (рисунок 6).

Рисунок 6. **Метаболические путь бактериальной деструкции** *орто*фталевой кислоты штаммом *Rhodococcus* sp. DK17 (Choi *et al.*, 2005).

В результате изучения возможных путей деструкции *орто*-ФК штаммом *Rhodococcus* sp. DK17 было показано, что гены, кодирующие трансформацию *орто*-ФК в ПКК, организованы в виде двух отдельных оперонов, расположенных на расстоянии 6,7 т.п.н. друг от друга, и имеют плазмидную локализацию. Предполагаемый фталатный оперон содержит гены *ophA1-ophA2-orf0-ophB-ophA3-ophA4-ophC*, кодирующие компоненты большой и малой субъединиц терминальной оксигеназны, ферредоксина и ферредоксин редуктазы следующих ферментов: фталат 3,4-диоксигеназы, фталат дегидродиол дегидрогеназы и декарбоксилазы. У штамма *Rhodococcus* sp. DK17 выявлены три плазмиды pDK1, pDK2 и pDK3 размером 380 т.п.н., 330 т.п.н. и 750 т.р.н., соответственно, при этом фталатные опероны дуплицируются и располагаются на плазмидах pDK2 и pDK3 (Choi *et al.*, 2005).

#### 1.3.3 Разложение бензойной кислоты бактериями

Бензойная кислота (БК) является широко распространенным ароматическим соединением и продуктом окислительного катаболизма многих ароматических углеводородов. Данное соединение служит источником углерода для самых разнообразных микроорганизмов.

<u>Бактерии-деструкторы бензойной кислоты.</u> Способность к деструкции бензойной кислоты обнаружена у бактерий родов *Rhodococcus, Pseudomonas, Alcaligenes, Azotobacter, Moraxella, Micrococcus, Nocardia* (Patrauchan *et al.*, 2005; Loh, Chua, 2002). Кроме того, изучена способность ряда грамотрицательных галофильных штаммов, в частности *Halomonas campisalis* и *Chromohalobacter* sp. HS-2, к утилизации бензоата в концентрации 1,6 г/л и 0,6 г/л, соответственно (Kim *et al.*, 2008; Oie *et al.*, 2007), а также грамположительных галотолерантных алкалофильных штаммов рода *Bacillus* утилизировать бензоат и *мета*-гидроксибензоат при содержании в среде культивирования более 3 г/л (Yumoto *et al.*, 2003).

<u>Пути метаболизма деструкции бензойной кислоты у бактерий.</u>
У прокариот наиболее часто встречается метаболический путь разложения БК

(«классический» путь), при котором на первом этапе образуется *цис*-дигидродиол. Эту реакцию катализирует диоксигеназа бензойной кислоты. На втором этапе декарбоксилироваиния, результате окислительного катализируемого дегидрогеназой, образуется пирокатехин (Patrauchan et al., 2005). В дальнейшем пирокатехин метаболизируется путем орто- или мета-расщепления бензольного 1,2-диоксигеназой И пирокатехин 2,3-диоксигеназой кольца пирокатехин получением иис, иис-муконата 2-гидроксимуконового полуальдегида, И соответственно (рисунок 7).

Рисунок 7. **Метаболический путь деградации бензойной кислоты бактериями** (Loh, Chua, 2002).

Разложение по *орто*-пути, также широко известному как  $\beta$ -кетоадипатный путь, широко распространено среди почвенных бактерий родов *Pseudomonas*, *Ralstonia*, *Acinetobacter* (Patrauchan *et al.*, 2005).

К.С. Loh и S.S. Chua подробно изучили метаболические пути деструкции при использовании в качестве субстрата бензоата натрия в различных концентрациях на примере штамма *Pseudomonas putida* ATCC 49451<sup>T</sup> (рисунок 7). У исследованного штамма *Pseudomonas putida* ATCC 49451<sup>T</sup> разложение бензоата осуществлялось как по *орто*-, так и по *мета*-пути, однако при концентрации субстрата меньше 200 мг/л деструкция соединения проходила через *орто*-расщепление, а при концентрации более 300 мг/л – через *мета*-расщепление (Loh, Chua, 2002).

Анализ литературных данных показал, что среди бактерий метаболический путь, при котором БК под действием бензоат 4-монооксигеназы окисляется до *пара*-гидроксибензойной кислоты (ПГБК), встречается крайне редко и описан для ряда грамотрицательных штаммов рода *Pseudomonas* и для штамма *Burkholderia* sp. 383 (GenBank CP000152). Стоит отметить, что у штамма *Burkholderia* sp. 383 трансформация БК осуществляется последовательно путем образования ПГБК, ПКК и пирокатехина (Reddy, Vaidyanathan, 1976).

Аэробный катаболизм бензоата также изучен у грамотрицательных протеобактерий *Azoarcus evansii* и грамположительных бактерий *Bacillus stearothermophilus*, при этом бензоат не был преобразован в оксибензоат или гентизат. Бензоил-КоА является продуктом катаболизма бензоата у обоих видов микроорганизмов в аэробных условиях и в дальнейшем преобразуется в различные тиоэфиры-КоА в кислород- и НАДФН-зависимых реакциях. Эти данные свидетельствуют о новом аэробном пути катаболизма бензоата через КоА (Zaar *et al.*, 2001).

При изучении генома грамположительных бактерий на примере штамма *Rhodococcus* sp. RHA1 было выявлено четыре кластера генов, комплементарных консервативным участкам, ответственным за катаболизм бензоата. Хромосомные *ben*-гены кодируют различные диоксигеназы (*benABC*)

(benD). Последовательность И дигидродиол дегидрогеназы генома Rhodococcus sp. RHA1 содержит *ben*-оперон, включающий гены кодирования цитохрома Р450 – монооксигеназу и редуктазу непосредственно кодируемая *fpr254A1*, содержит Редуктаза, кластер и флавинаденин динуклеотид / NAD область. N-терминальные 22 аминокислоты сур254А1-кодированной оксигеназы имеют 85% сходства последовательности N-концевым пептидом цитохрома  $P450_{2EP}$ который катализирует деалкилирование 2-этоксифенола (Patrauchan *et al.*, 2005).

### 1.3.4 Галотолерантные и галофильные бактерии-деструкторы стойких органических загрязнителей

настоящее время весьма актуальными становятся исследования аборигенных микроорганизмов, обитающих в условиях высоких концентраций солей и способных осуществлять разложение поллютантов, так как применение И сообществ неадаптированных штаммов микроорганизмов высокоминерализованных объектов не эффективно. Наряду с этим имеются лишь ограниченные и несистематизированные данные о способности галотолерантных галофильных трансформации И бактерий деструкции И токсичных ксенобиотиков при высокой концентрации соли в среде обитания. Встречаются опубликованные результаты о микроорганизмах (архебактериях и эубактериях), выделенных из разных высокоминерализованных сред (засоленных почв, солончаковых болот, высокоминерализованных озер и источников, и районов нефтедобычи) и способных осуществлять разложение алифатических, моно- и полиароматических углеводородов (Oren, 1992; Ventosa, Nieto, 1995; Margesin, Schinner, 2001).

Неоднократно сообщалось, что биодеградационный потенциал экстремальных галофилов довольно ограничен, так как в большинстве случаев метаболическая активность и бактериальное разнообразие уменьшаются по мере увеличения концентрации соли. Однако после длительного культивирования можно наблюдать увеличение степени деградации и количества

метаболизируемых углеводородов, что обусловлено адаптацией микробных консорциумов к высокой концентрации соли в среде. Тем не менее, имеются и противоположные результаты исследований, что говорит о сложности микробных сообществ и специфику загрязненных мест (Borgne *et al.*, 2008).

Таблица 2 **Галофильные и галотолерантные бактерии-деструкторы стойких** органических соединений

| TI                                          | 0                                                                     |                                                                          |
|---------------------------------------------|-----------------------------------------------------------------------|--------------------------------------------------------------------------|
| Исследованные                               | Спектр разлагаемых                                                    | Ссылка                                                                   |
| бактерии                                    | субстратов                                                            | C C DIVINCE                                                              |
| Alcaligenes faecalis                        | Фенол                                                                 | Bastos et al., 2000                                                      |
| Alcaligenes sp.,                            |                                                                       |                                                                          |
| Micrococcus sp. и                           | Нафталин и антрацен                                                   | Ashok et al., 1995                                                       |
| Pseudomonas sp.                             |                                                                       |                                                                          |
| Arthrobacter sp.,                           |                                                                       | Бердичевская, 1989;                                                      |
| Micrococcus sp. и                           | н-Алканы нефти                                                        | Милехина и др., 1991;                                                    |
| Rhodococcus sp.                             |                                                                       | Плакунов и др., 1999                                                     |
| Arthrobacter sp.,                           |                                                                       |                                                                          |
| Pseudomonas sp. и                           | Нафталин и фенантрен                                                  | Плотникова и др., 2001                                                   |
| Rhodococcus sp.                             |                                                                       |                                                                          |
| Arthrobacter sp. SF27                       | Нафталин, гентизат, фенантрен, 1-гидрокси-2-нафтоат, <i>орто</i> -ФК  | Плотникова и др., 2011                                                   |
|                                             | Нафталин, бифенил,                                                    |                                                                          |
| Arthrobacter sp. SN17                       | моноароматические и                                                   | Плотникова и др., 2011                                                   |
|                                             | алифатические углеводороды                                            |                                                                          |
| Bacillus licheniformis                      | Нефть, алканы и ПАУ                                                   | Manoj <i>et al.</i> , 2007                                               |
| Bacillus sp. И23, И27                       | Дизельное топливо, пентадекан                                         | Ястребова и др., 2008                                                    |
| Chromohalobacter                            | Фосфоноацетат, 2-аминоэтил, 3-                                        |                                                                          |
| marimortui                                  | аминопропил, 4-аминобутил-,                                           | Sylvie Le Borgne, 2008                                                   |
| marimoriui                                  | метил-и этил-фосфонаты                                                |                                                                          |
| Cycloclasticus sp.                          | Нафталин и фенантрен                                                  | Dyksterhouse <i>et al.</i> , 1995;<br>Geiselbrecht <i>et al.</i> , 1996; |
|                                             |                                                                       | 1998; Kasai <i>et al.</i> , 2002                                         |
| Dietzia maris и<br>Rhodococcus erythropolis | Смеси парафинов (С <sub>14</sub> -С <sub>18</sub> )                   | Звягинцева и др., 2001                                                   |
| Haloferax sp.                               | Бензоат, циннамат и фенилпропионат                                    | Emerson et al., 1994                                                     |
| Halomonas campisalis                        | Фенол                                                                 | Alva, Peyton, 2003                                                       |
| _                                           | Бензойная, ПГБК, циннамическая,                                       |                                                                          |
| Halomonas organivorans                      | салициловая, фенилпропионовая и <i>пара</i> -аминосалициловая кислоты | Garcýa <i>et al.</i> , 2004                                              |
| Halomonas sp.                               | Фенол                                                                 | Hinteregger, Streichsbier, 1997                                          |
| Lutibacterium                               | Дву- и трехкольцевые                                                  | Chung et al., 2001                                                       |
| anuloederans                                | ароматические углеводороды                                            | Chung et at., 2001                                                       |
| Marinobacter                                | Алифатические и ароматические                                         | Gauthier et al., 1992                                                    |
| hydrocarbonoclasticus                       | углеводороды                                                          | Gautifici et at., 1992                                                   |

Окончание. Таблица 2

Галофильные и галотолерантные бактерии-деструкторы стойких органических загрязнителей

| Исследованные<br>бактерии                                    | Спектр разлагаемых<br>субстратов                                        | Ссылка                     |
|--------------------------------------------------------------|-------------------------------------------------------------------------|----------------------------|
| Micromonospora sp.,<br>Streptomyces sp. и<br>Rhodococcus sp. | Алифатические и ароматические нитрилы                                   | Colquhoun et al., 1998     |
| Neptunomonas<br>naphthovorans                                | Нафталин, фенантрен, аценафтен                                          | Hedlund et al., 1999       |
| Paenibacillus sp.                                            | Нафталин и фенантрен                                                    | Daane <i>et al.</i> , 2002 |
| Paenibacillus sp. И10b                                       | Дизельное топливо, нафталин и декан                                     | Ястребова и др., 2008      |
| Rhodococcus erythropolis                                     | $C_5$ - $C_{16}$ углеводороды                                           | de Carvalho et al., 2005   |
| Rhodococcus sp.                                              | Бензол                                                                  | Luz et al., 1997           |
| Roseobacter sp.                                              | Бензоат, <i>пара</i> -оксибензоат, салицилат, протокатехат              | Buchan et al., 2000        |
| Streptomyces albiaxalis                                      | Сырая нефть и продукты ее переработки                                   | Кузнецов и др., 1992       |
| Vibrio cyclotrophicus 2P44                                   | Нафталин, фенантрен, бифенил, аценафтен, флюорен, антрацен и флюорантен | Hedlud et al., 2001        |

Утилизация ароматических и алифатических углеводородов обнаружена у ряда морских организмов. Представитель нового вида и рода — экстремально галотолерантный микроорганизм *Marinobacter hydrocarbonoclasticus*, растущий в пределах 0,08-3,5 М NaCl, осуществляет деструкцию алифатических и ароматических углеводородов (Gauthier *et al.*, 1992). Кроме того, данный микроорганизм имеет и другие характеристики, такие как психрофильность, алкалифильность, термотолерантность и устойчивость к тяжелым металлам, которые делают его универсальным и весьма интересным для возможного практического применения в биотехнологии (Borgne *et al.*, 2008).

Из глубоководных морских осадков были выделены актиномицеты родов *Micromonospora*, *Streptomyces* и *Rhodococcus*, использующие алифатические и ароматические нитрилы в качестве субстрата и растущие на 20 мМ ацетонитрила в жидкой минеральной среде при солености 0-40 г/л (Colquhoun *et al.*, 1998). Исследованы штаммы группы *Roseobacter*, способные к росту на бензоате, *пара*-оксибензоате, салицилате, протокатехате и ряде

других моноароматических соединений с максимальной скоростью роста при 0,25-0,50 M NaCl (Buchan *et al.*, 2000; Borgne *et al.*, 2008).

Способность к деградации нафталина, фенантрена, бифенила, аценафтена, флюорена, антрацена и флюорантена обнаружена у штамма Vibrio cyclotrophicus 2001). P-2P44 (Hedlud al., Описана утилизация нафталина его метилированных производных, фенантрена, а также кометаболизм аценафтена культурой Neptunomonas naphthovorans NAG-2N-113 (Hedlund et al., 1999). Бактерии Lutibacterium anuloederans способны использовать дву- и трехкольцевые ароматические углеводороды в качестве единственного источника углерода и энергии (Chung et al., 2001). Для роста данных микроорганизмов, обладающих широким субстратным рядом утилизируемых ПАУ, необходимо 10 г/л NaCl. Особую роль в биоремедиации морских экосистем играют бактерии рода Cycloclasticus. осуществляющие деструкцию нафталина и фенантрена (Dyksterhouse et al., 1995; Geiselbrecht et al., 1996, 1998; Kasai et al., 2002).

Изучена способность некоторых почвенных эубактерий к утилизации различных алифатических и ароматических углеводородов в условиях высокой минерализации среды. Halomonas organivorans способен использовать широкий спектр органических соединений в присутствии 100 г/л NaCl (бензойную, пара-гидроксибензойную, циннамическую, салициловую, фенилпропионовую и *пара*-аминосалициловую кислоты) (Garcýa et al., 2004). Другой представитель семейства Halomonadaceae разлагал 0,1 $\Gamma/\Pi$ фенола при концентрации 10-140 (Hinteregger, Streichsbier, 1997). Alcaligenes faecalis, г/л NaCl изолированный ИЗ почвы джунглей Амазонии (Бразилия), осуществлял разложение 7,5 мМ фенола при 56 г/л NaCl за 4 дня (Bastos et al., 2000). Почвенные бактерии *Rhodococcus* sp., толерантные к 60 г/л NaCl, утилизировали бензол (Luz et al., 1997). Штамм Rhodococcus erythropolis DCL14, выделенный метаболическую ИЗ почвы, сохранял активность В отношении  $C_{5}$ - $C_{16}$ углеводородов при 25 г/л хлорида натрия (Carvalho et al., 2005). Способность к деструкции нафталина и фенантрена обнаружена у ризосферных бактерий солончаковых болот рода Paenibacillus (Daane et al., 2002). Четыре бактериальных

штамма, принадлежащих родам *Micrococcus, Pseudomonas* и *Alcaligenes*, выдерживали 75 г/л NaCl и могли расти на 1 г/л нафталина и антрацена (Ashok *et al.*, 1995). Недавно описан штамм DHT, близкородственный *Bacillus licheniformis*, утилизирующий сырую нефть, алканы и ПАУ в пределах 0-100 г/л солености среды (Manoj *et al.*, 2007).

Грамотрицательные галофильные микроорганизмы, близкородственные по гену 16S рРНК с бактериями Chromohalobacter marimortui, могут использовать для роста фосфоноацетат, 2-аминоэтил, 3-аминопропил, 4-аминобутил-, метил- и этил-фосфонаты в качестве источников фосфора. Данные изоляты оптимально растут при 100 г/л NaCl, при этом скорость роста на различных фосфоновых кислотах повышении снижалась при концентрации соли (Borgne et al., 2008). Описаны умеренно галофильные изоляты из теплых высокоминерализованных источников, проявляющие высокую активность по отношению к органофосфорным соединениям в присутствии 50 г/л NaCl (Defrank, Cheng, 1991). Halomonas campisalis, изолированный из озера Soap Lake (США), способен разлагать фенол при содержании 0-150г/л NaCl (Alva, Peyton, 2003).

Бондюжского нефтяного Археи, выделенные ИЗ пластовых вод месторождения (Россия), активно трансформировали  $\mu$ -алканы состава  $C_{10}$ - $C_{30}$ сырой нефти в присутствии 300 г/л NaCl (Куличевская и др., 1991). Галофильный штамм архей *Haloferax* sp. D1227 способен использовать бензоат, циннамат фенилпропионат качестве источников углерода энергии В И (Emerson et al., 1994). Неидентифицированный галофильный архей деградирует ПАУ (аценафтен, фенантрен, антрацен 0,5 г/л), а также предельные углеводороды  $(C_{14}, C_{16}, C_{18}, C_{21}, пристан)$  в среде, приготовленной из высокоминерализованной воды солончакового болота (21 г/л NaCl), при этом рост на углеводородах отсутствовал при концентрациях ниже 110 г/л NaCl (Bertrand et.al., 1990).

В ряде исследований показана способность аэробных нефтеокисляющих микроорганизмов к росту в условиях пластовых вод, представленных хлоридно-кальциевыми рассолами с минерализацией от 6 до 272 г/л. Основными

представителями углеводородокисляющих сообществ в нефти являются бактерии Rhodococcus, Arthrobacter и Micrococcus. Данные микроорганизмы полностью утилизируют *н*-алканы нефти при содержании в среде 150 г/л NaCl 1989: 1991: (Бердичевская, Милехина и др., Плакунов др., Исследование деструкции смеси парафинов ( $C_{14}$ - $C_{18}$ ) культурами *Rhodococcus* erythropolis и Dietzia maris показало, что диапазон деструктивной активности Rhodococcus erythropolis составляет 5-50 г/л NaCl, a Dietzia maris 5-100 г/л NaCl (Звягинцева и др., 2001). В.Д. Кузнецов с соавт. (1992) описали уникальный штамм Streptomyces albiaxalis, который способен деградировать сырую нефть и продукты ее переработки даже в присутствии 300 г/л NaCl.

Таким образом, анализ литературных данных показал, что информация галофильных/галотолерантных бактериях, изолированных из природных солевых отложений и высокоминерализованных образцов из промышленных разработок месторождений солей, встречается лишь в единичных исследованиях. Территории соледобычи Верхнекамского месторождения калийно-магниевых и натриевых солей (Пермский край, Россия) подвержены комплексной экологической нагрузке за счет не только повышенного уровня минерализации, воздействия стойких органических загрязнителей, но И В частности ароматических углеводородов производных, галогенуглеводородов И ИХ и фталатов (Алтынцева, 2001; Бачурин, Одинцова, 2009). Сложившиеся условия являются основой для формирования группы микроорганизмов, устойчивых к высокому содержанию соли в среде и способных при этом проявлять биодеградационные свойства. Такие микроорганизмы, безусловно, являются объектом повышенного интереса микробиологов и биотехнологов.

#### Глава 2. МАТЕРИАЛЫ И МЕТОДЫ ИССЛЕДОВАНИЙ

#### 2.1 Образцы исследования

Из района ВКМКС на территории соледобывающих предприятий ОАО «Уралкалий» (г. Соликамск, г. Березники, Пермский край) в июне 2008 г., 2011 г. были отобраны образцы галитовых отходов, грунта около солеотвалов, образцы донных отложений рассолосборника. Образцы воды руды (каменной соли и сильвинита) и техногенно-минеральных образований (ТМО) из шламоотстойников соледобывающих производств были предоставлены сотрудниками ФГБУН Горного института УрО РАН (отбор проб осуществляли в 2009 г.) (таблица 3).

Образцы, отобранные в районе солеразработок

Таблица 3

Концентрация Концентрация Порядковый  $M\Gamma$ -3KB/100Образец ионов Na Проба Место отбора Каменная Рудник СКПРУ-1 (г. Соликамск) 1 H.O. H.O. соль Рудник СКПРУ-1 (г. Соликамск). № скважины 22227а. Пласт: Б. Сильвинит 2 H.O. H.O. Интервал отбора: 8,75-8,98. Мощность: 0,23. Рудник СКПРУ-1 (г. Соликамск). № скважины 22227a. Пласт: Кр I. 3 Сильвинит H.O. H.O. Интервал отбора: 2,62-2,73. Мощность: 0,11. Рудник СКПРУ-1 (г. Соликамск). № скважины 22227а. Пласт: А'. Сильвинит 1277 293710 4 Интервал отбора: 6,45-6,56. Мощность: Рудник СКПРУ-1 (г. Соликамск). Каменная № скважины 22227а. Пласт: А'-А. 1115 256450 5 Интервал отбора: 6,56-6,79. Мощность: соль 0,23.Рудник СКПРУ-1 (г. Соликамск). № скважины 22227а. Пласт: Б. Сильвинит 6 H.O. H.O. Интервал отбора: 8,29-8,43. Мощность: 0.14.

Окончание. Таблица 3 **Образцы, отобранные в районе солеразработок** 

| Образец             | Проба                                              | Место отбора                                                                                 | Концентрация<br>ионов Na <sup>+</sup> ,<br>мг-экв/100 г                                     | Концентрация<br>ионов Na <sup>+</sup> ,<br>мг/кг | Порядковый<br>номер |    |
|---------------------|----------------------------------------------------|----------------------------------------------------------------------------------------------|---------------------------------------------------------------------------------------------|--------------------------------------------------|---------------------|----|
| 1)                  |                                                    | Солеотвал СКПРУ-2 (г. Соликамск)                                                             | 1437                                                                                        | 330510                                           | 7                   |    |
| Галитовые<br>отходы | Соляная                                            | Солеотвал СКПРУ-2 (г. Соликамск) (граница почвы и солеотвала)                                | 471                                                                                         | 108330                                           | 8                   |    |
| алу                 | корка                                              | Солеотвал СКПРУ-1 (г. Соликамск)                                                             | 1813                                                                                        | 416990                                           | 9                   |    |
|                     |                                                    | Солеотвал БКРУ-1 (г. Березники)                                                              | н.о.                                                                                        | н.о.                                             | 10                  |    |
| оло-                | Вода                                               | У солеотвала СКПРУ-2 (г. Соликамск)                                                          | 181                                                                                         | 41630                                            | 11                  |    |
| Рассоло-<br>сборник | Донные<br>отложения                                | У солеотвала СКПРУ-2 (г. Соликамск)                                                          | 995                                                                                         | 228850                                           | 12                  |    |
| Грунт               | Грунт<br>(1-2 м от<br>солеотвала)                  | У солеотвала СКПРУ-2 (г. Соликамск)                                                          | 1326                                                                                        | 304980                                           | 13                  |    |
| 6                   | TMOI                                               | Рудник БКПРУ-1 (г. Березники).<br>Образец «Шлам 1»                                           | н.о.                                                                                        | н.о.                                             | 14                  |    |
| TMOI TMOI           | Рудник БКПРУ-1 (г. Березники).<br>Образец «Шлам 2» | н.о.                                                                                         | н.о.                                                                                        | 15                                               |                     |    |
| бразования (ТМО)    |                                                    | Рудник БКПРУ-2 (г. Березники).<br>Образец 220/2. Шламохранилище.<br>Шурф № 1. Глубина 0,5м.  | 170                                                                                         | 39100                                            | 16                  |    |
| альные о            | 0                                                  |                                                                                              | Рудник БКПРУ-2 (г. Березники).<br>Образец 219/1. Шламохранилище.<br>Шурф № 1. Глубина 0,3м. | н.о.                                             | н.о.                | 17 |
|                     | TMOII                                              | Рудник БКПРУ-2 (г. Березники).<br>Образец 221/3. Шламохранилище.<br>Шурф № 2. Глубина 0,2 м. | 22                                                                                          | 5060                                             | 18                  |    |
|                     |                                                    | Рудник БКПРУ-2 (г. Березники).<br>Образец 222/4. Шламохранилище.<br>Шурф № 3. Глубина 0,2 м. | 137                                                                                         | 31510                                            | 19                  |    |
|                     |                                                    | Рудник БКПРУ-2 (г. Березники).<br>Образец 222/5. Шламохранилище.<br>Шурф № 3. Глубина 0,4 м. | 150                                                                                         | 34500                                            | 20                  |    |

Примечание. «н.о.» – не определяли.

Почва (контрольный вариант), отобранная на расстоянии 1600 м от солеотвала СКПРУ-1 содержала  $\mathrm{Na}^+$  в концентрации 0,02 мг-экв/100 г (4,6 мг/кг).

В районе складирования твердых отходов (солеотвалов) предприятий СКПРУ-1 и СКПРУ-2 ОАО «Уралкалий» г. Соликамска в июне 2008, 2011, 2012 гг. были отобраны 13 образцов ризосферы доминирующих растений, произрастающих в непосредственной близости от солеотвалов (таблица 4).

Таблица 4 Образцы ризосферы доминирующих растений, произрастающих в районе солеразработок

| iiponspueruomina b punone concepuspuoorok                            |                                  |                                                   |                                                  |                  |
|----------------------------------------------------------------------|----------------------------------|---------------------------------------------------|--------------------------------------------------|------------------|
| Растение                                                             | Место отбора                     | Концентрация ионов $\mathrm{Na}^+$ , мг-экв/100 г | Концентрация<br>ионов Na <sup>+</sup> ,<br>мг/кг | Порядковый номер |
| Ястребинка зонтичная (Hieracium umbellatum L.)                       | 10-12 м от солеотвала СКПРУ-2    | 0,34                                              | 78,2                                             | 1                |
| Вероника дубравная (Veronica chamaedrys)                             | 10-12 м от солеотвала<br>СКПРУ-2 | 0,37                                              | 85,1                                             | 2                |
| Торичник солончаковый (Spergularia salina J. & C.)                   | 10-12 м от солеотвала<br>СКПРУ-2 | 1,68                                              | 386,4                                            | 3                |
|                                                                      | 5 м от солеотвала<br>СКПРУ-1     | 10,52                                             | 2419,6                                           | 4                |
|                                                                      | 20 м от солеотвала<br>СКПРУ-2    | 1,37                                              | 315,1                                            | 5                |
| Мятлик луговой ( <i>Poa pratensis</i> L.)                            | 50 м от солеотвала<br>СКПРУ-2    | 1,39                                              | 319,7                                            | 6                |
|                                                                      | 10 м от солеотвала<br>СКПРУ-2    | 3,23                                              | 742,9                                            | 7                |
|                                                                      | 5 м от солеотвала<br>СКПРУ-2     | 8,45                                              | 1943,5                                           | 8                |
|                                                                      | 10 м от солеотвала<br>СКПРУ-2    | 0,56                                              | 128,8                                            | 9                |
| Марь красная ( <i>Chenopodium rubrum</i> L.)                         | 5 м от солеотвала<br>СКПРУ-2     | 5,18                                              | 1191,4                                           | 10               |
|                                                                      | 10 м от солеотвала<br>СКПРУ-1    | 1,24                                              | 285,2                                            | 11               |
| Мать-и-мачеха<br>обыкновенная ( <i>Tussilago</i><br><i>farfara</i> ) | 10-12 м от солеотвала<br>СКПРУ-1 | 1,41                                              | 324,3                                            | 12               |
| Нивяник обыкновенный (Leucanthemum vulgare)                          | 10-12 м от солеотвала СКПРУ-2    | 2,94                                              | 676,2                                            | 13               |

У большей части исследованных образцов было определено содержание катионов Na<sup>+</sup> методом водной вытяжки (приготовленной согласно ГОСТу 26423-85) с последующей детекцией на атомно-абсорбционном спектрофотометре AA-6300 («Shimadzu», Япония) (рисунок 8, 9).

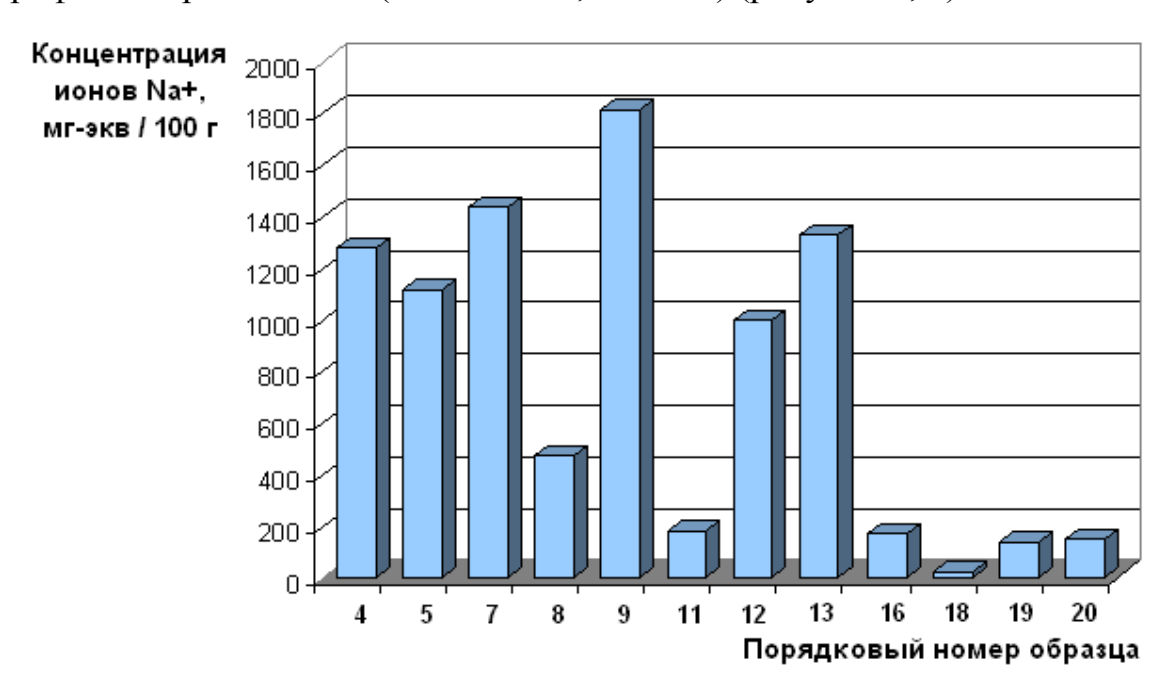


Рисунок 8. Концентрация ионов  $Na^+$  в исследуемых образцах, отобранных на территории промышленных разработок ВКМКС.

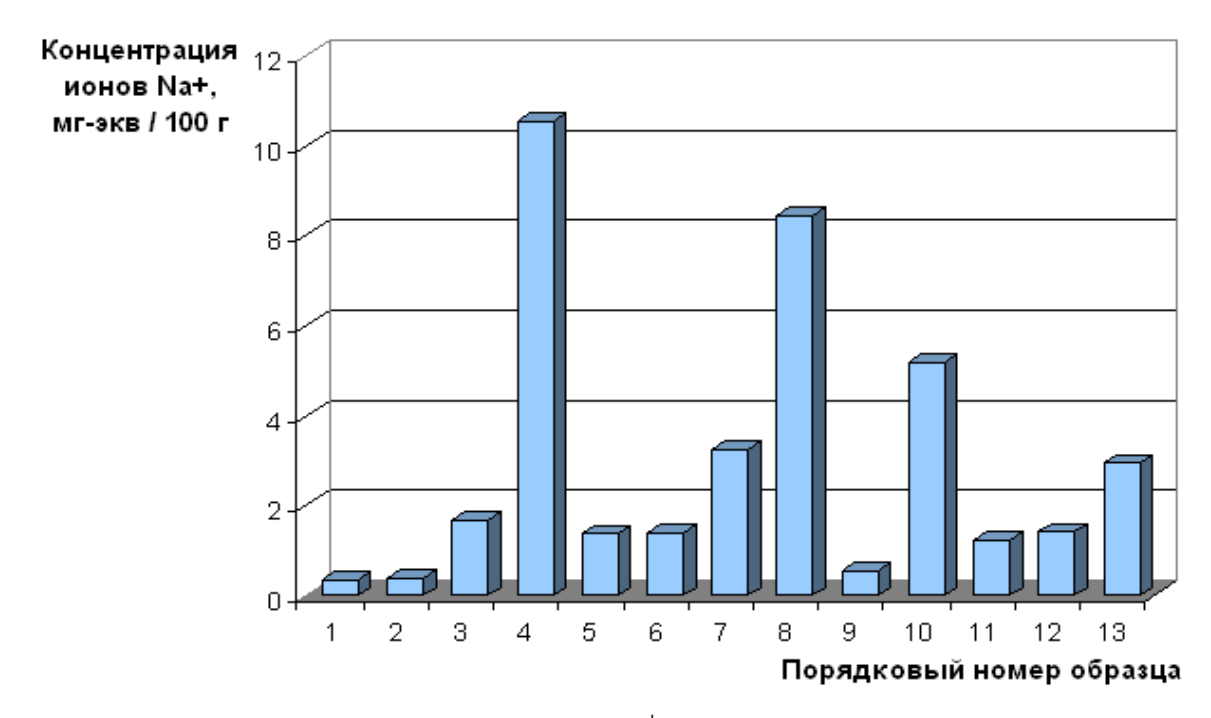


Рисунок 9. Концентрация ионов  $Na^+$  в исследуемых образцах ризосферы растений, произрастающих на территории промышленных разработок ВМКМС (г. Соликамск).

#### 2.2 Среды и условия культивирования

Для выделения и роста галотолерантных микроорганизмов была использована минеральная среда Раймонда (МСР) следующего состава (г/л):  $NH_4NO_3-2.0$ ,  $MgSO_4\times7H_2O-0.2$ ,  $K_2HPO_4-2.0$ ,  $Na_2HPO_4-3.0$ ,  $CaCl_2\times6H_2O-0.01$ ,  $Na_2CO_3-0.1$ , дополненная 1% раствором  $MnSO_4\times2H_2O-2$  мл/л и 1% раствором  $FeSO_4\times7H_2O-1$  мл/л среды (Raymond, 1961). Содержание хлорида натрия в среде варьировало от 0 до 200 г/л NaCl.

Для выделения бактерий-деструкторов ароматических углеводородов в качестве субстрата использовали нафталин и *орто*-фталевую кислоту в концентрации 1 г/л.

Для приготовления богатой среды Раймонда (БСР) в МСР добавляли 5 г/л триптона («Fluka», США) и 2,5 г/л дрожжевого экстракта («Difco», США) в качестве ростовых субстратов.

При выделении галофильных микроорганизмов использовали модифицированную среду ATCC 213 «*Halobacterium* medium», представленную следующим составом (г/л): NaCl -200,0, MgSO<sub>4</sub> x 7H<sub>2</sub>O -10,0, KCl -5,0, CaCl<sub>2</sub> x 6H<sub>2</sub>O -0,2, дрожжевой экстракт («Difco», США) -10,0, триптон («Fluka», США) -2,5 (www.atcc.org/~/media/2DB3DC353ECE44A6BDB7CA5965614347.ashx).

Культивирование микроорганизмов в жидких средах проводили при 28°C на термостатируемой качалке при 100 об/мин.

Для получения агаризованных сред агар («Difco», США) добавляли до конечной концентрации 15 г/л. Культивирование микроорганизмов осуществляли в термостате при 28° С.

#### 2.3 Методы выделения микроорганизмов

В большинстве случаев выделение микроорганизмов проводили **методом посева на твердые питательные среды**. Исследуемые образцы весом 1 г помещали в 250 мл колбы со 100 мл стерильного раствора NaCl (30 г/л). Инкубацию проводили в течение 30-60 минут на термостатируемом шейкере при 100 об/мин и 28°C. Чистые культуры микроорганизмов выделяли путем нанесения почвенной суспензии (5-7 разведение) на поверхность

агаризованной БСР, содержащей 30, 50 или 150 г/л NaCl и инкубировали при 28°C до появления колоний.

Как альтернативный способ выделения штаммов микроорганизмов, а также для получения бактерий-деструкторов различных ароматических соединений использовали метод накопительных культур.

Накопительные культуры (НК) различались источниками углерода и содержанием хлорида натрия в ростовой среде. Было сделано три различных варианта накопительных культур:

- 1) на МСР с разными концентрациями NaCl (от 30 до 200 г/л). В качестве субстратов для минеральных НК использовали нафталин и *орто*-фталевую кислоту в концентрации 1 г/л;
  - 2) на БСР с разным содержанием хлорида натрия (от 30 до 200 г/л);
  - 3) на среде ATCC 213 «Halobacterium medium» с 200 г/л NaCl.

Исследуемые образцы весом 1 г были помещены в 250 мл колбы с 100 мл ростовой среды. Инкубация проводилась в течение 2 недель на термокачалке (100 об/мин) при температуре 28°C. Из накопительных культур путем высева на селективные агаризованные среды выделяли чистые культуры микроорганизмов.

#### 2.4 Определение ростовых характеристик

Параметры роста выделенных бактерий изучали в периодической культуре в средах, описанных в гл. 2.2. Культуры микроорганизмов выращивали в колбах Эрленмейера объемом 250 мл (объем среды — 100 мл) при 28°С, аэрация на термокачалке при 100 об/мин. Оптическую плотность (ОП) культуральной жидкости определяли на спектрофотометре UV-Visible BioSpec-mini («Shimadzu», Япония) при длине волны 600 нм в кювете с длиной оптического пути 1 см. При выращивании в жидких средах ОП $_{600}$  0,04-0,05 единиц, оценивали как «+», ОП $_{600}$  0,05-0,2 единицы — «++», ОП $_{600}$  0,2-0,5 единиц — «+++».

Количество колониеобразующих единиц (КОЕ) определяли методом стандартных серийных разведений с последующим высевом и подсчетом колоний

микроорганизмов на чашках Петри с БСР в присутствии 30 г/л NaCl или ATCC 213 «*Halobacterium* medium» с 200 г/л NaCl.

Расчет удельной скорости роста ( $\mu$ ), времени удвоения ( $t_d$ ) и длительности lag-фазы ( $T_1$ ) проводили по стандартным формулам (Нетрусов и др., 2005).

Чистоту культур контролировали высевом микроорганизмов на чашках Петри с агаризованной богатой средой (БСР, 30 г/л NaCl).

#### 2.4.1 Рост на ароматических углеводородах

Способность бактерий разлагать ароматические углеводороды оценивали путем культивирования на агаризованой MCP при 28°C с добавлением («Fluka», США) моно(поли)ароматических углеводородов В качестве единственного источника углерода и энергии. Фенантрен, нафталин, бифенил, бензол, толуол и фенол помещали на крышку перевернутой чашки Петри; орто-фталевую кислоту (орто-ФК), гентизиновую, протокатеховую (ПКК), бензойную (БК), пара-гидроксибензойную кислоты (ПГБК) вносили в среду до конечной концентрации 1 г/л, салициловую кислоту – до 0,5 г/л. Рост колоний бактерий на агаризованных средах с ароматическими углеводородами оценивали по сравнению с ростом на агаризованных средах того же состава без субстратов (контрольный вариант). Колонии диаметром 0,2 см оценивали как «+», 0,2-0,4 см – «++», 0,5 см и выше – «+++».

Рост бактерий на ароматических углеводородах оценивали также при культивировании в жидкой МСР, при этом субстраты (БК, *орто*-ФК, нафталин) вносили до конечной концентрации 1 г/л. Рост культур оценивали, как описано в главе 2.4.

# 2.4.2 Рост микроорганизмов при изменении осмолярности среды или концентрации субстрата

Ростовые характеристики микроорганизмов изучали <u>в периодической культуре</u> при выращивании в колбах Эрленмейера объемом 250 мл в 100 мл жидкой среды при 28°C и аэрации на круговой качалке (100 об/мин):

- 1) в БСР без NaCl и при содержании соли до 120 г/л (интервал концентраций NaCl 10 г);
- 2) в МСР, не содержащей NaCl, с внесением в качестве субстрата *орто*-ФК до конечной концентрации от 1,0 до 8,0 г/л, и БК от 0,4 до 5,0 г/л;
- 3) в МСР с БК (0,5 г/л), *орто*-ФК (1 г/л) или нафталином (1 г/л), и NaCl в концентрации от 10 до 120 г/л.

Рост культур оценивали по измерению ОП и подсчету КОЕ, как описано в главе 2.4.

При изучении устойчивости микроорганизмов к NaCl (0-300 г/л) на агаризованных средах (БСР и МСР с ароматическими углеводородами) оценивали размер колоний: колонии диаметром 0.2 см - «+», 0.2-0.4 см - «++», 0.5 см и выше - «+++».

#### 2.5 Разложение ароматических углеводородов

Утилизацию *орто*-ФК и БК определяли по изменению концентрации ароматических субстратов в среде при периодическом культивировании в МСР. Концентрацию соединений оценивали с использованием метода высокоэффективной жидкостной хроматографии (ВЭЖХ) в культуральной жидкости, освобожденной от клеток (центрифуга miniSpin, «Eppendorf», Германия, 9660 об/мин, 3 мин), как описано (Егорова и др., 2010).

Деструкция БК. орто-ФК И Деструкцию проводили опытах с «отмытыми» клетками. Бактериальную культуру выращивали в жидкой МСР с *орто*-ФК и БК (1 г/л) при 28°С до  $O\Pi_{600}$ =1,0. Клетки отмытые дважды в МСР (1 мл,  $O\Pi_{600} = 2.0$ ) переносили во флаконы с тефлоновыми крышками. *орто*-ФК и БК добавляли до конечной концентрации 500 мг/л, NaCl – до концентрации от 10 до 60 г/л (интервал концентраций - 10 г). Флаконы встряхивали на круговой качалке (180 об/мин) при 28°C. Анализ содержания *орто*-ФК, БК и продуктов деструкции проводили методами ВЭЖХ и спектрофотометрии, как описано 2010). Концентрацию веществ рассчитывали (Егорова др., согласно калибровочным графикам.

Высокоэффективная жидкостная хроматография (ВЭЖХ). 20 мкл каждого образца анализировали на колонке Сепарон SGX 100 NH<sub>2</sub>, 4,6х150 мм, 5 мкм (Dr. Maisch GmbH). В качестве подвижной фазы использовали 80% раствор ацетонитрила при скорости потока 1 мл/мин и температуре 40°С. Искомое вещество определяли в ультрафиолете при длине волны 230 нм, используя UV/VIS detector («Shimadzu», Япония). Идентификацию проводили при сравнении времени выхода пиков экстрактов со стандартными растворами искомых веществ в концентрациях 5, 50, 100 мг/л. Количественное содержание рассчитывали с помощью пакета программ «LCsolution» («Shimadzu», Япония).

Спектрофотометрия. Для выделения И идентификации продуктов БК биодеструкции орто-ФК, культуральную жидкость очищали от бактериальных клеток методом центрифугирования (9660 об/мин в течение 3 мин на центрифуге miniSpin («Eppendorf», Германия). Для дальнейшего исследования использовали надосадочную жидкость. Детекцию анализируемых UV-Visible BioSpec-mini проводили на спектрофотометре соединений («Shimadzu», Япония) при  $\lambda_{\text{макс}}$  от 390 нм до 440 нм.

### 2.6 Морфологическая и физиолого-биохимическая идентификация микроорганизмов

Морфологию колоний изучали у 72 часовых культур, выращенных на агаризованных БСР (30, 50 г/л NaCl) и АТСС 213 «*Halobacterium* medium» (200 г/л NaCl) (Методы общей бактериологии, 1983).

Морфологию клеток изучали у 12-72 часовых культур, выращенных на агаризованной богатой среде Раймонда, содержащей 30 г/л NaCl, с использованием световой микроскопии (микроскоп ЕС ЛЮМАМ РПО-11, Россия).

<u>Подвижность клеток</u> смотрели в препарате «раздавленная капля». Препарат готовили на предметном стекле, в каплю физиологического раствора петлей вносили небольшое количество бактериальной культуры. Затем на каплю накладывали покровное стекло, после чего проводили микроскопирование

препарата под иммерсией (объектив x100) (микроскоп EC ЛЮМАМ РПО-11, Россия).

<u>Грампринадлежность</u> определяли методом теста с КОН (Смирнов, Киприанова, 1990). Небольшое количество суточной культуры бактерий наносили на предметное стекло и размешивали платиновой петлей в капле 3% КОН. Через 1-2 минуты проверяли наличие лизиса. Грамотрицательные бактерии лизировались и капля становилась желеобразной. Суспензии грамположительных микроорганизмов сохраняли свой прежний вид.

Для индикации <u>каталазы</u> в каплю 3% перекиси водорода платиновой петлей вносили культуру. О наличии каталазы судили по появлению пузырьков газа через 2-5 мин (Методы общей бактериологии, 1983).

Оксидазную активность определяли нанесением культуры платиновой петлей на фильтровальную бумагу, пропитанную 1% раствором тетраметил-пфенилендиамина. Развитие пурпурной или фиолетовой окраски свидетельствовало о присутствии оксидазы (Методы общей бактериологии, 1983).

Рост при разных значениях рН определяли при концентрации Na<sup>+</sup> 0,8-0,85 М в буферных системах, приготовленных на основе БСР. Штаммы культивировались на чашках Петри на агаризованной среде при рН 5,0, 6,0, 7,0, 8,0, 9,0. Рост учитывали на седьмой день культивирования (Методы общей бактериологии, 1983).

<u>Рост при разных температурах.</u> Штаммы культивировали на агадизованной БСР (30 г/л NaCl) при 10, 20, 28, 37 и 45°C. Рост учитывали на седьмой день культивирования.

#### 2.7 Молекулярно-генетические методы

#### 2.7.1 Подготовка проб ДНК для ПЦР

Единичная колония чистой культуры микроорганизма при помощи платиновой петли помещалась в пробирку «эппендорф», содержащую 100 мкл 0,05N NaOH. Смесь инкубировали при температуре 95°C 15 мин, затем охлаждали в течение 15 мин при температуре -20°C, далее центрифугировали при

12000 об/мин 2 мин. Для проведения амплификации генов 16S рРНК отбирали 1 мкл супернатанта лизата.

#### 2.7.2 Амплификация гена 16S рРНК

Амплификацию фрагмента гена 16S рРНК проводили с использованием бактериальных праймеров 27F (5`-AGAGTTTGATC(A/C)TGGCTCAG-3`) и 1492R (5`-ACGG(C/T)TACCTTGTTACGACTT-3`) на амплификаторе «My Cycler» («Bio-Rad Laboratories», США) как описано (Lane, 1991).

#### 2.7.3 Амплификация функциональных генов

Амплификацию функциональных генов осуществляли приборе MyCycler («Bio-Rad Laboratories», США). В качестве матрицы для амплификации использовали препараты тотальной ДНК, выделенной ИЗ исследуемых Для бактериальных штаммов. выявления изученных культурах функциональных (narAaAb),детерминирующих генов начальные этапы деструкции нафталина, были использованы праймеры: GN1F (5'-RAAGGGTTTGCAYGACG-3'), GN1R (5'-GTCGTTGTGGATGATGCTC-3') (5'-CTCGATATTGTTCTGGACCGCA-3'). GN2F Условия проведения ПЦР были аналогичны таковым, приведенным В работе (Anan'ina al., 2011). Для амплификации pht-генов использовали phtBF (5'-GGAGCAGGTTCGGGTATCGG-3') праймеры phtBR И (5'-ACTTCGACGCCACATACAG-3'), сконструированные к консервативным участкам гена, кодирующего фталат 3,4-дегидрогеназу, также phtAaF (5'-GTACGCACTGGCATGATTC-3') phtAaR (5'-GCCGTTGATTGTTCTCGTTGTAGC-3) К α-субъединице фталат 3,4-диоксигеназы (Stingley *et al.*, 2004). Для амплификации *benA*-генов benAF (5'-GCCCACGAGAGCCAGATTCCC-3') использовались праймеры и benAR (5'-GGTGGCGCGTAGTTCCAGTG-3'), сконструированные G. Baggi (2008), комплементарные консервативным участкам соавторами гена, α-субъединицу бензоат 1.2-диоксигеназы кодирующего И гена, кодирующего хлорпирокатехин-1,2-диоксигеназу. Для определения рсаН-генов праймеры к В-субъединице протокатехат 3,4-диоксигеназы использовали

Pro3.4F (5'-GCSCCSCTSGAGCCSAACTTC-3') и Pro3.4R (5'-GCCGCGSAGSACGATRTCGAA-3') (García *et al.*, 2005).

#### 2.7.4 Электрофорез амплифицированных фрагментов ДНК

обнаружения ПЦР-продуктов Для проводили электрофорез в горизонтальном агарозном геле (0.8%, 1.5%) в буфере TBE x 1 (Трис – 10.8 г/л, при комнатной температуре, напряжении 5-15 В/см в течение 20 минут – 2,5 часов. Агарозные гели окрашивали раствором бромистого этидия (0,5 мкг/мл) в течение 5-10 минут и фотографировали в УФ-свете с помощью системы гель-документирования BioDocAnalyze («Bio-Rad Laboratories», США). Для фрагментов определения размеров использовали следующие маркеры молекулярных масс: O'GeneRuler<sup>TM</sup> 100 bp Plus DNA Ladder («Fermentas», Литва), O'GeneRuler<sup>TM</sup> 1 kb DNA Ladder («Fermentas», Литва).

# 2.7.5 Определение нуклеотидных последовательностей функциональных генов и гена 16S рРНК и филогенетический анализ

Определение нуклеотидных последовательностей функциональных генов и гена 16S рРНК осуществляли с применением набора реактивов Big Dye Terminator Cycle Sequencing Kit на автоматическом секвенаторе Genetic Analyser 3500XL («Applied Biosystems», США) в Лаборатории молекулярной биологии и генетики Естественнонаучного института при Пермском государственном национальном исследовательском университете.

Филогенетический анализ полученных нуклеотидных последовательностей 16S рДНК и функциональных генов проводили с использованием программ W **CLUSTAL** (http://www.ebi.ac.uk/clustalw), Scanner v1.0.Sequence Поиск гомологичных последовательностей осуществляли при использовании баз данных GenBank (http://www.ncbi.nlm.nih.gov) и EzTaxon (http://www.eztaxon.org). Эволюционное расстояние, выраженное как число замен на 100 нуклеотидов, рассчитывали согласно (Jukes, Cantor, 1969). Построение филогенетического **TREECON** дерева осуществляли c помощью пакета программ (Van de Peer, DeWachter, 1994) с использованием метода «neighbor-joining» (в случае генов 16S pPHK). Оценку статистической достоверности ветвления («bootstrap-анализ») проводили с использованием соответствующей функции программы TREECON на основе 1000 альтернативных деревьев.

Нуклеотидные последовательности генов 16S рРНК 12 штаммов бактерий, выделенных из ризосферы растений, произрастающих на засоленных почвах района соледобычи, депонированы в базе данных GenBank под номерами KF010924 - 28, KC992726 - 31, KC538827 (приложение 1).

#### 2.7.6 ДНК-типирование

Для типирования исследуемых штаммов бактерий проводили REP-ПЦР (полимеразную цепную реакцию повторяющихся экстрагенетических палиндромных последовательностей ДНК) с использованием праймеров REP 1R (5' – IIIICGICGICATCIGCC – 3') и REP 2I (5' – ICGICTTATCIGGCCTAC – 3') и ВОХ-ПЦР (полимеразную цепную реакцию повторяющихся ВОХ-элементов) с использованием праймера BOXA1R (5' – CTACGGCAAGGCGACGCTGACG-3') в соответствии с методикой (Versalovic et al., 1994). Продукты реакции разделяли электрофорезом в 1,5% агарозном геле на 1х буфере ТВЕ (89 мМ Трис-НСІ, кислота, 2,5 мМ ЭДТА, рН 8,2) в течение 2 89 мМ борная при напряжённости электрического поля 5,7 V/см. и анализировали полученные фрагменты.

#### 2.7.7 Рестрикционный анализ амплифицированных 16S рДНК

В пробирки объемом 0,5 мл помещали по 5 мкл ПЦР продукта. Добавляли 1 акт. единицу одного из рестрикционных ферментов: *Mbo*I и *Hha*I («Fermentas», Литва), используя для каждой эндонуклеазы рекомендованный буфер («Fermentas», Литва) и соответствующий температурный режим. Полученные препараты ПЦР-рестрикции разделяли электрофорезом в 1,5% агарозном геле, приготовленном на 1х ТВЕ буфере.

#### 2.7.8 Плазмидная ДНК

Наличие плазмидной ДНК выявляли методом пульс-электрофореза с использованием прибора CHEF DR II («Bio-Rad Laboratories», США). Бактерии выращивали в 10 мл БСР без внесения NaCl, или в 10 мл МСР, содержащей

10 мг/мл NaCl и один из углеводородов (*орто*-ФК, БК, бифенил (1 г/л), до  $O\Pi_{600}=1,0$ . Клетки осаждали центрифугированием (9660 об/мин, 3 мин) и отмывали дважды в ТЕ-буфере (10мМ трис/HCl, рН 7,6; 1 мМ ЭДТА, рН 8,0). рекомендациям Агарозные блоки готовили согласно производителя («Bio-Rad Laboratories», США). Блоки обрабатывали лизоцимом (1 мг/мл) при  $37^{\circ}$ С в течение 5-16 ч, протеиназой К (1 мг/мл) – при  $50^{\circ}$ С в течение 12-18 ч, нуклеазой S1 (5 ед. на агарозный блок) – при 37°C, 3,5 ч. Электрофорез образцов осуществляли в 1%-ном агарозном геле (Pulsed Field Certified Agarose, «Bio-Rad Laboratories», США) в 0,5 ТВЕ-буфере при 14°С, 6 В/см, время пульсации от 60 с до 120 с в течение 24 ч. Гель окрашивали бромистым этидием (0,5 мг/л, 10 мин) и фотографировали в ультрафиолете с использованием системы гель-документации («Bio-Rad Laboratories», США). Размер внехромосомальной ДНК оценивали в сравнении с электрофоретической подвижностью маркера молекулярных масс «DNA Size Markers – Yeast Chromosomal» («Bio-Rad Laboratories», CIIIA).

Денатурирующий 2.7.9 градиентный гель электрофорез (ДГГЭ) согласно стандартной методике (Muyzer al., 1993). выполняли При амплификация фрагмента гена 16S рРНК, составляющего ЭТОМ приблизительно 500 п.н., была проведена c применением (5`-AGAGTTTGATC(A/C)TGGCTCAG-3`) праймера 27F праймера 518R (5`-ATTACCGCGGCTGCTGG-3`). Праймер 27F включал на 5`-конце 40 п.н. GC-xboct (5'-CGCCCGCGCCCCGCGCCCGCCCGCCCGCCCGCCCG-3'). Амплификацию 1 мкл очищенной геномной ДНК проводили в 50 мкл смеси, содержащей 0,25 мМ дНТФ, 0,3 мкМ праймера (каждого), 1,5 мМ MgCl<sub>2</sub>, 1х буфер для *Тад*-полимеразы («Синтол», Россия), 2 ед. акт. *Тад*-полимеразы («Синтол», Россия). Процедура ПЦР включала начальный денатурирующий шаг при 95°C в течение 5 минут и 30 циклов: 94°C в течение 30 секунд, 55°C в течение 1 минуты и 72°C в течение 3 минут; затем 72°C в течение 10 минут.

Электрофорез был выполнен в 6% полиакриламидном геле, содержащем линейный денатурирующий химический градиент от 40 до 50%, где 100%

составляет 7М мочевина и 40% - формамид, согласно протоколу (Muyzer *et al.*, 1993). Разгонку проводили в течение 10,3 часа при 130 V и 60°C на Dcode<sup>TM</sup> Universal Mutation System («Bio-Rad Laboratories», США). ДНК была визуализирована после окрашивания бромистым этидием (0,5 мкг/мл) UV-трансиллюминацией, и документирована системой Gel Doc XR («Bio-Rad Laboratories», США).

#### 2.8 Статистическая обработка результатов

Повторность опытов трёхкратная. При статистической обработке определяли среднюю арифметическую, стандартное отклонение, доверительный интервал. Для обработки результатов использовали статистический модуль Excel 5.0.

# Глава 3. МИКРООРГАНИЗМЫ ИЗ ЗАЛЕЖЕЙ СОЛЕЙ (ВЕРХНЕКАМСКОЕ МЕСТОРОЖДЕНИЕ)

# 3.1 Бактерии, выделенные из образцов сильвинита и каменной соли (рудник СКПРУ-1, ОАО «Уралкалий», г. Соликамск)

Проведены исследования по выделению микроорганизмов из породы калийно-магниевых натриевых солей Верхнекамского И месторождения. Из образцов сильвинита И калийной соли методом накопительного культивирования на средах ATCC 213 «Halobacterium medium» и БСР было изолировано 8 штаммов бактерий (таблица 5). Концентрация ионов Na<sup>+</sup> в исследуемых образцах составляла 1115 мг-экв/100 г породы (каменная соль, образец № 2) и 1277 мг-экв/100 г породы (сильвинит, образец № 5). Изоляты, обозначенные TC, при росте на агаризованной ATCC 213 «Halobacterium medium» (200 г/л NaCl) характеризовались сходными морфологическими признаками: форма колоний округлая, размер колоний 0,5-1 мм, колонии гладкие, блестящие, прозрачные, светло-бежевого цвета с ровным краем и однородной структурой. Клетки бактерий представлены грамотрицательными, каталазоположительными, оксидазоотрицательными палочками. Другой штамм С2, выделенный из образца каменной соли на БСР (50 г/л NaCl), представлен грамположительными палочковидными клетками, образующими округлые эндоспоры. Численность изолированных бактерий в одном образце составляла менее  $10^2$  кл/мл.

Таблица 5 Штаммы бактерий, выделенные из образцов сильвинита и каменной соли (рудник СКПРУ-1, ООО «Уралкалий»)

| Источник выделения          | Среда выделения / концентрация | Обозначение |
|-----------------------------|--------------------------------|-------------|
| (образцы породы)            | NaCl                           | штамма      |
| Каменная соль (образец № 1) | БСР, 50 г/л                    | C2          |
| Каменная соль (образец № 2) |                                | TC121       |
| Каменная соль (образец № 2) |                                | TC122       |
| Сильвинит (образец № 3)     | ATCC 213 «Halobacterium        | TC11        |
| Сильвинит (образец № 3)     | меdium», 200 г/л               | TC132       |
| Сильвинит (образец № 4)     | medium, 200 1/Ji               | TC101       |
| Сильвинит (образец № 5)     |                                | TC111       |
| Сильвинит (образец № 5)     |                                | TC112       |

Сравнение фингерпринтов, полученных методом ПЦР повторяющихся ВОХ-элементов, штаммов сходных морфогрупп, изолированных как из образцов сильвинита (штаммы ТС101, ТС111, ТС112, ТС132), так и из образцов каменной соли (штамм ТС121), показало гомологичность их профилей (формируют одну геномогруппу) (рисунок 10а). Ко второй геномогруппе принадлежали идентичные по фингерпринтам штаммы ТС11 (образец сильвинита) и ТС122 (образец каменной соли) (рисунок 10б). Все исследуемые изоляты имели характерные отличия по фрагментам ВОХ-профилей от типовых штаммов рода *Chromohalobacter (C. canadensis* и *C. japonicus*).

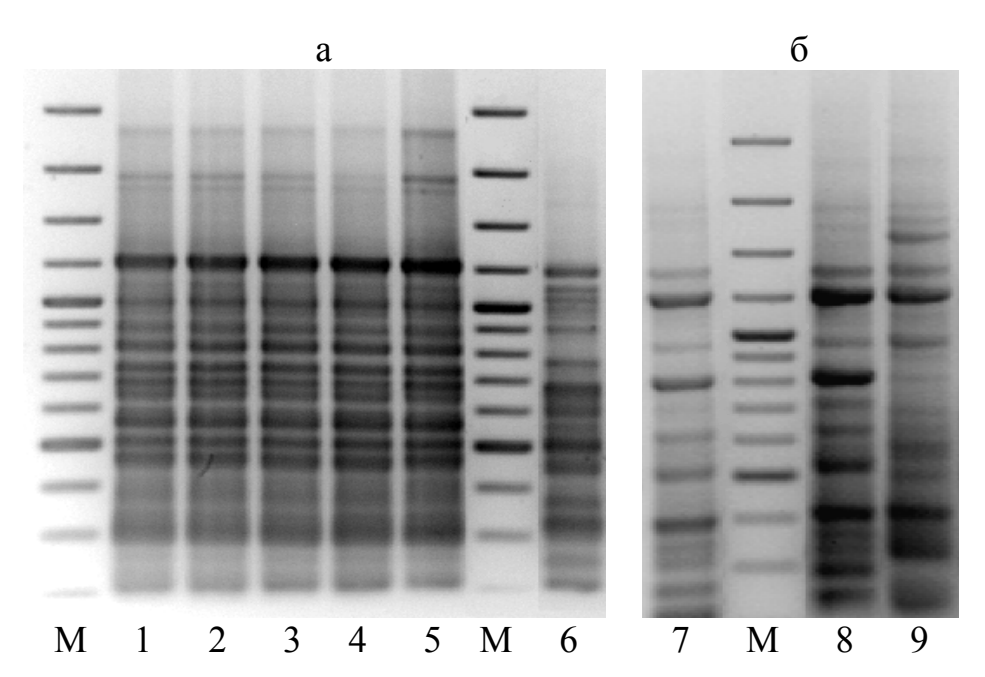


Рисунок 10. **BOX-профили бактерий, имеющих наибольшее сходство по гену 16S pPHK с типовым штаммом** *Chromohalobacter japonicus* **43**<sup>T</sup> **(a, 6):** М — маркер O'GeneRuler<sup>TM</sup> 100 bp Plus DNA Ladder («Fermentas», Литва), I-TC101, I-TC111, I-TC111,

Филогенетический анализ полученных нуклеотидных последовательностей гена 16S рРНК исследуемых представителей морфо/геномогрупп показал, что они являются представителями филумов «Proteobacteria» и «Firmicutes». Уровень сходства 16S рДНК изолятов с типовыми штаммами видов находился в пределах 99,5-100%. Выявленные грамотрицательные бактерии семейства Halomonadaceae (класс Gammaproteobacteria), имели высокий уровень сходства с видами Chromohalobacter canadensis и Chromohalobacter japonicus (таблица 6).

Изолят С2, филогенетически близкий к спорообразующим бактериям класса Bacilli порядка Bacillales, показал 100% сходство с типовым штаммом Bacillus licheniformis DSM13 $^{\rm T}$  (таблица 6).

Таблица 6 Результаты филогенетического анализа (ген 16S рРНК) бактерий, выделенных из залежей солей

|       | Типовой штамм ближайшего родственного                                 | Сходство    | Кол-во  |
|-------|-----------------------------------------------------------------------|-------------|---------|
| Штамм | вида и номер в базе данных GenBank                                    | генов       | нуклео- |
|       | вида и помер в оазе данных сенванк                                    | 16S pPHK, % | тидов   |
| C2    | Bacillus licheniformis DSM13 <sup>T</sup> (CP000002)                  | 100         | 800     |
| TC11  | <i>Chromohalobacter canadensis</i> ATCC 43984 <sup>T</sup> (AJ295143) | 99,9        | 1372    |
| TC101 | Chromohalobacter japonicus 43 <sup>T</sup> (AB105159)                 | 99,7        | 1407    |
| TC122 | <i>Chromohalobacter canadensis</i> ATCC 43984 <sup>T</sup> (AJ295143) | 99,9        | 876     |

Полученная картина ВОХ-фингерпринтов и филогенетический анализ гена 16S рРНК позволяют предположить, что *Chromohalobacter* sp. TC111 и TC112, выделенные из одного образца сильвинита (образец № 5), вероятно, являются одним штаммом.

В результате исследования физиологических свойств выделенных бактерий было показано, что штамм С2, близкородственный *Bacillus licheniformis*, является галотолерантным микроорганизмом, способным к росту на среде БСР (агаризованной и жидкой) в отсутствие хлорида натрия в среде и в присутствии NaCl до 130 г/л. Штамм С2 растет при значении рН 6,0-8,0.

Галофильная группа изолятов, филогенетически близкая к бактериям рода *Chromohalobacter*, способна к росту в диапазоне концентраций соли от 20 г/л до 250 г/л и значением рН 7,0 в среде культивирования, что подтверждает физиологические параметры роста умеренно галофильных бактерий рода *Chromohalobacter* (Ventosa *et al.*, 1989).

### 3.2 Микроорганизмы в образце каменной соли, выявленные методом денатурирующего градиентного гель-электрофореза (ДГГЭ)

Получены предварительные результаты по изучению «некультивируемых» микроорганизмов, присутствующих в образце каменной соли, из которого был выделен в чистую культуру штамм С2, близкородственный *Bacillus licheniformis* (глава 3.1). ПЦР-продукты гена 16S рРНК с суммарной (метагеномной) ДНК накопительной культуры, полученной при культивировании данного образца каменной соли (образец 1, таблица 1) на БСР с содержанием хлорида натрия 200 г/л, были проанализированы методом денатурирующего градиентного гель-электрофореза (ДГГЭ) (рисунок 11).

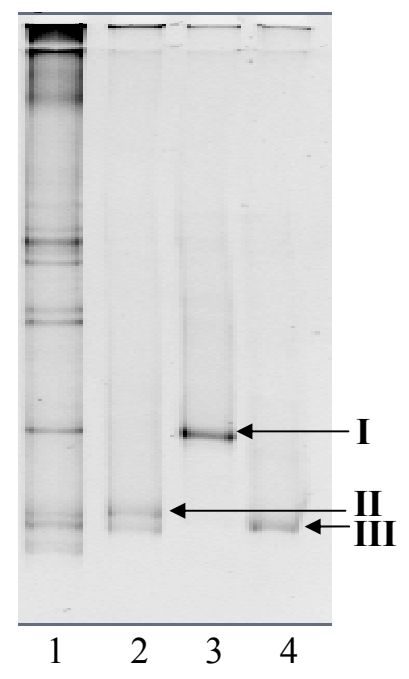


Рисунок 11. Электрофореграмма продуктов амплификации фрагмента гена 16S рРНК, полученная методом ДГГЭ: *I* — суммарная бактериальная ДНК из накопительной культуры, полученной при культивировании образца каменной соли на БРС, *2*, *3*, *4* — реамплифицированные элюаты (обозначены I, II, III).

У нескольких фрагментов 16S рДНК, отличающихся электрофоретической подвижностью элюированных ИЗ геля, определены нуклеотидные последовательности. Обнаружены бактерии (рисунок 11, I), филогенетически близкие Uncultured bacterium clone nbt36h09 (97% сходства с нуклеотидной последовательностью № FJ893879, GenBank). Так же были выявлены бактерии «Proteobacteria»: филума близкородственные разных классов бактериям

(рисунок 11, II) *Stenotrophomonas* класса Gammaproteobacteria рода (уровень сходства по гену 16S рРНК составляет 99% с Stenotrophomonas  $PCM-1^{T}$ ) maltophilia И бактериями рода Ralstonia III) (рисунок класса Betaproteobacteria (уровень сходства по гену 16S рРНК - 95% с Ralstonia pickettii HPC578 $^{\mathrm{T}}$ ). Типовые штаммы, к которым элюированные из геля ДНК проявили наибольшее сходство, ранее высокоминерализованных ИЗ местообитаний выделены не были (Palleroni et al., 1993; Yabuuchi et al., 1996).

Таким образом, из образцов сильвинита и калийной соли из подземных залежей Верхнекамского месторождения солей (г. Соликамск), изолировано в чистую культуру 8 бактерий. Семь из них были идентифицированы как галофильные бактерии рода Chromohalobacter, близкородственные видам C. canadensis и C. japonicus. Типовые штаммы видов C. canadensis и C. japonicus, были выделены из образцов загрязненной почвы с содержанием 4,25 M NaCl и японской соленой пищи, соответственно (Arahal et al., 2001a; Sanchez-Porro et al., 2007). Обнаружение подобной филогенетической группы (род *Chromohalobacter*) весьма ожидаемо в исследованиях антропогеннозагрязненных территорий соледобычи, т.к. ранее бактерии рода Chromohalobacter были выделены высокоминерализованных объектов окружающей среды. К ИЗ примеру, еще в 1989 г. А. Ventosa с коллегами выделили из морских солеварен Испании новый вид бактерий, получивший название Chromohalobacter marismortui (Ventosa et al., 1989). Позднее (в 2001 г.) D.R. Arahal с группой исследователей описали еще один вид данного рода - Chromohalobacter salexigens, также изолированного из морских солеварен (Arahal et al., 2001b). Некоторые виды данного рода были выделены из природных гиперсоленых озер (C. nigrandesensis) (Prado et al., 2006) и из прилегающих к ним территорий (C. sarecensis) (Quillaguaman et al., 2004).

# Глава 4. БАКТЕРИИ, ВЫДЕЛЕННЫЕ ИЗ ГАЛИТОВЫХ ОТХОДОВ, ГРУНТА, ПОЧВЫ И РАССОЛОСБОРНИКОВ РАЙОНА СОЛЕРАЗРАБОТОК

# 4.1 Бактерии, выделенные из галитовых отходов района солеразработок (ОАО «Уралкалий», г. Соликамск)

При изучении образцов галитовых отходов с применением метода накопительного культивирования на средах БСР и АТСС 213 «*Halobacterium* medium» было выделено 7 штаммов микроорганизмов (таблица 7), среди которых встречались ярко пигментированные культуры. Так, бактериальный штамм С31 при росте на БСР (50 г/л NaCl) был представлен мукоидными красными колониями с белым ровным краем, размером 3-4 мм. Морфологическая характеристика колоний бактериальных изолятов «ТС» группы (ТС71, ТС72, ТС732, ТС52, ТС512 и ТС91) весьма схожа с таковой ранее выделенных бактерий из образцов каменной соли и сильвинита (*см* глава 3.1). Численность изолированных бактерий в одном образце составляла менее 10<sup>2</sup> кл/мл.

Таблица 7 Штаммы микроорганизмов, выделенные из галитовых отходов района солеразработок

| Источник выделения (образцы породы) | Концентрация<br>ионов Na <sup>+</sup> ,<br>мг-экв/100 г | Среда выделения /<br>концентрация NaCl | Обозначение<br>штамма |
|-------------------------------------|---------------------------------------------------------|----------------------------------------|-----------------------|
|                                     |                                                         | БСР, 200 г/л                           | C31                   |
| Галитовые отходы,                   | 1437                                                    | ATCC 213                               | TC71                  |
| солеотвал СКПРУ-2                   | 1437                                                    | «Halobacterium                         | TC72                  |
|                                     |                                                         | medium», 200 г/л                       | TC732                 |
| Галитовые отходы,                   |                                                         | ATCC 213                               | TC52                  |
| солеотвал СКПРУ-2                   | 471                                                     | «Halobacterium                         |                       |
| (граница почвы и соли)              |                                                         | medium», 200 г/л                       | TC512                 |
| Ганутаруу атуучу                    |                                                         | ATCC 213                               |                       |
| Галитовые отходы,                   | 1813                                                    | «Halobacterium                         | TC91                  |
| солеотвал СКПРУ-1                   |                                                         | medium», 200 г/л                       |                       |

Анализ фингерпринтов изолятов TC52 и TC512 показал гомологичность BOX-профилей этих штаммов не только между собой, но и с ранее выделенным из залежей калийно-магниевых солей штаммом *Chromohalobacter* sp. TC101

(рисунок 12а). Штаммы ТС71, ТС72, ТС732, ТС91, изолированные из образцов галитовых отходов, имеют гетерогенные ВОХ-фингерпринты (рисунок 12б).

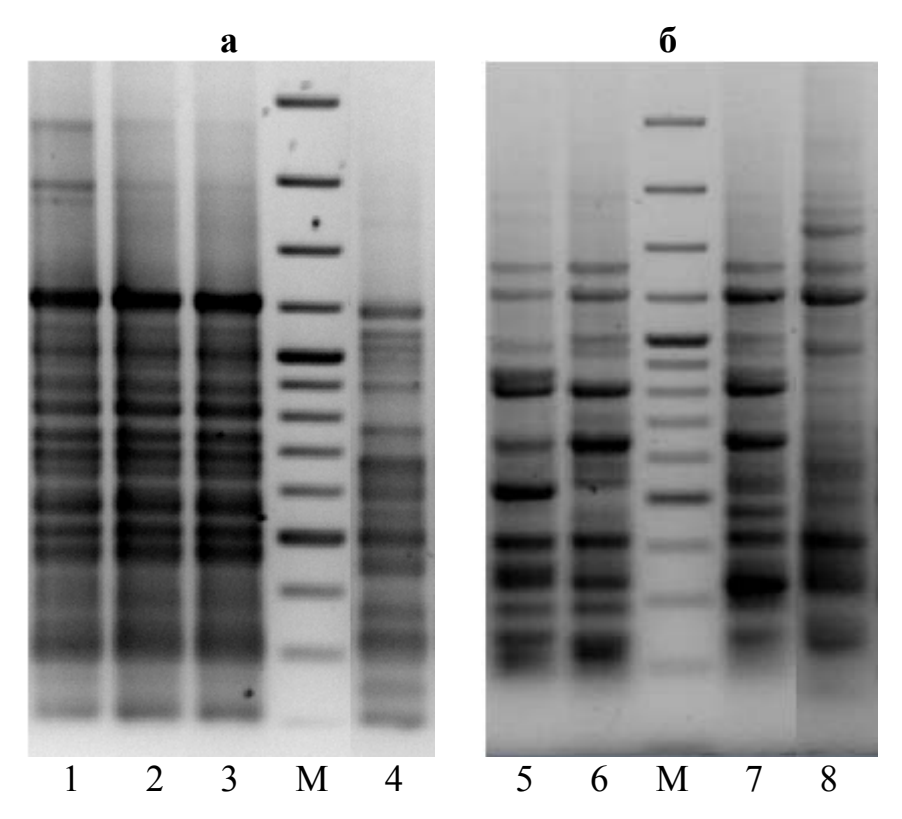


Рисунок 12. **BOX-профили бактерий, имеющих наибольшее сходство по гену 16S pPHK с типовым штаммом** *Chromohalobacter japonicus* **43**<sup>T</sup> **(a, 4):** M — маркер O'GeneRuler<sup>TM</sup> 100 bp Plus DNA Ladder («Fermentas», Литва), I - TC101, I

Все выделенные штаммы были идентифицированы с использованием молекулярно-генетических методов. Бактерии группы «ТС» на основании проведенного анализа гена 16S рРНК были отнесены к семейству *Halomonadaceae* (классу *Gammaproteobacteria* филума «*Proteobacteria*») и оказались наиболее близкородственны видам *Chromohalobacter canadensis* и *Chromohalobacter japonicus*. Штамм С31 показал филогенетическое сходство (99,7%) со штаммом типового вида *Streptomyces ambofaciens* HBUM 174708<sup>T</sup> (порядок *Actinomycetales*, класс *Actinobacteria*, филум «*Actinobacteria*») (таблица 8).

Таблица 8 Результаты филогенетического анализа (ген 16S рРНК) бактерий, выделенных из галитовых отходов

| Штамм | Типовой штамм ближайшего родственного вида и номер в базе данных GenBank | Сходство генов 16S рРНК, % | Кол-во<br>нуклео-<br>тидов |
|-------|--------------------------------------------------------------------------|----------------------------|----------------------------|
| C31   | Streptomyces ambofaciens HBUM 174708 <sup>T</sup> (AB184182)             | 99,7                       | 1400                       |
| TC71  | <i>Chromohalobacter canadensis</i> ATCC 43984 <sup>T</sup> (AJ295143)    | 99,9                       | 1335                       |
| TC72  | <i>Chromohalobacter canadensis</i> ATCC 43984 <sup>T</sup> (AJ295143)    | 99,9                       | 1391                       |
| TC732 | <i>Chromohalobacter canadensis</i> ATCC 43984 <sup>T</sup> (AJ295143)    | 99,9                       | 1392                       |
| TC52  | Chromohalobacter japonicus 43 <sup>T</sup> (AB105159)                    | 99,7                       | 1395                       |
| TC91  | <i>Chromohalobacter canadensis</i> ATCC 43984 <sup>T</sup> (AJ295143)    | 99,9                       | 1402                       |

По физиологическим характеристикам три изолята рода *Chromohalobacter* (штаммы ТС71, ТС72 и ТС732) являются наиболее солеустойчивыми (диапазон роста при концентрации соли в среде культивирования составлял 20-300 г/л). Другие штаммы этого рода — ТС52, ТС512 и ТС91, растут при меньшем содержании соли в среде культивирования (20-250 г/л). Все они являются нейтрофильными микроорганизмами, т.е. растут только при значении рН 7,0 в среде. Галотолерантный изолят *Streptomyces* sp. С31 способен к росту при содержании соли 0-30 г/л и значении рН 6,0-8,0

Таким образом, доминирующей группой в изученных образцах галитовых отходов, концентрация ионов Na<sup>+</sup> в которых составляла 471-1813 мг-экв/100г (соответствует 108330-416-990 мг/кг), являются бактерии рода *Chromohalobacter* (сем. *Halomonadaceae*). Подобная картина наблюдалась и при изучении микробного сообщества залежей калийно-магниевых солей. Внимания заслуживает тот факт, что штаммы, выделенные из галитовых отходов, показали свою идентичность с бактериальными изолятами из породы сильвинита и каменной соли по филогенетическому анализу и сравнению фингерпринтов, полученных методом ВОХ-ПЦР (см. глава 3.1). Данное обстоятельство может

свидетельствовать о том, что галофильные бактерии семейства *Halomonadaceae* изначально присутствовали в породе каменной соли и сильвинита, сформированной более 280 миллионов лет назад при высыхании древнего Пермского моря и занесения его осадочными породами, и, далее, сохраняются в галитовых отходах, получающихся после технологических обработок в процессе добычи минеральных солей. Можно предположить, что бактерии семейства *Halomonadaceae* способны и к заселению непосредственно прилегающих к солеотвалам местообитаний (грунт, почва).

# 4.2 Бактерии из образцов грунта, отобранных вблизи солеотвалов Соликамского рудоуправления (ОАО «Уралкалий», г. Соликамск)

Из исследуемых образцов грунта, отобранных на расстоянии 1-2 метров от солеотвала (концентрация  $Na^+$  1326 мг-экв/100 г) методом НК на средах БСР ATCC 213 «Halobacterium medium» были изолированы 6 штаммов грамотрицательных и эндоспоровых бактерий (таблица 9). Штаммы К511 и К513 характеризовались схожей морфологией колоний, а именно – колонии бежевые, круглые, непрозрачные, диаметром 4-5 мм. Изоляты К51 и К52 имели яркую пигментацию колоний: непрозрачные блестящие колонии штамма К51 размером 5-7 мм имели оранжевую пигментацию, а колонии изолята К52 – желтую. Выделенные штаммы, обозначенные ТС31 и ТС32, имели сходную морфологию колоний с ранее выделенными культурами «ТС» (см. глава 3.1, 4.1). Клетки всех бактериальных были представлены подвижными изолятов палочками. Численность изолированных бактерий в образце составляла менее  $10^2$  кл/мл.

Таблица 9 **Штаммы бактерий, выделенные из образцов грунта района солеразработок** 

| Иотонные риналания                        | Среда выделения /       | Обозначение |
|-------------------------------------------|-------------------------|-------------|
| Источник выделения                        | концентрация NaCl       | штамма      |
|                                           |                         | K51         |
| Гахил                                     | FCD 50 p/g              | K511        |
| Грунт,<br>1-2 м от солеотвала,<br>СКПРУ-2 | БСР, 50 г/л             | K513        |
|                                           |                         | K52         |
|                                           | ATCC 213 «Halobacterium | TC31        |
|                                           | medium», 200г/л         | TC32        |

С применением методов REP-ПЦР, ВОХ-ПЦР и рестрикционного анализа была проведена сравнительная характеристика выделенных штаммов. Анализ полученных REP-профилей фрагментов геномной ДНК исследуемых бактерий показал, что штаммы К511 и К513 обладают идентичными REP-фингерпринтами (рисунок 13a). Результаты рестрикционного анализа амплифицированных MboI*Hha*I 16S рДНК c использованием рестриктаз И также показали принадлежность штаммов К511 и К513 к одной геномогруппе (рисунок 13в).

Изоляты ТС31 и ТС32, имеющие общие морфологические параметры с бактериями рода *Chromohalobacter*, отличались минорными фрагментами анализируемых профилей (рисунок 13б). В результате сравнения ВОХ-профилей исследуемых штаммов с ранее выделенными бактериями из залежей солей и галитовых отходов было обнаружено, что изолят ТС32 из образца грунта СКПРУ-2 имел идентичный профиль со штаммом *Chromohalobacter* sp. ТС91, изолированным из галитовых отходов солеотвала СКПРУ-1 (рисунок 13г).

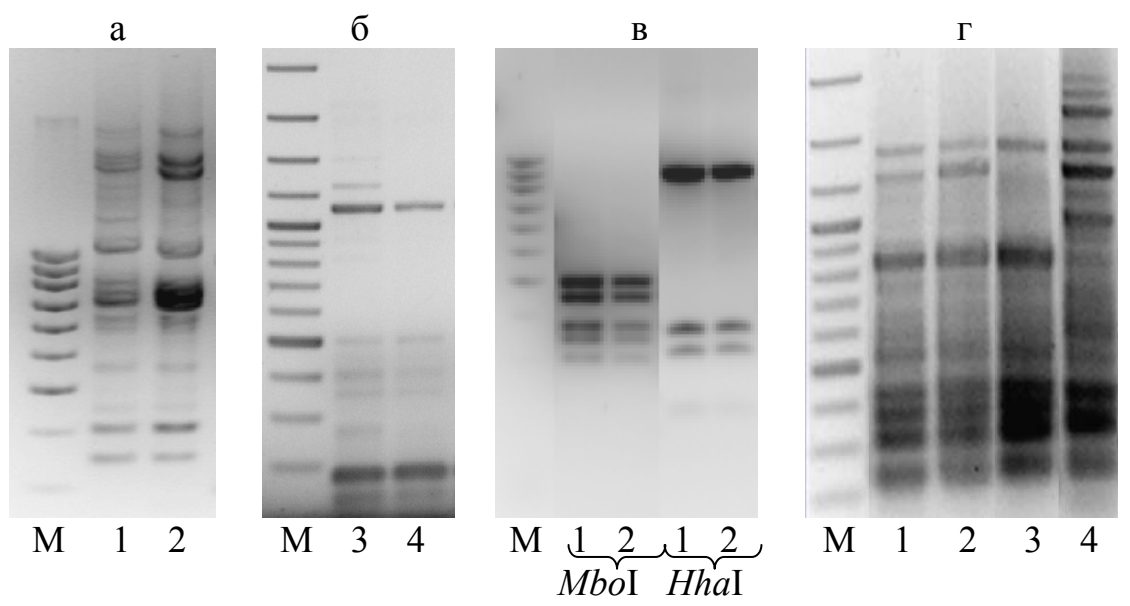


Рисунок 13. Электрофореграмма продуктов амплификации REP-ПЦР штаммов близкородственных бактериям (а) рода *Pseudomonas*: М — маркер 1 kb («Силекс», Россия), I — K511, 2 — K513, (б) рода *Chromohalobacter*: М — маркер O'GeneRuler<sup>TM</sup> 100 bp Plus DNA Ladder («Fermentas», Литва), 3 — TC32, 4 — TC31, (в) Электрофореграмма генов 16S рРНК, обработанных рестриктазами *MboI* и *HhaI*: М — маркер 1 kb («Силекс», Россия), I — K511, 2 — K513, (г) BOX-профили бактерий, имеющих наибольшее сходство с типовым штаммом *Chromohalobacter canadensis* ATCC 43984 (4): М — маркер O'GeneRuler<sup>TM</sup> 100 bp Plus DNA Ladder («Fermentas», Литва), I — TC91, 2 — TC32, 3 — TC31.

Определение филогенетического положения на основании анализа генов 16S pPHK показало, что штаммы K51 и K52 относятся к родам *Bacillus* и *Virgibacillus* (класс *Bacilli*), штамм K511 — к роду *Pseudomonas* (класс *Gammaproteobacteria*). Штаммы TC31 и TC32 были наиболее близки к *Chromohalobacter canadensis* (сем. *Halomonadaceae*) (таблица 10), ранее обнаруженными в образцах ископаемых залежей солей (сильвинит, каменная соль) и галитовых отходов (см. глава 3.1, 4.1).

Таблица 10 Результаты филогенетического анализа (ген 16S рРНК) бактерий, выделенных из образцов грунта

| Штамм | Типовой штамм ближайшего родственного вида и номер в базе данных GenBank | Сходство<br>генов<br>16S рРНК, % | Кол-во<br>нуклео-<br>тидов |
|-------|--------------------------------------------------------------------------|----------------------------------|----------------------------|
| K51   | Bacillus alcalophilus TCC11004 <sup>T</sup> (X76436)                     | 99,5                             | 1400                       |
| К511  | Pseudomonas putida ATCC 12633 <sup>T</sup> (D84020)                      | 99,0                             | 1400                       |
| K52   | Virgibacillus picturae DSM 14867 <sup>T</sup> (AJ315060)                 | 99,5                             | 1400                       |
| TC31  | <i>Chromohalobacter canadensis</i> ATCC 43984 <sup>T</sup> (AJ295143)    | 99,9                             | 1401                       |
| TC32  | <i>Chromohalobacter canadensis</i> ATCC 43984 <sup>T</sup> (AJ295143)    | 99,9                             | 1389                       |

Среди изолированных бактерий встречаются как галофильные, так и галотолерантные микроорганизмы. Штаммы, близкородственные бактериям рода *Chromohalobacter*, растут при концентрации соли 20-250 г/л и значении рН 7,0 в среде культивирования. Штаммы *Pseudomonas* sp. К511 и К513 являются галотолерантными бактериями и растут в диапазоне концентрации NaCl 0-50 г/л и рН 6,0-8,0. Изоляты *Bacillus* sp. К51 и *Virgibacillus* sp. К52 также являются галотолерантными и способны к росту от 0 до 100 г/л NaCl и рН 6,0-8,0 в среде культивирования.

Помимо бактерий рода *Chromohalobacter*, выявленных также в залежах калийно-магниевых солей и галитовых отходах в исследованных образцах грунта были обнаружены характерные для почвенной микробиоты грамотрицательные бактерии рода *Pseudomonas* (штаммы К511 и К513), наиболее близкие к типовому штамму *Pseudomonas putida* (таблица 10).

### 4.3 Бактерии, выделенные из образцов воды, соляных отложений со дна рассолосборника (СКПРУ-2, ОАО «Уралкалий», г. Соликамск)

В результате проведенного образцов исследования ИЗ разных рассолосборника (вода, лонные солевые отложения) методом накопительного культивирования на агаризованных БСР (150 г/л NaCl) ATCC 213 «Halobacterium medium» (200 г/л NaCl) было изолировано 10 галофильных штаммов микроорганизмов (таблица 11). Изоляты ТС21, ТС22, ТС23, В151, В201, В202 имеют округлую форму колоний светло-бежевого цвета с ровным краем, размером 0,5-1 мм, гладкую, блестящую поверхность. Штаммы В152, В153 характеризуются округлой формой колоний, бежевого цвета, размером 3-5мм. Клетки вышеперечисленных штаммов представлены грамотрицательными, каталазоположительными, оксидазоотрицательными подвижными палочками. Изоляты ТС42 и ТС62 имели сходные морфологические параметры со штаммами, обозначенными как «TC», но более темной окраски колоний, и их клетки имели форму кокков. Численность изолированных бактерий в каждом образце составляла менее  $10^2$  кл/мл.

Таблица 11 Штаммы бактерий, выделенные из рассолосборника (ОАО «Уралкалий», г. Соликамск)

| Источник<br>выделения                   | Концентрация ионов Na <sup>+</sup> , мг-экв/100 г | Среда выделения /<br>концентрация NaCl                                                                               | Обозначение штамма                           |
|-----------------------------------------|---------------------------------------------------|----------------------------------------------------------------------------------------------------------------------|----------------------------------------------|
| Поверхностный слой воды рассолосборника | 181                                               | БСР, 150 г/л ATCC 213 «Halobacterium                                                                                 | B151<br>B152<br>B153<br>B201<br>B202<br>TC42 |
| Дно (солевые отложения) рассолосборника | 995                                               | medium», 200 г/л  ATCC 213 « <i>Halobacterium</i> medium», 200 г/л  ATCC 213 « <i>Halobacterium</i> medium», 200 г/л | TC21<br>TC22<br>TC23<br>TC62                 |

Для сравнительной характеристики изолятов были использованы методы ДНК-типирования (REP-ПЦР, BOX-ПЦР) и рестрикционного анализа (ARDRA). Сравнение REP-ПЦР профилей фрагментов геномной ДНК штаммов, морфологические обшие параметры бактериями имеющих рода Chromohalobacter, показало, что штаммы B201 и B202 обладают идентичными REP-фингерпринтами, а изолят B151 отличается от них (рисунок 14a).

Результаты рестрикционного анализа амплифицированных 16S рДНК с использованием рестриктаз *Mbo*I и *Hha*I показали, что изоляты B151, B152, B153 и B201 имеют уникальные профили. Кроме того, на данной электрофореграмме видно, что схожие по морфологическим признакам колоний изоляты B152 и B153 отличаются по минорным фрагментам (рисунок 14б).

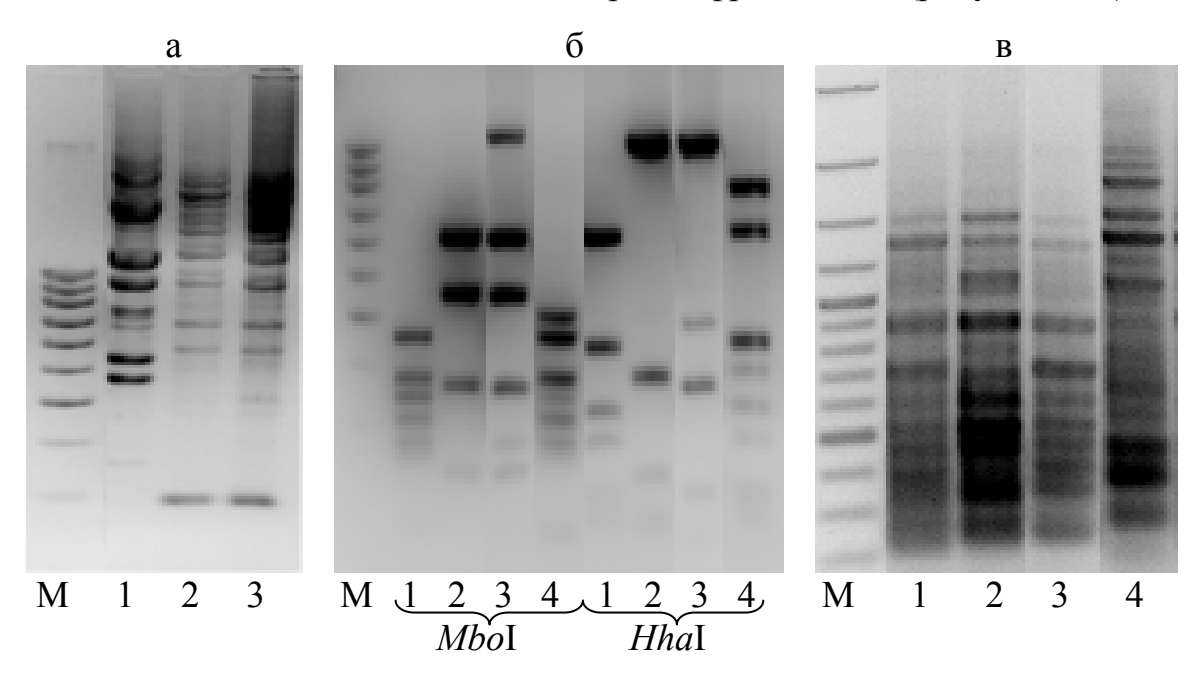


Рисунок 14. Электрофореграмма продуктов амплификации (а) REP-ПЦР филогенетически близкородственных штаммов бактериям Chromohalobacter: M – маркер 1 kb («Силекс», Россия), I – B151, 2 – B201, 3 – B202, (б) генов 16S рРНК, обработанных рестриктазами Mbol и Hhal: M – маркер 1 kb («Силекс», Россия), 1 – B151, 2 – B152, 3 – B153, 4 – B201, (B) ВОХ-ПЦР штаммов бактерий, имеющих наибольшее сходство **16S pPHK** c типовым видом Chromohalobacter canadensis: M – маркер O'GeneRuler<sup>TM</sup> 100 bp Plus DNA Ladder («Fermentas», Литва), *I* – TC21, 2 – TC22, 3 – TC23, 4 – типовой штамм Chromohalobacter canadensis ATCC 43984<sup>T</sup>.

Подробный анализ фрагментов геномной ДНК, полученных методом ВОХ-ПЦР, показал, что морфологически схожие изоляты из одного образца

солевых отложений рассолосборника TC21 и TC23 принадлежат одной геномогруппе и отличаются от изолята TC22 (рисунок 14в).

Согласно филогенетическому анализу 16S рДНК все выделенные штаммы являются представителями класса Gammaproteobacteria филума «Proteobacteria» (таблица 12). Кроме бактерий рода Chromohalobacter, обнаруженных в высокоминерализованных образцах района разработок ВКМКС, были выделены B153. штаммы B152, близкородственные бактериям рода Idiomarina. Ранее бактерии данного рода были выделены только из природных морских экосистем (http://www.bacterio.net/idiomarina.html). Штаммы TC42 и TC62 имели низкий процент сходства по гену 16S рРНК (93,8 % и 93,4 %, соответственно) с типовым штаммом Salinisphaera hydrothermalis, поэтому можно предположить, что данные культуры представляют собой новые таксономические единицы, требующие более подробного изучения (таблица 12).

Таблица 12 Результаты филогенетического анализа (ген 16S рРНК) бактерий, выделенных из образцов рассолосборника

| Штамм | Типовой штамм ближайшего родственного вида и номер в базе данных GenBank | Сходство генов 16S рРНК, % | Кол-во<br>нуклео-<br>тидов |
|-------|--------------------------------------------------------------------------|----------------------------|----------------------------|
|       | Вода рассолосборника                                                     |                            |                            |
| B151  | Chromohalobacter canadensis ATCC 43984 <sup>T</sup> (AJ295143)           | 99,4                       | 1400                       |
| B153  | <i>Idiomarina loihiensis</i> L2TR <sup>T</sup> (AF288370)                | 99,0                       | 1370                       |
| B201  | <i>Chromohalobacter canadensis</i> ATCC 43984 <sup>T</sup> (AJ295143)    | 99,4                       | 1400                       |
| TC42  | Salinisphaera hydrothermalis EPR70 <sup>T</sup> (EU740416)               | 93,8                       | 1356                       |
|       | Дно (солевые отложения) рассолосборн                                     | ика                        |                            |
| TC21  | Chromohalobacter canadensis ATCC 43984 <sup>T</sup> (AJ295143)           | 99,9                       | 1390                       |
| TC22  | Chromohalobacter canadensis ATCC 43984 <sup>T</sup> (AJ295143)           | 99,9                       | 1374                       |
| TC23  | <i>Chromohalobacter canadensis</i> ATCC 43984 <sup>T</sup> (AJ295143)    | 99,9                       | 1398                       |
| TC62  | Salinisphaera hydrothermalis EPR70 <sup>T</sup> (EU740416)               | 93,4                       | 1331                       |

Примечание. Цветом выделены штаммы, претендующие на описание в качестве новых таксонов.

Все выделенные изоляты являются галофильными бактериями. Штаммы *Idiomarina* sp. В152 и В153 растут при концентрации соли 20-100 г/л. Штаммы *Chromohalobacter* sp. В152, В201, В202, изолированные из образцов воды рассолосборника с концентрацией Na<sup>+</sup> 181 мг-экв/100 г (соответствует 41630 мг/кг), способны к росту при содержании соли 20-150 г/л, в то же время *Chromohalobacter* sp. ТС21, ТС22, ТС23, изолированные из донных отложений рассолосборника с наибольшей концентрацией Na<sup>+</sup> (таблица 11), растут при более высокой минерализации среды культивирования (от 20 до 300 г/л NaCl). Рост всех штаммов наблюдался при значении рН 7,0-7,5.

Так же как и в других исследуемых образцах района солеразработок, образцах рассолосборника были обнаружены бактерии семейства Halomonadaceae. Все они имели наибольший уровень сходства по гену 16S рРНК 99,4% до 99,9%) с типовым штаммом Chromohalobacter canadensis. В же время штаммы отличались на генотипическом уровне (ВОХ-фингерпринты) от изолятов рода Chromohalobacter из других экотопов, что говорит об их индивидуальности.

# 4.4 Бактерии, выделенные из ризосферы растений, произрастающих вблизи солеотвалов (ОАО «Уралкалий», г. Соликамск)

разнообразия Для изучения бактериального ризосферы растений, произрастающих на территории района солеразработок, вблизи солеотвалов ОАО «Уралкалий» г. Соликамск, были отобраны образцы ризосферы 7 растений: ястребинки зонтичной (Hieracium umbellatum L.), вероники дубравной (Veronica chamaedrys), торичника солончакового (Spergularia salina J. & C.), мятлика лугового (Poa pratensis L.), мари красной (Chenopodium rubrum L.), мать-и-мачехи обыкновенной (Tussilago farfara), нивяника обыкновенного (Leucanthemum vulgare). Методами НК (БСР, 150 г/л NaCl) и прямого высева на агаризованную БСР с содержанием NaCl 50 г/л из образцов ризосферы было выделено 63 штамма бактерий (таблица 13). Отбор штаммов осуществлялся на основе различий в морфологии колоний бактерий, растущих на агаризованной среде.

Таблица 13 **Штаммы бактерий, выделенные из ризосферы растений,** произрастающих на территории солеразработок

| произрастающих на территории солеразраооток |                                                          |                                                                           |                                                       |  |  |  |  |  |  |
|---------------------------------------------|----------------------------------------------------------|---------------------------------------------------------------------------|-------------------------------------------------------|--|--|--|--|--|--|
| Источник<br>выделения                       | Концентраци<br>я ионов Na <sup>+</sup> ,<br>мг-экв/100 г | Штаммы, выделенные на БСР, 50 г/л NaCl (прямой высев)                     | Штаммы,<br>выделенные на<br>БСР, 150 г/л<br>NaCl (НК) |  |  |  |  |  |  |
|                                             | Ризосфера мятлика лугового                               |                                                                           |                                                       |  |  |  |  |  |  |
|                                             |                                                          | асоленной почвы                                                           |                                                       |  |  |  |  |  |  |
| 1600 м от<br>солеотвала,<br>СКПРУ-1         | солеотвала, 0,02 MBC2, MBC4, MBC6, MBC8 –                |                                                                           |                                                       |  |  |  |  |  |  |
|                                             | Из за                                                    | соленной почвы                                                            |                                                       |  |  |  |  |  |  |
| 5 м от солеотвала,<br>СКПРУ-1               | 10,52                                                    | M45-1N, M45-2N, M45-6N,<br>M46-7, M46-11, M47-1,<br>M47-2, MH46-1, MH46-2 | MH4R1,<br>MH4R2-1,<br>MH4R2-2                         |  |  |  |  |  |  |
| 20 м от солеотвала,<br>СКПРУ-2              | 1,37                                                     | M55-1N, M55-2N, M55-6N,<br>M56-8                                          | MH5R3-2                                               |  |  |  |  |  |  |
| 50 м от солеотвала,<br>СКПРУ-2              | 1,39                                                     | M65-1N, M65-2N, M65-3N,<br>M65-4N, M65-5N                                 | MH6R1a,<br>MH6R2-2b,<br>MH6R4-2                       |  |  |  |  |  |  |
| 10 м от солеотвала,<br>СКПРУ-2              | 3,23                                                     | M75-1N, M75-3N                                                            | MH7R1-2                                               |  |  |  |  |  |  |
| 5 м от солеотвала,<br>СКПРУ-2               | 8,45                                                     | M95-1N, M95-3N, MH96-1                                                    | MH9R1-2                                               |  |  |  |  |  |  |
|                                             | Ризосфера я                                              | стребинки зонтичной                                                       |                                                       |  |  |  |  |  |  |
| 10 м от солеотвала,<br>СКПРУ-2              | 0,34                                                     | M16-1, M17-1                                                              | _                                                     |  |  |  |  |  |  |
|                                             | Ризосфера 1                                              | вероники дубравной                                                        |                                                       |  |  |  |  |  |  |
| 10 м от солеотвала,<br>СКПРУ-2              | 0,37                                                     | н.о.                                                                      | MH2R2-2                                               |  |  |  |  |  |  |
|                                             | Ризосфера тор                                            | ичника солончакового                                                      |                                                       |  |  |  |  |  |  |
| 10 м от солеотвала,<br>СКПРУ-2              | 1,68                                                     | M35-11N, M35-15N                                                          | MH3R1-1,<br>MH3R3-1,<br>MH3R3-2                       |  |  |  |  |  |  |
|                                             | Ризосфе                                                  | ра мари красной                                                           |                                                       |  |  |  |  |  |  |
| 10 м от солеотвала,<br>СКПРУ-2              | 0,56                                                     | M105-1, M106-5, M107-2,<br>M107-4                                         | _                                                     |  |  |  |  |  |  |
| 5 м от солеотвала,<br>СКПРУ-2               | 5,18                                                     | M115-1, M115-3N-a, M116-2,<br>M116-3, M116-4, M116-7,<br>M116-8           | _                                                     |  |  |  |  |  |  |
| 10 м от солеотвала,<br>СКПРУ-1              | 1,24                                                     | M136-2, M136-3, M136-7                                                    | MH13R2-2                                              |  |  |  |  |  |  |
| P                                           | изосфера мать                                            | -и-мачехи обыкновенной                                                    |                                                       |  |  |  |  |  |  |
| 10 м от солеотвала,<br>СКПРУ-1              | 1,41                                                     | M125-1, M126-4, M127-7                                                    | _                                                     |  |  |  |  |  |  |
| Ризосфера нивяника обыкновенного            |                                                          |                                                                           |                                                       |  |  |  |  |  |  |
| 10 м от солеотвала,<br>СКПРУ-2              | 2,94                                                     | н.о.                                                                      | MH14R2-2                                              |  |  |  |  |  |  |
| Примонония //н о //                         | на опродолять                                            | . // \\ 110 0611010110110                                                 |                                                       |  |  |  |  |  |  |

Примечание. «н.о.» – не определяли, «–» – не обнаружено.

Идентификация выделенных штаммов проведена с использованием молекулярно-генетических методов, основанных на анализе нуклеотидных последовательностей гена 16S рРНК (таблица 14).

Таблица 14 Результаты филогенетического анализа (ген 16S рРНК) бактерий, выделенных из ризосферы растений

|        |                                                                          | T                          | Γ                          |
|--------|--------------------------------------------------------------------------|----------------------------|----------------------------|
| Штамм  | Типовой штамм ближайшего родственного вида и номер в базе данных GenBank | Сходство генов 16S рРНК, % | Кол-во<br>нуклео-<br>тидов |
|        | Ризосфера мятлика лугового                                               |                            |                            |
|        | Из незасоленной почвы                                                    |                            |                            |
| MBC2   | Pseudomonas baetica a390 <sup>T</sup> (FM201274)                         | 99,3                       | 876                        |
| MBC4   | Pseudomonas mandelii CIP 105273 <sup>T</sup> (AF058286)                  | 99,6                       | 827                        |
| MBC6   | <i>Microbacterium maritypicum</i> DSM12512 <sup>T</sup> (AJ853910)       | 99,6                       | 611                        |
| MBC8   | Pseudomonas reinekei Mt-1 <sup>T</sup> (AM293565)                        | 98,6                       | 753                        |
|        | Из засоленной почвы                                                      | -                          |                            |
| M45-1N | Kocuria polaris CMS 76or <sup>T</sup> (AJ278868)                         | 99,7                       | 743                        |
| M45-2N | Halomonas ventosae Al12 <sup>T</sup> (AY268080)                          | 99,4                       | 1385                       |
| M45-6N | Zhihengliuella halotolerans YIM 70185 <sup>T</sup> (DQ372937)            | 99,9                       | 807                        |
| M46-7  | Alteromonas hispanica F-32 <sup>T</sup> (AY926460)                       | 96,7                       | 1337                       |
| M46-11 | Isoptericola halotolerans YIM 70177 <sup>T</sup> (AY789835)              | 99,1                       | 784                        |
| M47-1  | Kushneria marisflavi SW32 <sup>T</sup> (AF251143)                        | 98,7                       | 1404                       |
| M47-2  | <i>Microbacterium profundi</i> Shh49 <sup>T</sup> (EF623999)             | 98,7                       | 1314                       |
| M55-1N | Streptomyces griseoplanus AS 4.1868 <sup>T</sup> (AY999894)              | 100                        | 815                        |
| M55-2N | Nesterenkonia halotolerans YIM 70084 <sup>T</sup> (AY226508)             | 100                        | 927                        |
| M55-6N | <i>Micrococcus endophyticus</i> YIM 56238 <sup>T</sup> (EU005372)        | 99,9                       | 726                        |
| M56-8  | <i>Leeuwenhoekiella marinoflava</i> LMG 1345 <sup>T</sup> (AF203475)     | 97,7                       | 1318                       |
| M65-1N | Rhizobium selenitireducens B1 <sup>T</sup> (EF440185)                    | 97,7                       | 1257                       |
| M65-2N | Altererythrobacter indicus MSSRF26 <sup>T</sup> (DQ399262)               | 99,3                       | 841                        |
| M65-3N | Thalassospira lucentensis DSM 14000 <sup>T</sup> (AM294944)              | 98,2                       | 1320                       |
| M65-4N | Rhizobium sphaerophysae CCNWGS0238 <sup>T</sup> (FJ154088)               | 97,6                       | 1317                       |

Продолжение. Таблица 14

Результаты филогенетического анализа (ген 16S рРНК) бактерий, выделенных из ризосферы растений

|                        | выделенных из ризосферы растений                                       |       |           |  |  |  |  |
|------------------------|------------------------------------------------------------------------|-------|-----------|--|--|--|--|
| M65-5N                 | Pseudomonas xanthomarina KMM 1447 <sup>T</sup> (AB176954)              | 99,2  | 1344      |  |  |  |  |
| M75-1N                 | Bacillus aquimaris $TF-12^{T}(AF483625)$                               | 99,1  | 1286      |  |  |  |  |
| M75-3N                 | Bacillus thioparans BMP-1 <sup>T</sup> (DQ371431)                      | 99,9  | 837       |  |  |  |  |
| M95-1N                 | Planomicrobium koreense JG07 <sup>T</sup> (AF144750)                   | 99,8  | 881       |  |  |  |  |
| M95-3N                 | Paracoccus homiensis DD-R11 <sup>T</sup> (DQ342239)                    | 99,0  | 817       |  |  |  |  |
| M95-7N                 | Aurantimonas coralicida WP1 <sup>T</sup> (AJ786361)                    | 99,9  | 913       |  |  |  |  |
| MH46-1                 | Kushneria marisflavi SW32 <sup>T</sup> (AF251143)                      | 98,7  | 1390      |  |  |  |  |
| MH46-2                 | Halomonas sulfidaeris ATCC BAA-803 <sup>T</sup> (AF212204)             | 98,8  | 1350      |  |  |  |  |
| MH96-1                 | <i>Halobacillus profundi</i> IS-Hb4 <sup>T</sup> (AB189298)            | 98,96 | 1358      |  |  |  |  |
| MH4R1                  | Halomonas sulfidaeris ATCC BAA-803 <sup>T</sup> (AF212204)             | 99,1  | 1233      |  |  |  |  |
| MH4R2-1                | Idiomarina loihiensis L2TR <sup>T</sup> (AF288370)                     | 100   | 835       |  |  |  |  |
| MH5R3-2                | Halomonas alkaliphila 18bAG <sup>T</sup> (AJ640133)                    | 99,9  | 1390      |  |  |  |  |
| MH6R1a                 | Virgibacillus halodenitrificans DSM 10037 <sup>T</sup> (AY543169)      | 100   | 805       |  |  |  |  |
| MH6R2-2b               | Oceanobacillus picturae LMG 19492 <sup>T</sup> (AJ315060)              | 100   | 811       |  |  |  |  |
| MH7R1-2                | Arthrobacter nicotianae DSM 20123 <sup>T</sup> (X80739)                | 99,3  | 1366      |  |  |  |  |
| MH9R1-2                | Virgibacillus necropolis LMG 19488 <sup>T</sup> (AJ315056)             | 98,3  | 1335      |  |  |  |  |
|                        | Ризосфера вероники дубравной                                           | 1     | 1         |  |  |  |  |
| MH2R2-2                | Bacillus hwajinpoensis SW-72 <sup>T</sup> (AF541966)                   | 99,9  | 742       |  |  |  |  |
|                        | Ризосфера ястребинки зонтичной                                         |       | -         |  |  |  |  |
| M16-1                  | Pseudomonas brenneri CFML 97-391 <sup>T</sup> (AF268968)               | 99,4  | 801       |  |  |  |  |
| M17-1                  | Brevibacterium casei NCDO 2048 <sup>T</sup> (X76564)                   | 99,8  | 791       |  |  |  |  |
|                        | Ризосфера торичника солончакового                                      | )     | <b>-1</b> |  |  |  |  |
| M35-11N                | <i>Isoptericola halotolerans</i> YIM 70177 <sup>T</sup> (AY789835)     | 99,6  | 774       |  |  |  |  |
| M35-15N                | <i>Pseudomonas seleniipraecipitatus</i> CA5 <sup>T</sup> (FJ422810)    | 99,2  | 831       |  |  |  |  |
| MH3R1-1                | Idiomarina loihiensis L2TR <sup>T</sup> (AF288370)                     | 100   | 783       |  |  |  |  |
| MH3R3-1                | Salinicola salarius M27 <sup>T</sup> (AM229316)                        | 99,3  | 1390      |  |  |  |  |
| Ризосфера мари красной |                                                                        |       |           |  |  |  |  |
| M105-1                 | Salinicola salarius M27 <sup>T</sup> (AM229316)                        | 99,3  | 1346      |  |  |  |  |
| M106-5                 | Kushneria marisflavi SW32 <sup>T</sup> (AF251143)                      | 98,6  | 1386      |  |  |  |  |
| M107-2                 | <i>Microbacterium phyllosphaerae</i> DSM 13468 <sup>T</sup> (AJ277840) | 100   | 764       |  |  |  |  |
|                        | -                                                                      |       |           |  |  |  |  |

Окончание. Таблица 14 Результаты филогенетического анализа (ген 16S рРНК) бактерий, выделенных из ризосферы растений

| M107-4   | Bacillus safensis FO-036b <sup>T</sup> (AF234854)                  | 99,9 | 834  |  |  |  |  |
|----------|--------------------------------------------------------------------|------|------|--|--|--|--|
| M115-1   | Bacillus hwajinpoensis SW-72 <sup>T</sup> (AF541966)               | 99,7 | 782  |  |  |  |  |
| M115-3Na | <i>Halomonas titanicae</i> BH1 <sup>T</sup> (FN433898)             | 98,9 | 1405 |  |  |  |  |
| M116-2   | <i>Microbacterium terricola</i> KV-448 <sup>T</sup> (AB234025)     | 98,8 | 1294 |  |  |  |  |
| M116-3   | Halomonas taeanensis BH539 <sup>T</sup> (AY671975)                 | 99,3 | 1377 |  |  |  |  |
| M116-4   | <i>Planomicrobium flavidum</i> ISL-41 <sup>T</sup> (FJ265708)      | 99,1 | 736  |  |  |  |  |
| M116-7   | Salegentibacter salarius ISL-6 <sup>T</sup> (EF486353)             | 99,1 | 789  |  |  |  |  |
| M116-8   | <i>Marinobacter maritimus</i> CK47 <sup>T</sup> (AJ704395)         | 97,8 | 1343 |  |  |  |  |
| M136-2   | Isoptericola chiayiensis 06182M-1 <sup>T</sup> (FJ469988)          | 99,1 | 1291 |  |  |  |  |
| M136-3   | <i>Isoptericola halotolerans</i> YIM 70177 <sup>T</sup> (AY789835) | 99,2 | 779  |  |  |  |  |
| M136-7   | Salinibacterium amurskyense KMM 3673 <sup>T</sup> (AF539697)       | 99,8 | 863  |  |  |  |  |
| MH13R2-2 | <i>Idiomarina loihiensis</i> L2TR <sup>T</sup> (AF288370)          | 100  | 833  |  |  |  |  |
|          | Ризосфера мать-и-мачехи обыкновенн                                 | ой   |      |  |  |  |  |
| M125-1   | <i>Halomonas boliviensis</i> LC1 <sup>T</sup> (AY245449)           | 99,3 | 1316 |  |  |  |  |
| M126-4   | Janibacter hoylei DSM 21601 <sup>T</sup> (FR749912)                | 100  | 686  |  |  |  |  |
| M127-7   | <i>Micrococcus yunnanensis</i> YIM 65004 <sup>T</sup> (FJ214355)   | 100  | 883  |  |  |  |  |
|          | Ризосфера нивяника обыкновенного                                   |      |      |  |  |  |  |
| MH14R2-2 | Virgibacillus necropolis LMG 19488 <sup>T</sup> (AJ315056)         | 97,6 | 1332 |  |  |  |  |

Примечание. Цветом выделены штаммы, претендующие на описание в качестве новых таксонов.

литературных источников известно, что в ризосфере растений В большинстве случаев доминируют бактерии рода **Pseudomonas** (класс Gammaproteobacteria), кроме того, для ризосферной зоны типичны бактерии родов Agrobacterium, Xanthomonas (класс *Gammaproteobacteria*) и Flavobacterium (класс Flavobacteriia) (Звягинцев и др., 1993), при этом доля обычно 1% актиномицетов не высока И составляет (Юрчак и др., 1977; Калакуцкий, Шарая, 1990). Высокая численность бактерий принадлежащих к классам Actinobacteria и Bacilli отмечена для ризосферы растений, произрастающих в пустынях, при этом доля данных бактерий возрастет в течение сухих периодов (Marasco et al., 2012; Kavamura et al., 2013).

После проведения филогенетического анализа выделенных морфотипов молекулярно-генетических методов было что значительная часть изолированных бактерий относится к представителям 37% Gammaproteobacteria (около ОТ обшего класса количества выявленных морфо/геномо групп) (рисунок 15). Также отмечено увеличение численности бактерий, принадлежащих к классам Actinobacteria и Bacilli (29% и 21%, соответственно), что уже было отмечено в экосистемах с экстремальными условиями выживания (Kavamura et al., 2013). В меньшей степени представлены бактерии, показавшие наибольшее филогенетическое сходство с микроорганизмами классов Alphaproteobacteria и Flavobacteriia (рисунок 15).

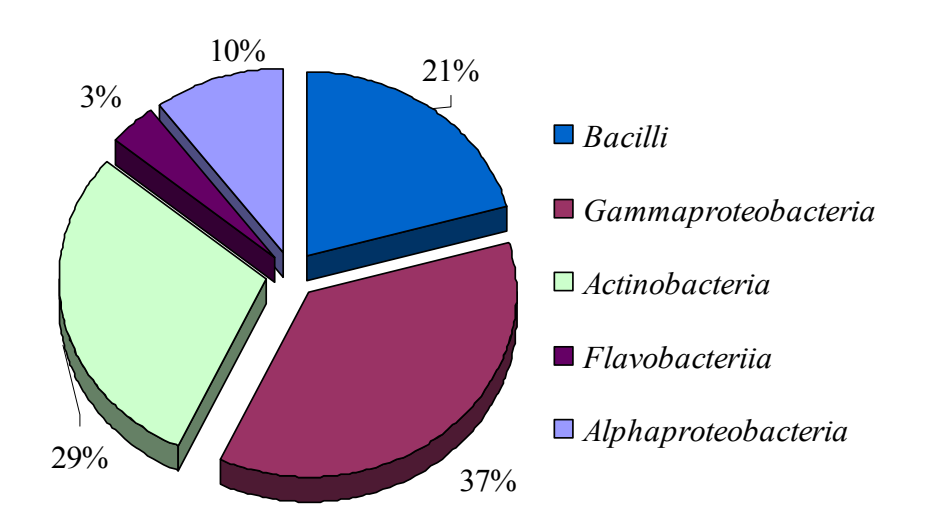


Рисунок 15. Относительное содержание различных классов бактерий, изолированных из образцов растительной ризосферы.

Грамотрицательные прокариоты класса Gammaproteobacteria в основном были представлены галофильными бактериями семейств Idiomarinaceae (рода Idiomarina) и Halomonadaceae (родов Halomonas, Kushneria, Salinicola). Наибольшую часть среди всех галомонад составляли бактерии рода Halomonas (34% от общего количества морфо/геномогрупп данного семейства) (рисунок 16).

Бактерии рода *Salinicola*, изолированные из растительной ризосферы торичника солончакового (штаммы MH3R3-1 и MH3R3-2) и мари красной

(штаммы M106-4, M105-4N и M105-1), имели наиболее высокий уровень сходства нуклеотидной последовательности гена 16S рРНК с таковой типового штамма *Salinicola salarius* M27<sup>T</sup>.

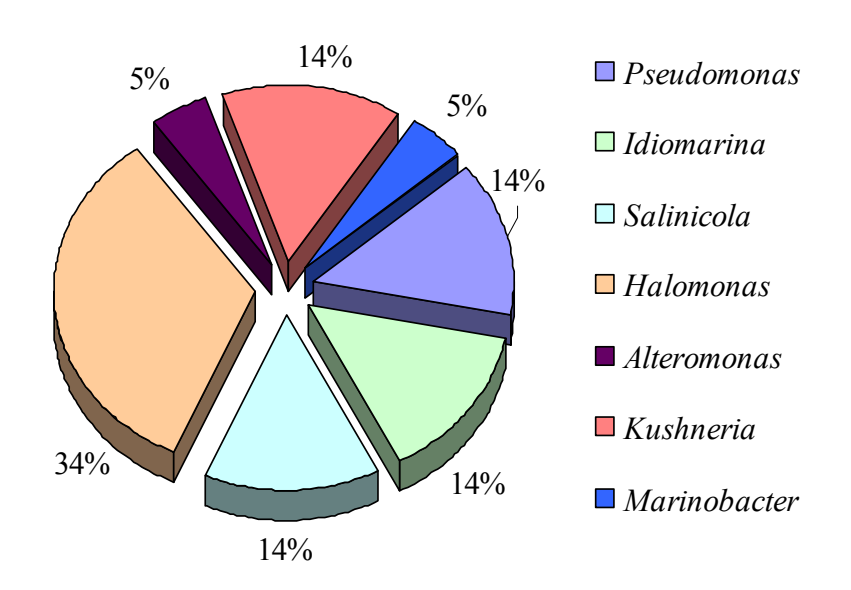


Рисунок 16. Относительное содержание различных филогенетических групп бактерий класса *Gammaproteobacteria* (процентное соотношение родов).

Ранее представители рода *Salinicola* были выделены с территории солеразработок БКПРУ-1 г. Березники Пермского края и описаны как новый род семейства *Halomonadaceae* с типовым штаммом *Salinicola socius* SMB35<sup>T</sup> (Ананьина и др., 2007). Изоляты, филогенетически близкие роду *Salinicola*, оказались генетически полиморфны по анализу фрагментов геномной ДНК, полученной методом ВОХ-ПЦР, и отличались от ВОХ-профиля наиболее близкородственного типового штамма (рисунок 17а).

галофильные выделенные Кроме ΤΟΓΟ, бактерии Kushneria, рода из ризосферы мятлика лугового (штаммы М47-1, МН46-1) и мари красной M106-5), 98,6-98,7% (штамм имели сходства ПО нуклеотидным последовательностям гена 16S рРНК с типовым штаммом вида Kushneria marisflavi, семейства что является довольно низким значением ДЛЯ Halomonadaceae (de la Haba et al., 2010) и указывает на принадлежность к новой таксономической единице. Примечательно, что данные изоляты, выделенные не только из разных, но и из одного образца ризосферы мятлика лугового, обладали гетерогенными профилями, полученными методом ВОХ-ПЦР (рисунок 17б).

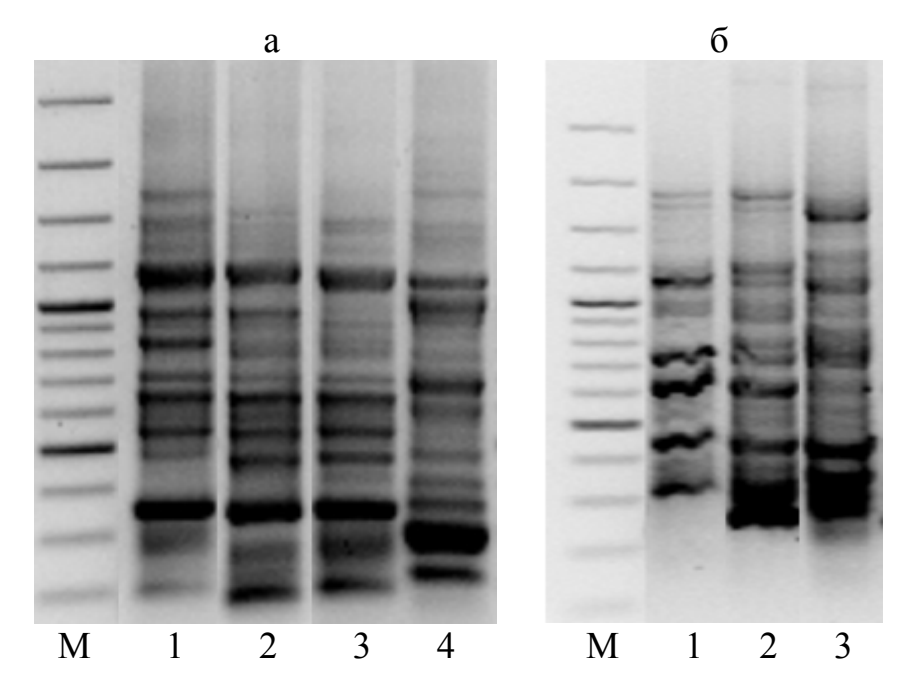


Рисунок 16. **BOX-профили исследуемых бактерий (a) рода** *Salinicola*:  $M - \text{маркер O'GeneRuler^{TM}} 100$  bp Plus DNA Ladder («Fermentas», Литва), l - MH3R3-1, MH3R3-2, 2 - M106-4, M105-4N, 3 - M105-1, 4 - типовой штамм *Salinicola salarius* M27<sup>T</sup>, **(б) рода** *Kushneria*:  $M - \text{маркер O'GeneRuler^{TM}} 100$  bp Plus DNA Ladder («Fermentas», Литва), l - M47-1, l - MH46-1, l - M106-5.

Помимо галофильных бактерий в образцах растительной ризосферы была обнаружена значительная доля галотолерантных бактерий класса *Gammaproteobacteria*, а именно рода *Pseudomonas* (14% от общего количества морфо/геномогрупп данного класса), *Alteromonas, Marinobacter* (не более 5% каждый) (рисунок 16).

Доминирующими представителями класса *Bacilli* оказались бактерии, проявившие уровень сходства по нуклеотидным последовательностям гена 16S рРНК с таковыми типовых штаммов рода *Bacillus* (42% от общего количества морфо/геномогрупп данного класса) (рисунок 18а).

Изоляты класса *Actinobacteria* характеризовались наибольшим филогенетическим разнообразием. Среди них были обнаружены представители родов *Isoptericola* (доминирующая группа – 23% от общего числа морфо/геномогрупп бактерий данного класса), *Zhihengliuella*, *Nesterenkonia*, *Brevibacterium*, *Kocuria*, *Micrococcus*, *Microbacterium*, *Janibacter* (рисунок 18б).

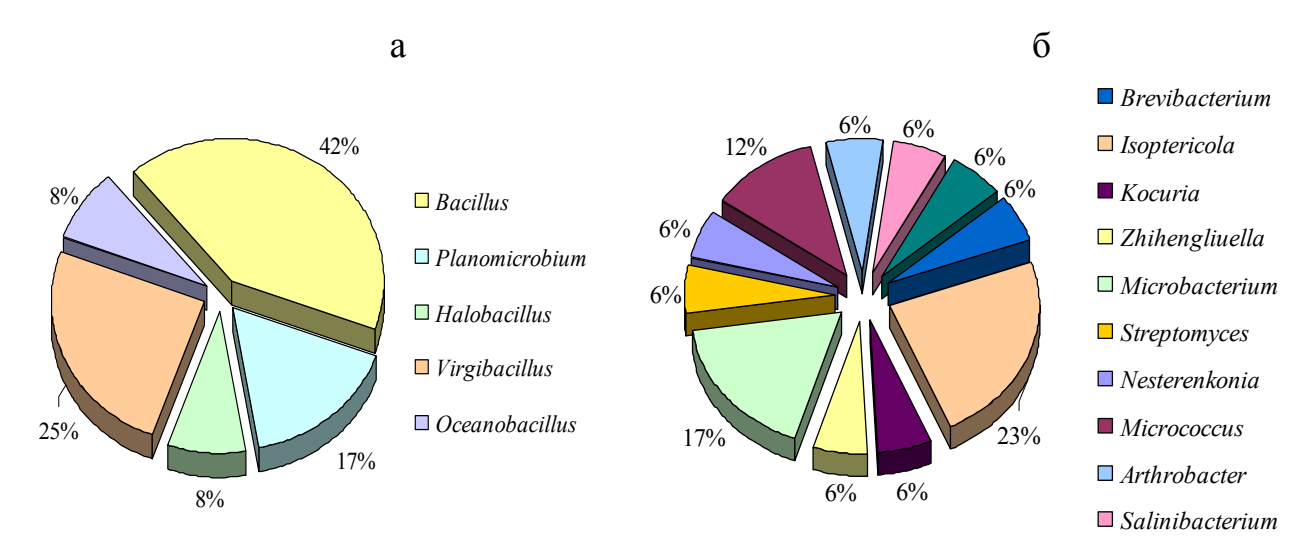


Рисунок 18. Относительное содержание различных филогенетических групп бактерий классов: (a) *Bacilli*, (б) *Actinobacteria* (процентное соотношение родов).

Незначительная часть среди всех выделенных микроорганизмов (около 3%, рисунок 15) показала наибольшее филогенетическое сходство с бактериями классов *Alphaproteobacteria* (родов *Rhizobium, Altererythrobacter, Paracoccus*) (рисунок 19а) и *Flavobacteriia* (родов *Leeuwenhoekiella, Salegentibacter*) (рисунок 19б).

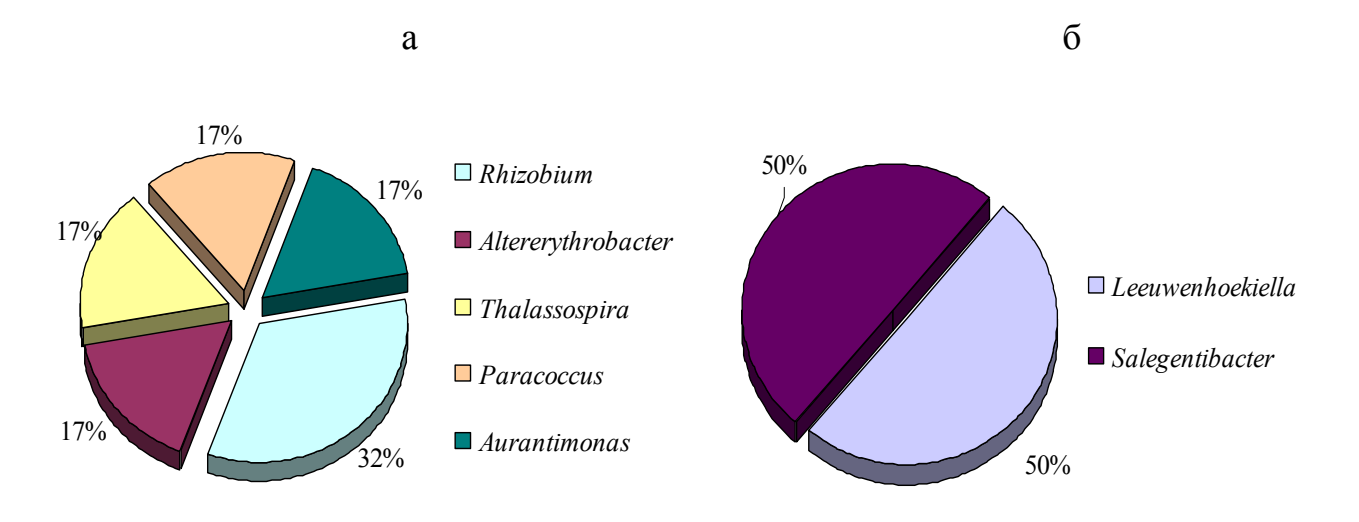


Рисунок 19. Относительное содержание различных филогенетических групп бактерий классов: (a) Alphaproteobacteria, (б) Flavobacteriia (процентное соотношение родов).

Следует отметить, что галофильные микроорганизмы были выделены как методом накопительного культивирования, так и методом прямого высева. В то время как галотолерантные бактерии в подавляющем большинстве были изолированы методом прямого высева на агаризованную БСР с содержанием NaCl 50 г/л. Наибольший видовой состав наблюдался в образцах ризосферы мятлика лугового, являющегося доминирующим видом в изучаемом районе. Численность изолированных бактерий в каждом образце составляла  $10^6$ - $10^7$  кл/мл.

В образцах ризосферы были также выявлены бактерии, имеющие низкий уровень сходства по гену 16S рРНК (в пределах 96,7-97,8%) с известными видами родов *Alteromonas*, *Leeuwenhoekiella*, *Marinobacter*, *Rhizobium*, *Virgibacillus*, и являющиеся потенциальными представителями новых таксонов. Кроме того, бактерии, показавшие 98,0-98,9% сходства с типовыми штаммоми узаконенных видов представляют значительный интерес для их дальнейшего и более подробного изучения.

Нуклеотидные последовательности генов 16S рРНК 12 штаммов бактерий, выделенных из ризосферы растений, произрастающих на засоленных почвах района соледобычи, депонированы в базе данных GenBank под номерами KF010924 - 28, KC992726 - 31, KC538827.

Ризосферная почва растения мятлика лугового, отобранная на расстоянии 1600 м от солеотвала СКПРУ-1 (контрольный вариант) содержала Na<sup>+</sup> в концентрации 0,02 мг-экв/100 г (что соответствует 4,6 мг/кг). Показано, что доминирующей группой бактерий в отобранных образцах являлись также представители класса *Gammaproteobacteria*, как и в засоленной почве, но 98,8% от общей численности составляли негалофильные бактерии рода *Pseudomonas*.

Таким образом, установлено, ЧТО техногенное в окрестностях предприятий ОАО «Уралкалий» оказывает сильное влияние сообщество ризосферной на микробное 30НЫ растений, приводящее доминированию галотолерантных и галофильных бактерий, также к увеличению доли бактерий классов Actinobacteria и Bacilli в ризосферной зоне.

# Глава 5. ГАЛОФИЛЬНЫЕ И ГАЛОТОЛЕРАНТНЫЕ БАКТЕРИИ, ВЫДЕЛЕННЫЕ ИЗ ОТХОДОВ (ТЕХНОГЕННО-МИНЕРАЛЬНЫХ ОБРАЗОВАНИЙ) КАЛИЙНОГО ПРОИЗВОДСТВА ОАО «УРАЛКАЛИЙ»

### 5.1 Культивируемые галотолерантные бактерии из техногенноминеральных образований (шламохранилище БКПРУ-2, ОАО «Уралкалий»)

Методом прямого высева на агаризованную БСР (50 г/л NaCl) в чистую культуру из пяти образцов техногенно-минеральных образований (ТМО) было выделено 138 штаммов, которые, на основании морфологических особенностей колоний были объединены в 30 морфогрупп. Представители каждой группы были идентифицированы на основе анализа нуклеотидных последовательностей гена 16S рРНК (таблица 15).

Таблица 15 Результаты филогенетического анализа (ген 16S рРНК) бактерий, выделенных из образцов ТМО шламохранилища БКПРУ-2

| Штамм    | Типовой штамм ближайшего родственного вида и номер в базе данных GenBank | Сходство<br>генов<br>16S рРНК,<br>% | Кол-во<br>нуклео-<br>тидов |
|----------|--------------------------------------------------------------------------|-------------------------------------|----------------------------|
| BO 1     | Rhodococcus wratislaviensis NCIMB 13082 <sup>T</sup> (Z37138)            | 99,9                                | 800                        |
| BO 2     | Rhodococcus fascians DSM 20669 <sup>T</sup> (X79186)                     | 100                                 | 819                        |
| BO 3     | Bacillus pumilus ATCC 7061 <sup>T</sup> (ABRX01000007)                   | 99,9                                | 1426                       |
| BO 4     | Bacillus firmus NCIMB 9366 <sup>T</sup> (X60616)                         | 99,3                                | 908                        |
| BO 5     | Bacillus thuringiensis ATCC 10792 <sup>T</sup> (ACNF01000156)            | 100                                 | 915                        |
| BO 6     | Bacillus safensis FO-036b <sup>T</sup> (AF234854)                        | 99, 9                               | 935                        |
| BO 8     | Pseudomonas xanthomarina KMM 1447 <sup>T</sup> (AB176954)                | 98,7                                | 1401                       |
| BO 9     | <i>Dietzia maris</i> DSM 43672 <sup>T</sup> (X79290)                     | 99,8                                | 904                        |
| BO 11    | <i>Pseudomonas xanthomarina</i> KMM 1447 <sup>T</sup> (AB176954)         | 99,0                                | 1434                       |
| BO 13    | Stenotrophomonas maltophilia ATCC 13637 <sup>T</sup> (AB008509)          | 100                                 | 930                        |
| BO 13-34 | Desemzia incerta DSM 20581 <sup>T</sup> (Y14650)                         | 100                                 | 925                        |
| BO 141   | Bacillus flexus IFO 15715 <sup>T</sup> (AB021185)                        | 100                                 | 722                        |
| BO 18    | Bacillus safensis FO-036b <sup>T</sup> (AF234854)                        | 100                                 | 923                        |
| BO 19    | <i>Arthrobacter oxydans</i> DSM 20119 <sup>T</sup> (X83408)              | 100                                 | 1233                       |
| BO 20    | Dietzia maris DSM 43672 <sup>T</sup> (X79290)                            | 99,9                                | 887                        |

Окончание. Таблица 15 Результаты филогенетического анализа (ген 16S рРНК) бактерий, выделенных из образцов ТМО шламохранилища БКПРУ-2

| BO 21   | Arthrobacter oxydans DSM 20119 <sup>T</sup> (X83408)             | 99,2 | 1388 |
|---------|------------------------------------------------------------------|------|------|
| BO 22   | <i>Pseudomonas xanthomarina</i> KMM 1447 <sup>T</sup> (AB176954) | 99,0 | 1438 |
| BO 23   | Pseudomonas xanthomarina KMM 1447 <sup>T</sup> (AB176954)        | 99,2 | 1404 |
| BO 24   | Pseudomonas xanthomarina KMM 1447 <sup>T</sup> (AB176954)        | 99,2 | 1421 |
| BO 25   | Arthrobacter nicotianae DSM 20123 <sup>T</sup> (X80739)          | 99,1 | 1387 |
| BO 27   | Stenotrophomonas maltophilia ATCC 13637 <sup>T</sup> (AB008509)  | 99,2 | 769  |
| BO 28   | <i>Paracoccus beibuensis</i> JLT1284 <sup>T</sup> (EU650196)     | 98,1 | 1330 |
| BO 30   | Paracoccus beibuensis JLT1284 <sup>T</sup> (EU650196)            | 98,2 | 1330 |
| BO 32   | Pseudomonas monteilii CIP 104883 <sup>T</sup> (AF064458)         | 99,5 | 927  |
| BO 33   | Bacillus vietnamensis 15-1 <sup>T</sup> (AB099708)               | 99,0 | 604  |
| BO 34-1 | <i>Arthrobacter oxydans</i> DSM 20119 <sup>T</sup> (X83408)      | 100  | 1401 |
| BO 34-2 | <i>Arthrobacter oxydans</i> DSM 20119 <sup>T</sup> (X83408)      | 100  | 1401 |
| BO 35   | Kocuria rosea DSM 20447 <sup>T</sup> (X87756)                    | 99,7 | 972  |
| BO 37   | Micrococcus luteus NCTC 2665 <sup>T</sup> (CP001628)             | 100  | 414  |
| BO 38   | Streptomyces somaliensis NBRC 12916 <sup>T</sup> (AB184243)      | 100  | 1392 |

Было установлено, что 39% изолированных штаммов являются представителями класса *Actinobacteria*, 27% — относятся к классу *Gammaproteobacteria*, 27% — к классу *Bacilli*, 7% — к классу *Alphaproteobacteria* (рисунок 20a).

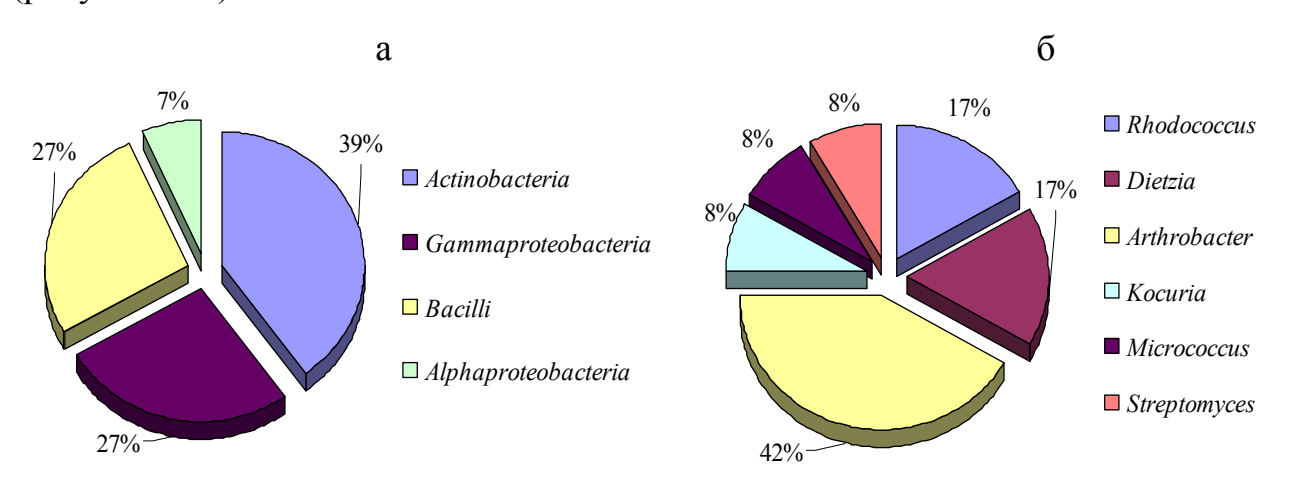


Рисунок 19. Относительное содержание различных филогенетических групп бактерии: (a) классов Gammaproteobacteria, Alphaproteobacteria, Bacilli и Actinobacteria, (б) родов класса Actinobacteria.

Согласно полученным результатам, наибольшим многообразием микроорганизмы класса Actinobacteria, среди характеризовались которых положение занимала группа бактерий рода Arthrobacter доминирующее (42% от общего количества актинобактерий). Менее многочисленными были 17% бактерии родов Rhodococcus И Dietzia (по ОТ общего числа), около 8% - родов Kocuria, Micrococcus и Streptomyces (рисунок 20б).

Все изолированные бактериальные культуры способны к росту на агаризованной среде как без добавления NaCl, так и с повышенной концентраций соли (до 100 г/л), т.е. являются галотолерантным организмами (Кашнер, 1981). Ряд изолятов рода *Bacillus* (штаммы BO3, BO6, BO18, BO33) были способны к росту в присутствии 150 г/л хлорида натрия (таблица 16).

Таблица 16 **Рост бактерий в присутствии различных концентраций NaCl** 

|          | Концентрация NaCl (г/л), среда БСР |     |     |        |        |           |         |     |     |     |
|----------|------------------------------------|-----|-----|--------|--------|-----------|---------|-----|-----|-----|
|          |                                    |     | Кон | центра | ция Na | Cl (г/л), | , среда | БСР |     |     |
| Штамм    | Без<br>NaCl                        | 30  | 50  | 60     | 70     | 80        | 90      | 100 | 120 | 150 |
| BO 1     | +++                                | +++ | +++ | +++    | +++    | ++        | ++      | +   | _   | _   |
| BO 2     | ++                                 | +++ | +   | +      | _      | _         | _       | _   | _   | _   |
| BO 3     | +++                                | +++ | +++ | +++    | +++    | +++       | +++     | +++ | +++ | +   |
| BO 4     | +++                                | +++ | +++ | +++    | ++     | ++        | +       | ++  | +   | _   |
| BO 5     | +++                                | +++ | +++ | +++    | +      | _         | _       | _   | _   | _   |
| BO 6     | +++                                | +++ | +++ | +++    | +++    | +++       | +++     | +++ | ++  | +   |
| BO 8     | +++                                | +++ | ++  | +      | +      | +         | +       | _   | _   | _   |
| BO 9     | +                                  | +++ | ++  | ++     | +++    | +         | +       | _   | _   | _   |
| BO 11    | +++                                | +++ | +++ | +++    | ++     | ++        | +       | +   | _   | _   |
| BO 13    | +++                                | +++ | +++ | +      | +      | +         | +       | _   | _   | _   |
| BO 13-34 | ++                                 | +++ | +   | +      | +      | +         | +       | _   | _   | _   |
| BO 141   | +++                                | +++ | +++ | +++    | +++    | ++        | ++      | ++  | ++  | _   |
| BO 18    | +++                                | +++ | +++ | +++    | +++    | +++       | +++     | +++ | +++ | +   |
| BO 19    | +++                                | +++ | ++  | +      | +      | +         | +       | _   | _   | _   |
| BO 20    | +                                  | +++ | ++  | ++     | +      | +         | +       | _   | _   | _   |
| BO 21    | +++                                | +++ | ++  | +      | _      | _         | _       | _   | _   | _   |
| BO 22    | ++                                 | +++ | ++  | ++     | +      | +         | +       | _   | _   | _   |
| BO 23    | ++                                 | +++ | ++  | ++     | ++     | ++        | +       | +   | _   | _   |
| BO 24    | ++                                 | +++ | ++  | ++     | ++     | ++        | +       | +   | _   | _   |
| BO 25    | +++                                | +++ | +++ | +++    | +++    | +++       | +++     | +++ | ++  | _   |

Окончание. Таблица 16 **Рост бактерий в присутствии различных концентраций NaCl** 

|         |             | Концентрация NaCl (г/л), среда БСР |     |     |     |     |     |     |     |     |  |  |  |
|---------|-------------|------------------------------------|-----|-----|-----|-----|-----|-----|-----|-----|--|--|--|
| Штамм   | Без<br>NaCl | 30                                 | 50  | 60  | 70  | 80  | 90  | 100 | 120 | 150 |  |  |  |
| BO 27   | +++         | +++                                | +   | _   | _   | _   | _   | _   | _   | _   |  |  |  |
| BO 28   | +++         | +++                                | ++  | ++  | ++  | +   | +   | _   | _   | _   |  |  |  |
| BO 30   | +++         | +++                                | +   | +   | _   | _   | _   | _   | _   | _   |  |  |  |
| BO 32   | +++         | +++                                | ++  | +   | 1   | _   | _   | _   | _   | _   |  |  |  |
| BO 33   | +++         | +++                                | +++ | +++ | +++ | +++ | +++ | +++ | +++ | +   |  |  |  |
| BO 34–1 | +++         | +++                                | ++  | +   | _   | _   | _   | _   | _   | _   |  |  |  |
| BO 34–2 | +++         | +++                                | ++  | +   | _   | _   | _   | _   | _   | _   |  |  |  |
| BO 35   | +++         | +++                                | +++ | +++ | +++ | ++  | +   | +   | _   | _   |  |  |  |
| BO 37   | +++         | +++                                | +++ | +++ | +++ | ++  | +   | +   | +   | _   |  |  |  |
| BO 38   | +++         | +++                                | +++ | +++ | +++ | +++ | +++ | +++ | ++  | _   |  |  |  |

результате изучения биодеградационных свойств изолированных бактерий было выявлено, что штаммы Rhodococcus sp. BO1, Bacilus sp. BO4 Arthrobacter **BO25** обладают наиболее sp. широкой субстратной И специфичностью и способны использовать в качестве единственного источника углерода и энергии такие ароматические углеводороды как нафталин, бифенил и орто-ФК (таблица 17). Другие бактериальные культуры показали менее активный рост на ароматических углеводородах и продуктах их разложения. Выявление бактерий, способных К деструкции подобных соединений, обусловлено тем, ЧТО составе техногенно-минеральных образований стойкие присутствуют различные органические загрязнители (полиароматические соединения, фталаты, галогенсодержащие углеводороды) (Бачурин, Одинцова, 2009).

Таблица 17 Рост бактерий на МСР (30 г/л NaCl) с различными ароматическими углеводородами

| IIImores | Субстрат |        |        |      |      |         |     |      |      |  |  |  |
|----------|----------|--------|--------|------|------|---------|-----|------|------|--|--|--|
| Штамм    | Фенол    | Бензол | Толуол | Наф. | Биф. | орто-ФК | БК  | Сал. | ПГБК |  |  |  |
| BO 1     | +++      | ++     | +      | +++  | ++   | +++     | +   | ++   | +++  |  |  |  |
| BO 2     | _        | +++    | ++     | ++   | ++   | ++      | +   | ++   | +++  |  |  |  |
| BO 3     | +        | +      | +      | +    | +    | ++      | +   | +    | +    |  |  |  |
| BO 4     | +++      | ++     | ++     | +++  | +++  | +++     | ++  | +++  | ++   |  |  |  |
| BO 5     | +        | +      |        | +    | +    | +       | _   | _    | _    |  |  |  |
| BO 6     | ++       | +      | +      | +    | +    | ++      | +   | +    | _    |  |  |  |
| BO 8     | +        | ++     |        | +    | +    | +       | +   | +    | +    |  |  |  |
| BO 9     | -        | +      | ++     | +    | +    | +++     | +++ | +    | _    |  |  |  |
| BO 11    | ++       | ++     | +      | ++   | ++   | +++     | +++ | ++   | _    |  |  |  |
| BO 13    | ++       | +      |        | ++   | ++   | ++      | +   | ++   | _    |  |  |  |
| BO 13-34 | +        | _      | _      | +    | _    | +       | +   | +    | +    |  |  |  |
| BO 141   | ++       | _      | _      | ++   | +++  | +++     | ++  | ++   | ++   |  |  |  |
| BO 18    | +        | +      | +      | ++   | ++   | ++      | +   | +    | _    |  |  |  |
| BO 19    | ++       | +      | +      | ++   | +    | +++     | ++  | ++   | ++   |  |  |  |
| BO 20    | ++       | ++     | +      | +    | +    | _       | +++ | ++   | _    |  |  |  |
| BO 21    | ++       | ++     | +      | +    | ++   | +       | +++ | ++   | ++   |  |  |  |
| BO 22    | ++       | ++     | _      | +    | ++   | ++      | +   | ++   | +    |  |  |  |
| BO 23    | +        | ++     | _      | ++   | ++   | _       | +++ | +    | +    |  |  |  |
| BO 24    | +        | ++     | _      | ++   | +    | _       | +++ | ++   | +    |  |  |  |
| BO 25    | +++      | +++    | +++    | +++  | +++  | ++      | +++ | ++   | +++  |  |  |  |
| BO 27    | ++       | ++     | +      | +    | +    | +       | +   | +    | +    |  |  |  |
| BO 28    | +++      | +++    | +      | ++   | ++   | ++      | +++ | +++  | +    |  |  |  |
| BO 30    | +        | +      | +      | +    | +    | +       |     | +    | +    |  |  |  |

Окончание. Таблица 17 **Рост бактерий на МСР (30 г/л NaCl)с различными ароматическими углеводородами** 

| Штамм   | Субстрат |        |        |      |      |         |     |      |      |
|---------|----------|--------|--------|------|------|---------|-----|------|------|
| штамм   | Фенол    | Бензол | Толуол | Наф. | Биф. | орто-ФК | БК  | Сал. | ПГБК |
| BO 32   | ++       | ++     | _      | ++   | ++   | +       | +   | +    | +++  |
| BO 33   | ++       | +++    | +      | +    | +    | ++      | +   | +    | +    |
| BO 34-1 | _        | +      | _      | +    | ++   | ++      | +   | +    | +++  |
| BO 34-2 | +        | +      | _      | +    | ++   | ++      | ++  | +    | +++  |
| BO 35   | +++      | ++     | ++     | ++   | ++   | ++      | +   | +    | +    |
| BO 37   | +++      | +      | _      | ++   | ++   | ++      | +   | +    | +    |
| BO 38   | +++      | +      | _      | ++   | ++   | ++      | +++ | ++   | ++   |

Примечание. «+» – слабый рост (О $\Pi_{600}$  0,04-0,05); «++» – средний рост (О $\Pi_{600}$  0,05-0,20); «+++» – хороший рост (О $\Pi_{600}$  0,20-0,50); «–» – отсутствие роста бактерий; Наф. – нафталин; Биф. – бифенил; *орто*-ФК – *орто*-фталевая кислота; БК – бензойная кислота; Сал. – салициловая кислота; ПГБК – *пара*-гидроксибензойная кислота.

### 5.2 Культивируемые галофильные бактерии из техногенноминеральных образований (шламохранилище БКПРУ-2, ОАО «Уралкалий»)

Проведены исследования ПО выявлению галофильных бактерий техногенно-минеральных образований при культивировании на среде ATCC 213 «Halobacterium medium» (200 г/л NaCl). Было изолировано 5 галофильных штаммов микроорганизмов (таблица 18). Морфология колоний изолятов ТС151, ТС161, ТС171, В181 представлена округлой формой светлобежевого цвета с ровным краем, размером 0,5-1 мм, гладкой, блестящей поверхностью. Клетки вышеперечисленных штаммов – грамотрицательные, каталазоположительные, оксидазоотрицательные подвижные палочки. Изолят ТС141 характеризовался колониями округлой формы, размером 3-4 мм, блестящими, непрозрачными, темно-бежевого цвета с ровным краем, клетки его имели коккоидную форму.

Таблица 18 Штаммы бактерий, выделенные из ТМО шламохранилища (БКПРУ-2, ОАО «Уралкалий»)

| Источник выделения                    | Концентрация<br>ионов Na <sup>+</sup> ,<br>мг-экв/100 г | Обозначение<br>штамма |
|---------------------------------------|---------------------------------------------------------|-----------------------|
| Образец №220, шурф № 1, глубина 0,5 м | 170                                                     | TC141                 |
| Образец №219, шурф № 1, глубина 0,3 м | н.о.                                                    | TC151                 |
| Образец №221, шурф № 2, глубина 0,2 м | 22                                                      | TC161                 |
| Образец №222, шурф № 3, глубина 0,2 м | 137                                                     | TC171                 |
| Образец №223, шурф № 2, глубина 0,4 м | 150                                                     | TC181                 |

Примечание. «н.о.» – не определяли.

Штаммы ТС151, ТС171, ТС181 на основании анализа ВОХ-ПЦР отнесены геномогруппе. Данные одной штаммы обладали гомологичными ДНК-профилями со штаммами ТС122 и ТС11 (рисунок 10, 21), изолированными (СКПРУ-1, г. Соликамск). образцов каменной соли И сильвинита Генотипирование штамма ТС161 показало, что он имеет сходство со штаммом ТС31, выделенным из образца грунта около солеотвала СКПРУ-1 (рисунок 21). Изолят ТС141 имеет отличный от других гетерогенный ВОХ-профиль.

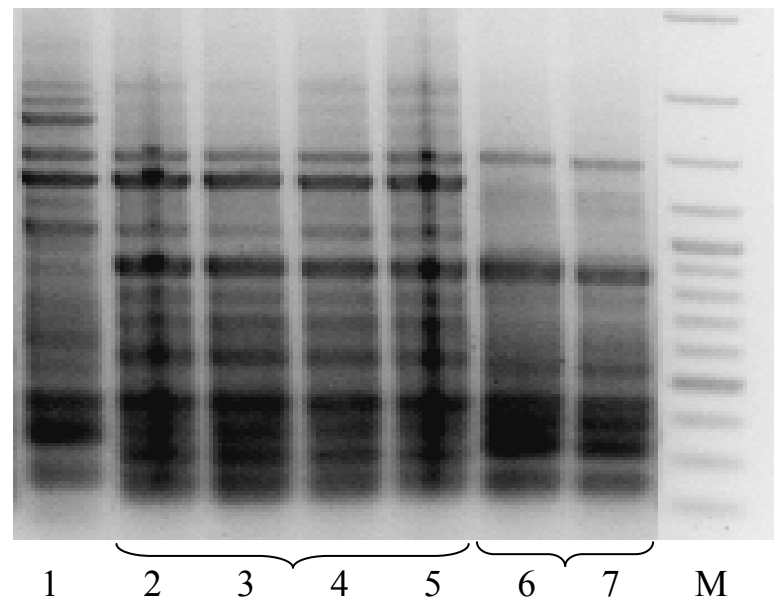


Рисунок 21. **ВОХ-ПЦР** профили бактерий, имеющих наибольшее **сходство по гену 16S рРНК с типовым видом** *Chromohalobacter canadensis*: I — типовой штамм *Chromohalobacter canadensis* ATCC 43984<sup>T</sup>, 2 — TC122, 3 — TC151, 4 — TC171, 5 — TC181, 6 — TC31, 7 — TC161.

Филогенетический анализ (16S рДНК) изолятов показал, что все 5 штаммов являются представителями класса *Gammaproteobacteria*. Из них, четыре штамма проявили наибольшее сходство с бактериями рода *Chromohalobacter*. Штамм ТС141 показал весьма низкий уровень сходства 16S рДНК с типовым штаммом рода *Salinisphaera* (93.5%). Похожие культуры были изолированы из образцов воды и донных отложений рассолосборника СКПРУ-2 (г. Соликамск, Пермский край) (см. глава 4.3)

Таблица 19 Результаты филогенетического анализа (ген 16S рРНК) бактерий, выделенных из образцов ТМО шламохранилища БКПРУ-2

|       | Типовой штамм ближайшего родственного вида                            | Сходство   | Кол-во  |
|-------|-----------------------------------------------------------------------|------------|---------|
| Штамм | и номер в базе данных GenBank                                         | генов      | нуклео- |
|       | in nomep b ouse guillant combaint                                     | 16S рРНК,% | тидов   |
| TC141 | Salinisphaera hydrothermalis EPR70 <sup>T</sup> (EU740416)            | 93,5       | 743     |
| TC151 | <i>Chromohalobacter canadensis</i> ATCC 43984 <sup>T</sup> (AJ295143) | 99,9       | 1248    |
| TC161 | <i>Chromohalobacter canadensis</i> ATCC 43984 <sup>T</sup> (AJ295143) | 99,9       | 1402    |

Примечание. Цветом выделены штаммы, претендующие на описание в качестве новых таксонов.

Полученные результаты свидетельствуют о том, что бактерии рода *Chromohalobacter* обнаружены как в залежах солей Верхнекамского месторождения, так и в отходах производства, полученных после ряда технологических процессов получения калийных и магниевых солей. Более того, можно предположить, что в экосистеме района солеразработок распространена и функционирует одна бактериальная культура, близкородственная виду *Chromohalobacter canadens*.

### 5.3 Культивируемые бактерии-деструкторы из техногенноминеральных образований (шламохранилище БКПРУ-1, ОАО «Уралкалий»)

Из техногенно-минеральных образцов образований (TMO) шламохранилища БКПРУ-1 ОАО «Уралкалий» (г. Березники, Пермский край) **MCP** накопительного культивирования на c нафталином методом и орто-ФК выделено 28 штаммов бактерий, отличающихся морфологией колоний и клеток. Из НК с нафталином в качестве субстрата было выделено 20 штаммов микроорганизмов, различных по грампринадлежности, морфологии клеток и колоний, а из НК с орто-ФК – 8 штаммов (таблица 20).

Таблица 20 **Бактерии из ТМО шламохранилища БКПРУ-2** (г. **Березники**)

| Источник<br>выделения                 | Выделенные штаммы                                                                                                |  |  |  |  |  |  |
|---------------------------------------|------------------------------------------------------------------------------------------------------------------|--|--|--|--|--|--|
| Субстрат выделения – нафталин (1 г/л) |                                                                                                                  |  |  |  |  |  |  |
| «Шлам 1»                              | KT61, KT631, KT632, KT721, KT722, KT723, KT81, T84, KT921, KT922, KT93, PN11, PN12, PN13, PN14, PN22, PN23, PB21 |  |  |  |  |  |  |
| «Шлам 2»                              | KT1.22, KT1.311                                                                                                  |  |  |  |  |  |  |
|                                       | Субстрат выделения – <i>орто</i> -ФК (1 г/л)                                                                     |  |  |  |  |  |  |
| «Шлам 1»                              | KT112-7, KT1131, KT1132, KT15412, PO11, PO12                                                                     |  |  |  |  |  |  |
| «Шлам 2»                              | KT1612, PO2                                                                                                      |  |  |  |  |  |  |

В составе подобных техногенно-минеральных образований присутствуют стойкие органические загрязнители (полициклические ароматические соединения, фталаты, галогенсодержащие углеводороды) (Бачурин, Одинцова, 2009).

Представители морфо/геномогрупп (15 штаммов) были идентифицированы на основе анализа нуклеотидных последовательностей гена 16S рРНК. Было установлено, что штаммы принадлежат к филумам «Actinobacteria», «Proteobacteria» и «Firmicutes» (таблица 21).

Таблица 21 Результаты филогенетического анализа (ген 16S рРНК) бактерий, выделенных из образцов ТМО (БКПРУ-2, ОАО «Уралкалий»)

| Штамм   | Типовой штамм ближайшего родственного вида и номер в базе данных GenBank | Сходство генов 16S pPHK, % | Кол-во<br>нуклео-<br>тидов |
|---------|--------------------------------------------------------------------------|----------------------------|----------------------------|
| KT1.22  | Gordonia terrae DSM 43249 <sup>T</sup> (X79286)                          | 99,9                       | 1376                       |
| KT1.311 | Pseudomonas xanthomarina KMM 1447 <sup>T</sup> (AB176954)                | 99,2                       | 1442                       |
| KT631   | Rhodococcus erythropolis NBCC 100887 <sup>T</sup> (X79289)               | 99,7                       | 682                        |
| KT723   | Rhodococcus wratislaviensis NCIMB 13082 <sup>T</sup> (Z37138).           | 99,7                       | 669                        |
| KT921   | Cellulosimicrobium cellulans DSM 43879 <sup>T</sup> (X83809)             | 99,2                       | 495                        |
| КТ922   | <i>Rhodococcus qingshengii</i> djl-6 <sup>T</sup> (DQ090961)             | 100                        | 712                        |
| PN11    | Cellulosimicrobium funkei ATCC BAA-886 <sup>T</sup> (AY501364)           | 99,2                       | 482                        |
| PN13    | Rhodococcus fascians DSM 20669 <sup>T</sup> (X79186)                     | 100                        | 915                        |
| PB21    | Microbacterium paraoxydans CF36 <sup>T</sup> (AJ491806)                  | 99,9                       | 722                        |
| KT112-7 | Rhodococcus wratislaviensis NCIMB 13082 <sup>T</sup> (Z37138)            | 100                        | 1400                       |
| KT1132  | <i>Microbacterium phyllosphaerae</i> DSM 13468 <sup>T</sup> (AJ277840)   | 100                        | 600                        |
| KT1612  | Pseudomonas xanthomarina KMM 1447 <sup>T</sup> (AB176954)                | 98,9                       | 1428                       |
| PO2     | Bacillus marisflavi TF-11 <sup>T</sup> (AF483624)                        | 99,6                       | 1428                       |
| PO11    | Rhodococcus jostii IFO 26295 <sup>T</sup> (AB046357)                     | 99,5                       | 1395                       |
| PO12    | Rhodococcus fascians DSM 20669 <sup>T</sup> (X79186)                     | 99,9                       | 677                        |

В результате сравнения нуклеотидных последовательностей гена 16S рРНК изолятов с таковыми типовых видов из баз данных GenBank и EzTaxon было установлено, что штаммы, выделенные из НК с нафталином в качестве субстрата, принадлежат к классам *Actinobacteria* и *Gammaproteobacteria*, при этом актинобактерии занимали доминирующее положение (89%) (рисунок 22a). Среди микроорганизмов класса *Actinobacteria* практически половина всех

изолятов была наиболее близка к представителям рода *Rhodococcus* (49%) (рисунок 22б). Согласно результатам филогенетического анализа в НК с *орто*-ФК большую часть (66%) также составляет группа актинобактерий (рисунок 22в), наиболее широко представленная бактериями рода *Rhodococcus* (рисунок 22г).

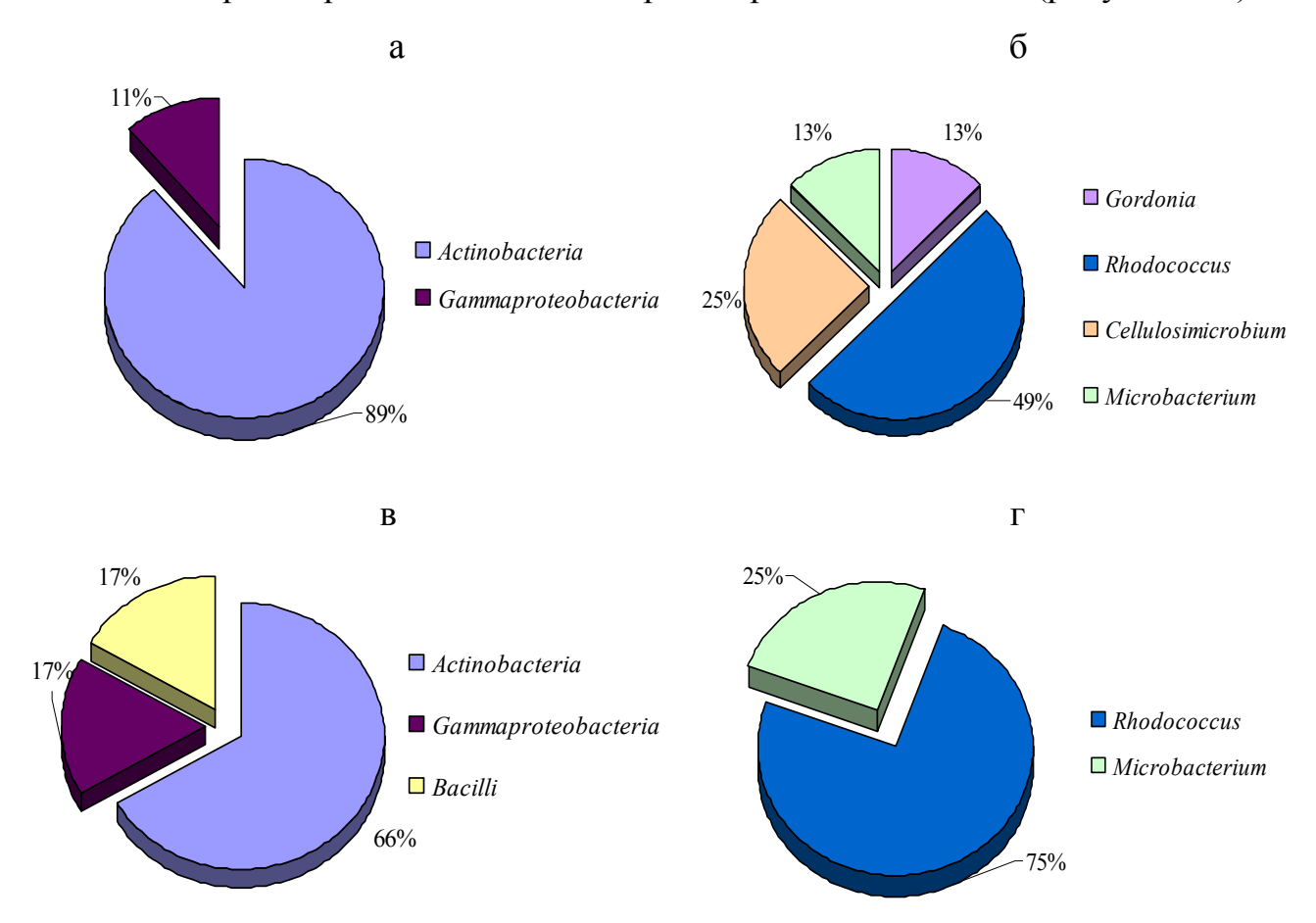


Рисунок 22. Относительное содержание филогенетических групп бактерий: (а) классов (Actinobacteria и Gammaproteobacteria) и (б) родов класса Actinobacteria в НК с нафталином, (в) классов (Gammaproteobacteria, Bacilli и Actinobacteria) и (г) родов класса Actinobacteria в НК с орто-ФК.

Большинство выделенных бактериальныхе штаммов способны к росту в диапазоне концентраций NaCl от 0 до 150 г/л и значениях pH 6,0-8,0. Штамм *Bacilus* sp. PO2 растет в щелочных условиях среды (pH 9,0). Большинство выделенных штаммов бактерий из НК с нафталином и *орто*-ФК обладали весьма широкой субстратной специфичностью (таблица 22). Один из этих штаммов – *Rhodococcus* sp. КТ112-7, обладающий широкой субстратной специфичностью в отношении различных моно(поли)ароматических соединений, был выбран для более подробного исследования.

Рост бактерий на MCP (30 г/л NaCl) с различными ароматическими углеводородами

| IIImores | Субстрат                     |        |       |                 |           |                   |        |      |         |      |     |
|----------|------------------------------|--------|-------|-----------------|-----------|-------------------|--------|------|---------|------|-----|
| Штамм    | Бензол                       | Толуол | Фенол | Биф.            | Наф.      | БК                | Сал.   | Ген. | орто-ФК | ПГБК | ПКК |
|          | Штаммы выделены на нафталине |        |       |                 |           |                   |        |      |         |      |     |
| KT1.22   | ++                           | +      | ++    | +++             | +         | +++               | +      | ++   | +       | +    | ++  |
| KT1.311  | ++                           | +++    | +     | ++              | _         | +                 | _      | _    | +       | ++   | +   |
| KT631    | +++                          | +++    | +++   | ++              | +         | _                 | _      | +    | +       | +    | ++  |
| KT723    | +++                          | +++    | +++   | +++             | ++        | +++               | _      | ++   | +++     | ++   | +++ |
| KT921    | ++                           | +++    | +++   | +++             | +         | +                 | +      | ++   | ++      | +++  | +++ |
| КТ922    | ++                           | +++    | +++   | +++             | +         | ++                | +      | +++  | ++      | +++  | +++ |
| PN11     | +                            | ++     | ++    | ++              | +         | _                 | _      | +    | ++      | +++  | +++ |
| PN13     | +++                          | +++    | ++    | +               | ++        | _                 | _      | ++   | ++      | +++  | +++ |
| PB21     | ++                           | ++     | ++    | +               | _         | _                 | _      | _    | ++      | +    | +++ |
|          |                              |        | П     | <b>Цтаммы</b> в | ыделены і | на <i>орто-</i> ф | талате |      |         |      |     |
| KT112-7  | +++                          | ++     | +++   | +++             | +++       | +++               | _      | +++  | +++     | +++  | ++  |
| KT1132   | ++                           | ++     | ++    | +               | _         | н.о               | _      | ++   | +       | Н.О  | +++ |
| KT1612   | ++                           | +++    | +++   | +               | +         | +                 | _      | _    | +       | +++  | +++ |
| PO2      | ++                           | +++    | +++   | +               | +         | +                 | +      | _    | ++      | +++  | +++ |
| PO11     | ++                           | ++     | +++   | +               | +         | +++               | +      | ++   | ++      | +++  | +++ |
| PO12     | +                            | ++     | ++    | _               | _         | +++               | ++     | ++   | ++      | +++  | ++  |

Примечание. «н.о.» – не определяли. «+» – слабый рост (О $\Pi_{600}$  0,04-0,05); «++» – средний рост (О $\Pi_{600}$  0,05-0,20); «+++» – хороший рост (О $\Pi_{600}$  0,20-0,50); «–» – отсутствие роста бактерий; Биф. – бифенил; Наф. – нафталин; БК – бензойная кислота; Сал. – салициловая кислота; Ген. – гентизиновая кислота; *орто*-ФК – *орто*-фталевая кислота; ПГБК – *пара*-гидроксибензойная кислота; ПКК – протокатеховая кислота.

### 5.4 Галотолерантный штамм *Rhodococcus wratislaviensis* КТ112-7 – деструктор моно(поли)ароматических углеводородов

#### 5.4.1 Идентификация и геномные исследования

KT112-7 (=ВКМ AC 2631D) выделен из ТМО БКПРУ-1 (г. Березники) методом накопительного культивирования на орто-фталате. При инкубировании в течение 3 суток на агаризованной БСР штамм КТ112-7 образует округлые, матовые, светло-розовые колонии размером 1-3 мм. Клетки штамма грамположительные, неподвижные, не образуют спор, каталазоположительные, с трехстадийным морфогенетическим циклом развития. Штамм растет при температуре 10-45°C с оптимумом роста при 28°C. Анализ нуклеотидной последовательности гена 16S рРНК штамма КТ112-7, размером 1400 п.н., показал 100% сходство с аналогичным геном типового  $13082^{\mathrm{T}}$ Rhodococcus wratislaviensis **NCIMB** (GenBank Z37138). штамма На основании морфо-физиологических и молекулярно-генетических признаков на настоящем этапе работы штамм идентифицирован как Rhodococcus wratislaviensis.

Сравнение ВОХ-ПЦР фингерпринтов штамма КТ112-7 и других штаммов рода *Rhodococcus*, выделенных из района солеразработок, показало его гетерогенность по минорным фрагментам (рисунок 23).

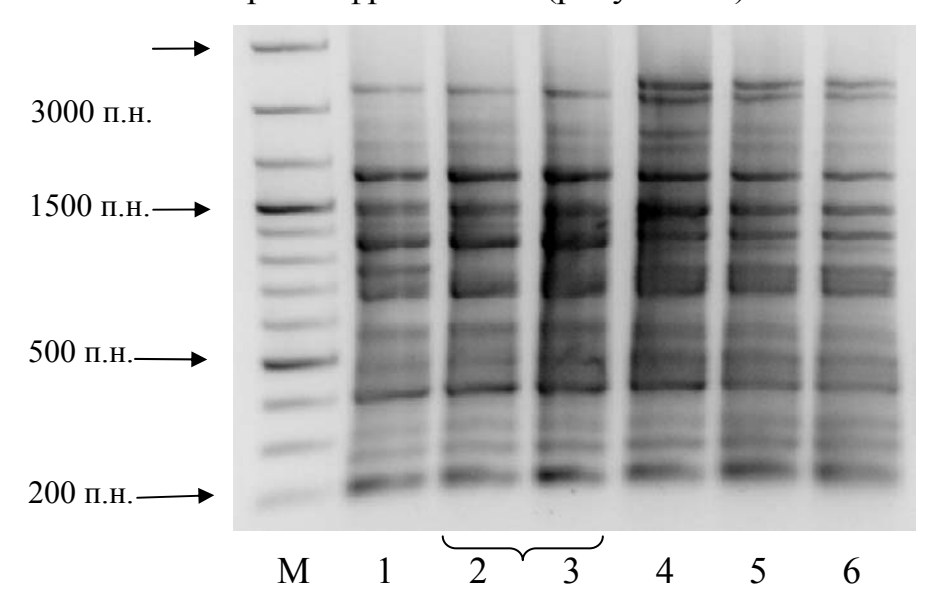


Рисунок 23. **ВОХ-ПЦР** профили бактерий рода *Rhodococcus*, **выделенных из района солеразработок:** M — маркер O'GeneRuler<sup>TM</sup> 100 bp Plus DNA Ladder («Fermentas», Литва), I — KT112-7, 2 — KT723, 3 — BO1, 4 — 9RN1-12, 5 — 9RN3-21, 6 — 9RN9-111.

В клетках штамма КТ112-7, выращенных на БСР, методом пульсэлектрофореза обнаружены плазмиды рКТ1 (~470 т.п.н.) и рКТ2 (~500 т.п.н.)
(рисунок 24), сопоставимые по размеру с плазмидами рRHL2 (443 т.п.н.)
и рRHL3 (332 т.п.н.) активного деструктора ароматических соединений *R. jostii* RHA1 (Vedler *et al.*, 2009). Стоит отметить, что плазмидный профиль
штамма КТ112-7 не изменялся при культивировании как в полноценной среде,
так и на ароматических субстратах: бифенил, БК, *орто*-ФК (данные не показаны).

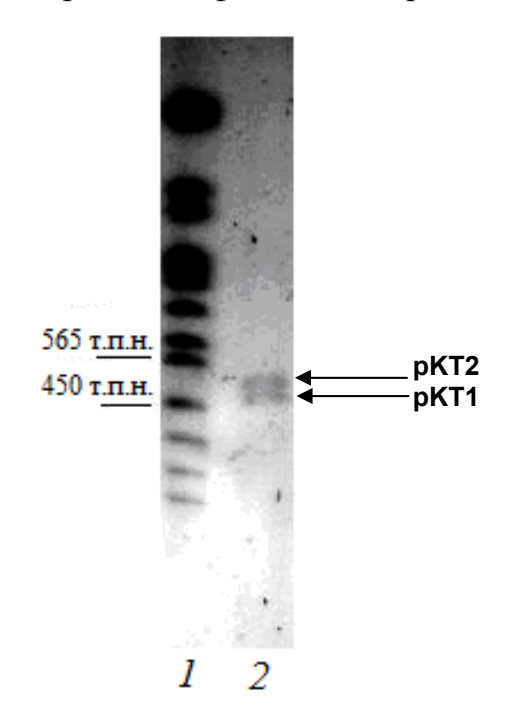


Рисунок 24. Электрофореграмма плазмидных ДНК штамма *R. wratislaviensis* KT112-7, выращенного на БСР: *I* – маркер молекулярных масс «DNA Size Markers – Yeast Chromosomal» («Bio-Rad Laboratories», США), 2 – плазмидные ДНК штамма КТ112-7.

#### 5.4.2 Деградационная активность

Штамм *R. wratislaviensis* КТ112-7 обладает широкой субстратной специфичностью и способен расти на бензоле, толуоле, феноле, *орто*-ФК, БК, бифениле, нафталине, используя их в качестве единственного источника углерода и энергии (таблица 22).

При выращивании штамма в жидкой среде наиболее эффективный рост был отмечен при культивировании на *орто*-ФК, БК и бифениле (рисунок 25). Рост штамма при использовании в качестве субстрата *орто*-ФК и бифенила

наблюдался практически без подготовительной фазы роста, в то время как при выращивании культуры на нафталине или бензоле рост культуры начинался только через 168 и 237 ч, соответственно. Максимальная удельная скорость роста при культивировании на бифениле ( $\mu$ =0,040±0,003ч<sup>-1</sup>), *орто*-ФК и БК ( $\mu$ =0,050±0,004ч<sup>-1</sup>) незначительно отличалась от таковой при культивировании штамма на бензоле и нафталине ( $\mu$ =0,030±0,007 ч<sup>-1</sup>).

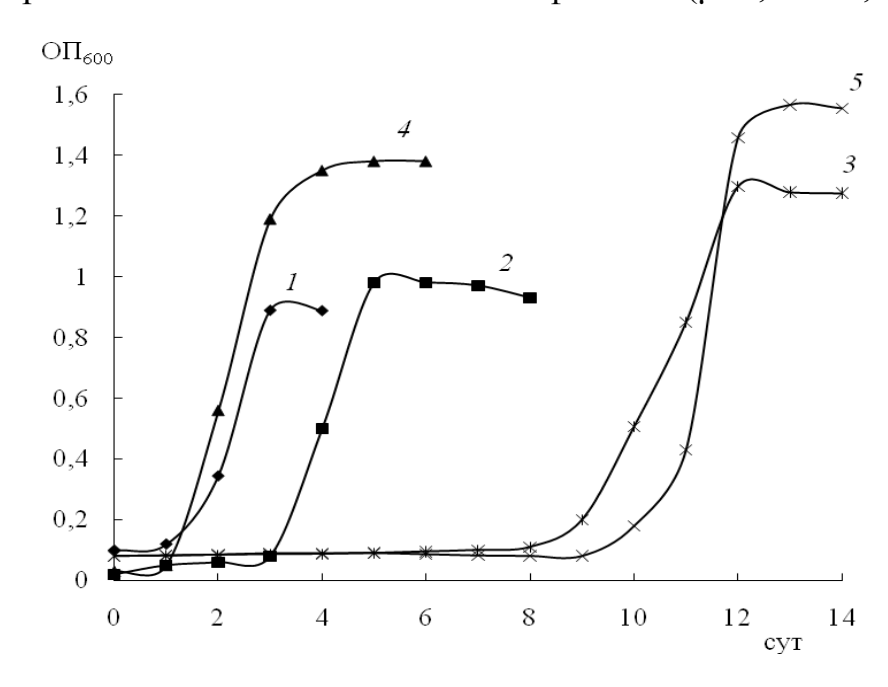


Рисунок 25. **Рост штамма** *R. wratislaviensis* **KT112-7 в МСР на ароматических углеводородах**: 1- opmo-ФК, 2- БК, 3- бензол, 4- бифенил, 5- нафталин.

Изучена способность R. wratislaviensis KT112-7 к росту при содержании высоких концентраций opmo-ФК и БК в среде (рисунок 26). При выращивании штамма на 8 г/л opmo-ФК или на 3,4 г/л БК зарегистрировано накопление биомассы (ОП $_{600}$ =2,2). Однако характер роста культуры на данных субстратах отличался. Так, увеличение концентрации opmo-ФК приводило к повышению максимальной удельной скорости роста (от  $0,050\pm0,002$  до  $0,070\pm0,003$  ч $^{-1}$ ), снижению времени удвоения культуры (от  $13,8\pm0,1$  до  $9,6\pm0,1$  ч) и практически не влияло на продолжительность подготовительной фазы роста. В отличие от ряда штаммов-деструкторов opmo-ФК рода Pseudomonas, штамм KT112-7 рос при высоких концентрациях opmo-ФК (до 8 г/л) (Murad et~al., 2007; Vamsee-Krishna et~al., 2006). При этом удельная скорость роста на сопоставимых концентрациях

субстрата у исследуемого штамма была в два раза ниже, что может быть обусловлено метаболическими и физиологическими особенностями псевдомонад родококков. Повышение концентрации БК приводило К увеличению подготовительной фазы роста, а динамика изменения ростовых параметров имела наибольшая противоположный характер, т.е. удельная скорость роста при минимальной концентрации субстрата  $(0,24\pm0,024^{-1})$ .

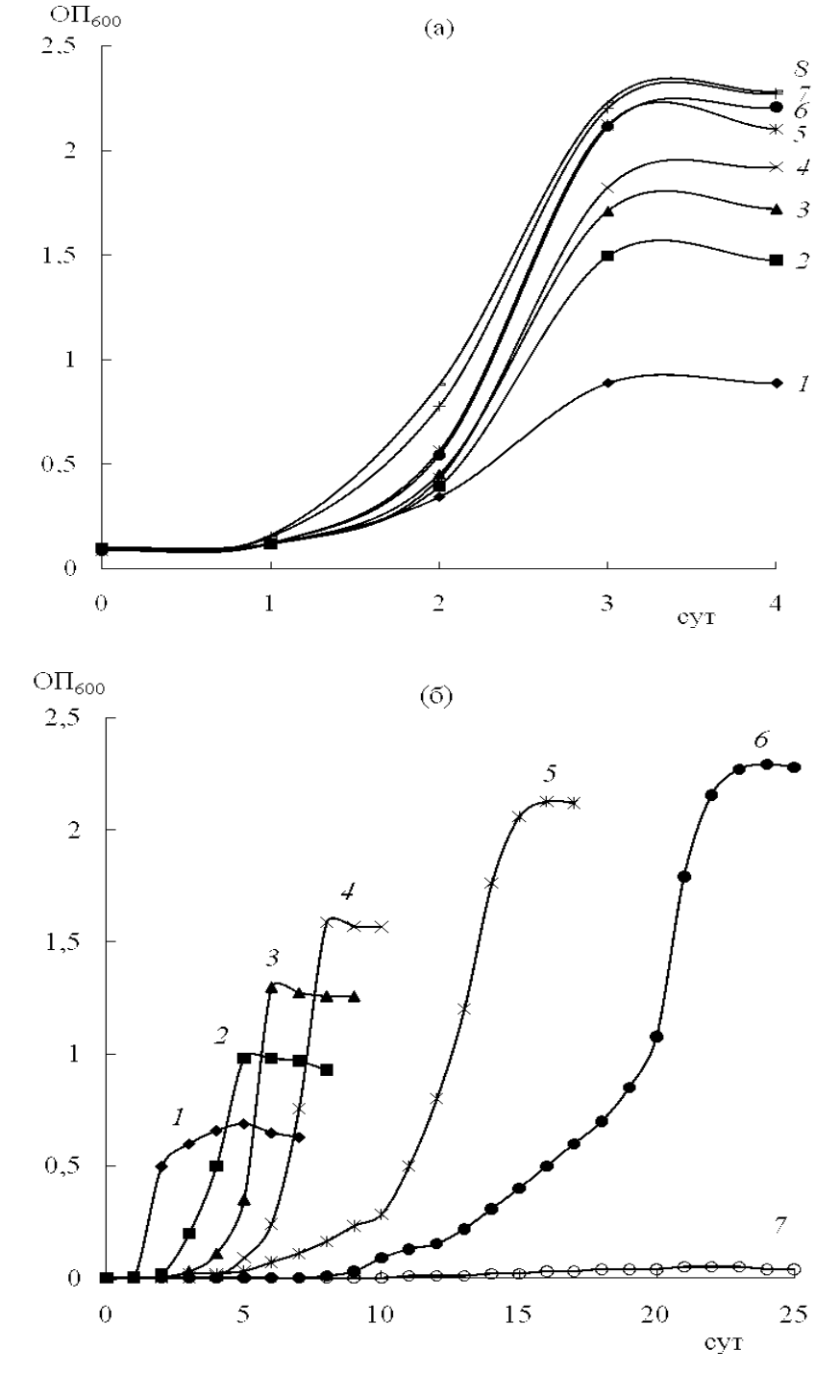


Рисунок 26. **Рост штамма** *R. wratislaviensis* **KT112-7** в **MCP на орто-ФК (а) и БК (б) (г/л):** (а) 1-1, 2-2, 3-3, 4-4, 5-5, 6-6, 7-7, 8-8.

# 5.4.3 Деструкция ароматических углеводородов при разной солености среды

В МСР с *орто*-ФК в качестве единственного источника углерода и энергии штамм КТ112-7 способен к росту при содержании до 90 г/л NaCl (рисунок 27).

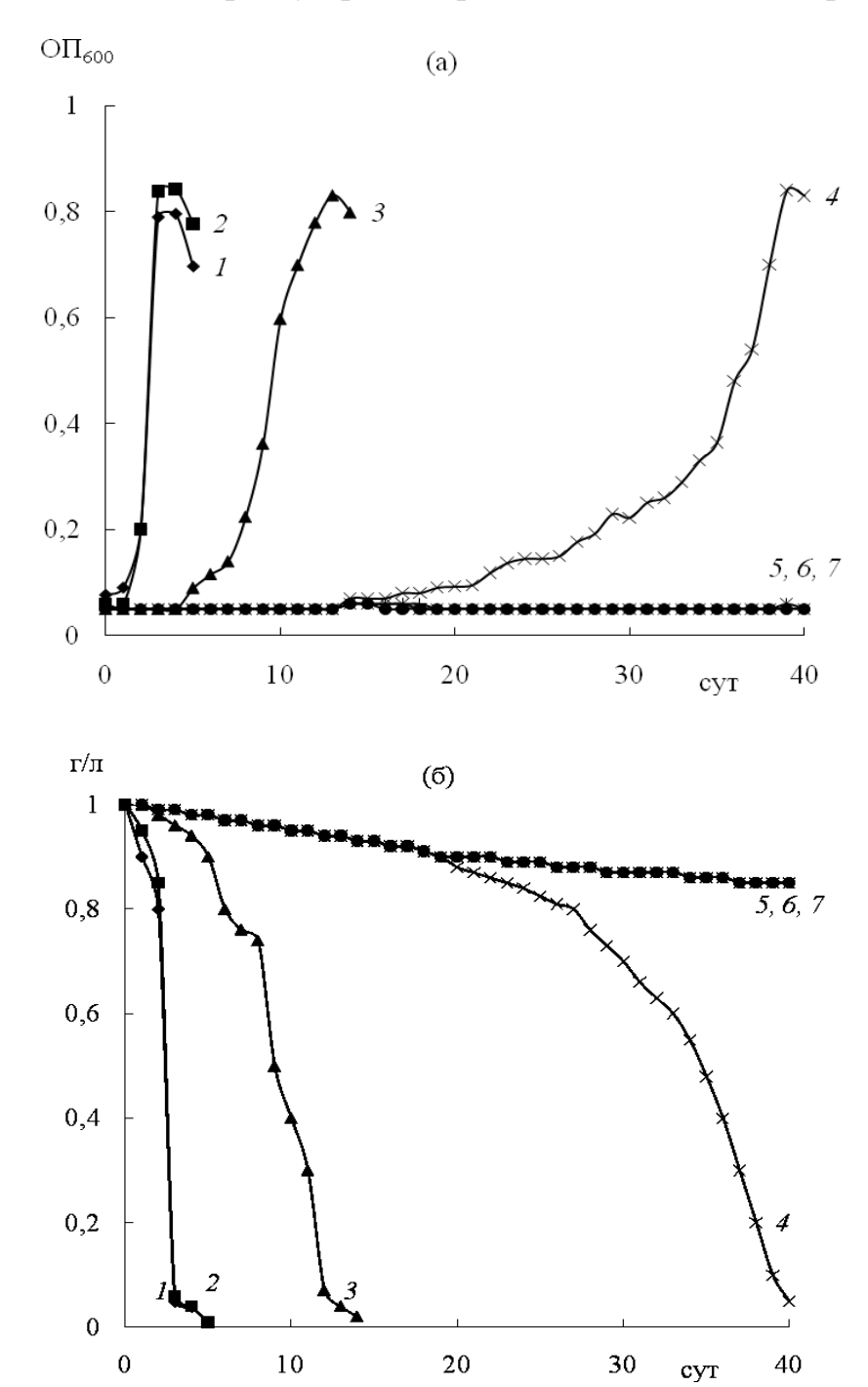


Рисунок 27. **Рост штамма** *R. wratislaviensis* **KT112-7** в **МСР на** *орто*-ФК (а) и убыль субстрата (б) при различных концентрациях **NaCl** (г/л): I-0, 2-30, 3-70, 4-90, 5-100, 6-110, 7-120.

Повышение концентрации соли в среде приводило к увеличению подготовительной фазы роста (24–480 ч), снижению максимальной удельной скорости роста (от  $0.050\pm0.004$  до  $0.006\pm0.001$  ч $^{-1}$ ), но практически не сказывалось на максимальной плотности культуры. Отмечена корреляционная зависимость между ростом культуры и снижением концентрации *орто*-ФК (r = -0.92).

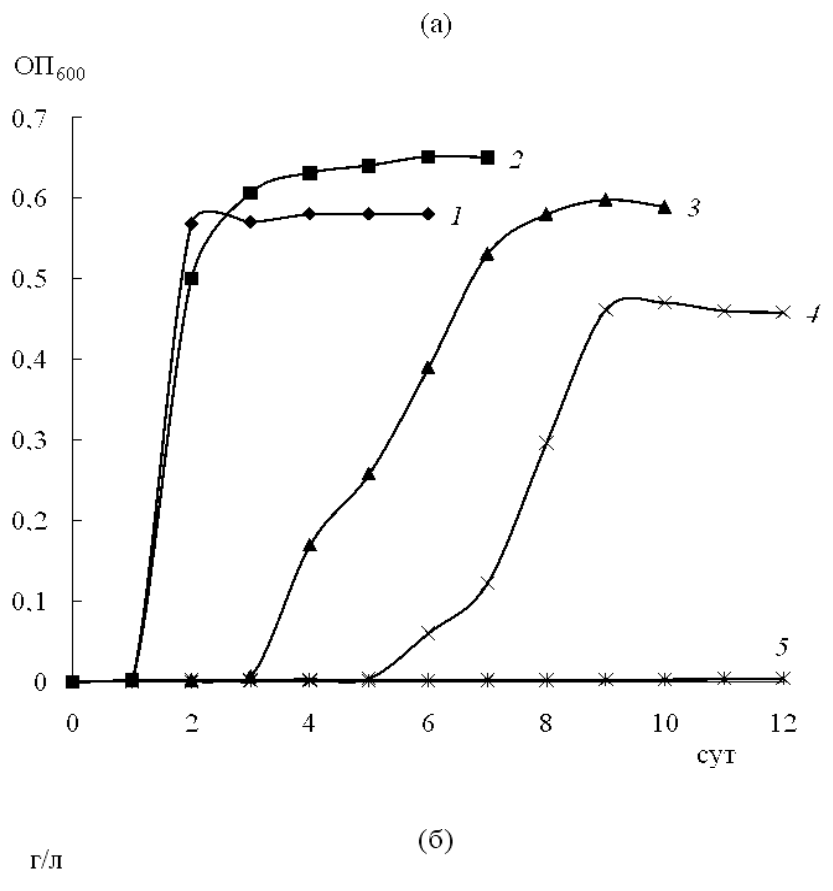
Анализ культуральной среды в экспериментах с «отмытыми» клетками показал присутствие трех метаболитов разложения *орто*-ФК (таблица 23). С повышением содержания NaCl в среде отмечалось увеличение концентрации интермедиатов и снижение уровня деструкции субстрата.

Таблица 23 Разложение *орто-*ФК штаммом *R. wratislaviensis* KT112-7 при разной концентрации NaCl

| NoC1         |          |                | Метаболиты              |                |                 |  |  |  |
|--------------|----------|----------------|-------------------------|----------------|-----------------|--|--|--|
| NaCl,<br>г/л | Время, ч | Деструкция,%   | 3,4-ГФК*,               | ПКК**, мг/л    | Пирокатехин,    |  |  |  |
| 1/11         |          |                | ОП <sub>309</sub> , ед, | TIKK , MI/JI   | мг/л            |  |  |  |
| 0            | 2        | $78,3 \pm 0,1$ | 0,372                   | н.д.***        | н.д.            |  |  |  |
| U            | 24       | $99,9 \pm 0,1$ | 0,374 н.д.              |                | н.д.            |  |  |  |
| 20           | 2        | $80,1 \pm 0,2$ | 0,336                   | н.д.           | $26,5 \pm 0,2$  |  |  |  |
| 30           | 24       | $93,2 \pm 0,2$ | 0,371                   | $15,2 \pm 0,2$ | $59,1 \pm 0,1$  |  |  |  |
| 50           | 2        | $79,6 \pm 0,4$ | 0,315                   | н.д.           | $41,9 \pm 0,1$  |  |  |  |
| 50           | 24       | $90,5 \pm 0,3$ | 0,377                   | $88,8 \pm 0,2$ | $30,4 \pm 0,1$  |  |  |  |
| (0           | 2        | $75,8 \pm 0,4$ | 0,421                   | $92,0 \pm 0,3$ | $268,5 \pm 0,4$ |  |  |  |
| 60           | 24       | $86,6 \pm 0,3$ | 0,376                   | $66,9 \pm 0,1$ | $167,6 \pm 0,3$ |  |  |  |

Примечание. \*3,4-ГФК — 3,4-дигидроксифталевая кислота, \*\*ПКК — протокатеховая кислота, \*\*\*н.д. — не детектировалось.

При культивировании штамма КТ112-7 в МСР с БК в качестве субстрата рост штамма наблюдался при содержании в среде до 75 г/л NaCl (рисунок 28). Подготовительная фаза роста была сопоставима с таковой при культивировании на *орто*-ФК при аналогичных концентрациях соли в среде. Повышение концентрации NaCl приводило к снижению максимальной оптической плотности культуры (ОП $_{600}$ =0,65–0,45) и уменьшению максимальной удельной скорости роста (от 0,23±0,01 до 0,040±0,005 ч $^{-1}$ ). Рост штамма КТ112-7 сопровождался убылью субстрата (r = -0,93).



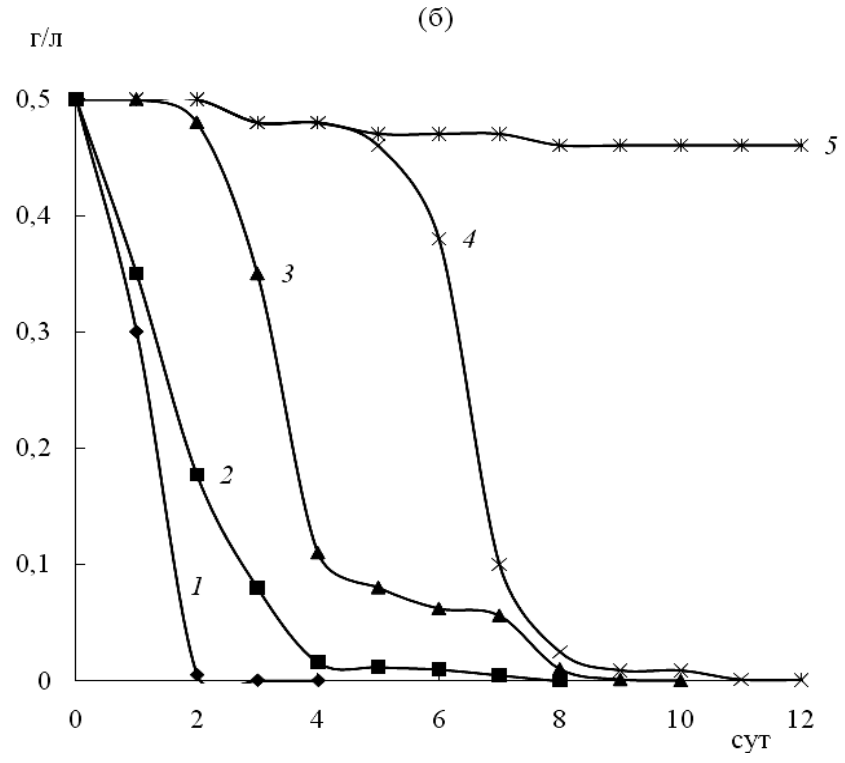


Рисунок 28. Рост штамма *R. wratislaviensis* KT112-7 в МСР на БК (а) и убыль субстрата (б) при различных концентрациях NaCl (г/л): 1-0, 2-30, 3-60, 4-75, 5-90.

Основные метаболиты деструкции БК штаммом КТ112-7 установлены в опытах с «отмытыми» клетками (таблица 24). При высоком содержании хлорида

натрия (60 г/л) обнаружен только пирокатехин, в то время как при меньшей концентрации соли (30 и 50 г/л) и без NaCl в среде зафиксировано образование napa-гидроксибензойной, протокатеховой кислот и пирокатехина в качестве промежуточных соединений.

Таблица 24 Разложение БК штаммом *R. wratislaviensis* KT112-7 при разной концентрации NaCl

| NoC1  | Dnova  | Поотрудения      | Метаболиты, мг/л            |                |                      |  |  |  |
|-------|--------|------------------|-----------------------------|----------------|----------------------|--|--|--|
| NaCl, | Время, | Деструкция,<br>% | ПГБК*, мг/л                 | ПКК**, мг/л    | Пирокатехин,<br>мг/л |  |  |  |
|       | 2      | $81.3 \pm 0.3$   | $27.7 \pm 0.3$              | н.д.***        |                      |  |  |  |
| 0     |        | , ,              | $27,7 \pm 0,3$              | н.д.           | Н.Д.                 |  |  |  |
|       | 24     | $99,9 \pm 0,1$   | $5,4 \pm 0,2$               | $8,84 \pm 0,4$ | $2,3 \pm 0,1$        |  |  |  |
| 20    | 2      | $65,4 \pm 0,2$   | $14,2 \pm 0,1$              | н.д.           | $52,7 \pm 0,2$       |  |  |  |
| 30    | 24     | $92,3 \pm 0,2$   | $6.9 \pm 0.1$ $3.2 \pm 0.2$ | $27,5 \pm 0,1$ |                      |  |  |  |
| 50    | 2      | $66,4 \pm 0,4$   | $27,1 \pm 0,3$              | $9,4 \pm 0,2$  | $71,4 \pm 0,1$       |  |  |  |
| 30    | 24     | $87,3 \pm 0,2$   | $37,4 \pm 0,2$              | $15,5 \pm 0,5$ | $86,8 \pm 0,2$       |  |  |  |
| 60    | 2      | $62,0 \pm 0,3$   | н.д.                        | н.д.           | $110,8 \pm 0,4$      |  |  |  |
| 60    | 24     | $85,4 \pm 0,4$   | н.д.                        | н.д.           | $136,1 \pm 0,3$      |  |  |  |

Примечание. \*ПГБК – *пара*-гидроксибензойная кислота, \*\*ПКК – протокатеховая кислота, \*\*\*н.д. – не детектировалось.

#### 5.4.4 Функциональные гены деструкции ароматических соединений

В результате проведенной работы было показано, что при использовании праймеров к генам *benA*, *phtB* с тотальной ДНК штамма КТ112-7 получены ампликоны, соответствующие по размеру фрагментам генов референтных нуклеотидных последовательностей (таблица 25, приложение 1).

Таблица 25 ПЦР-анализ функциональных генов штамма КТ112-7

| Ген<br>(праймеры) | Фермент                                        | Амплифи-<br>кация с ДНК<br>штамма<br>КТ112-7 |
|-------------------|------------------------------------------------|----------------------------------------------|
| benA (benA)       | Бензоат диоксигеназ (α- субъединица)           | + (521 п.н.)                                 |
| pcaH (Pro3.4)     | Протокатехоат 3,4-диоксигеназа (β-субъединица) | _                                            |
| phtAa (phtA)      | Фталат 3,4-диоксигеназа (α- субъединица)       | _                                            |
| phtB (phtB)       | Фталат 3,4-дегидрогеназа                       | + (445 п.н.)                                 |
| narAa (GN1)       | Нафталин 1,2-диоксигеназа (α- субъединица)     | _                                            |

Примечание. «+» – наличие амплификации, «-» – отсутствие амплификации.

Анализ нуклеотидной последовательности фрагмента гена *benA* показал, что наибольший уровень сходства (98%) наблюдался с аналогичными участками 1,2-диоксигеназы гена бензоат деструкторов ароматических соединений R. iostii RHA1 (GenBank AB055706.1) Rhodococcus DK17 sp. (GenBank EU833983.1). Наибольший уровень сходства (97%) фрагмента гена *phtB* штамма КТ112-7 отмечен с геном нафталин дигидродиол-дегидрогеназы штамма Rhodococcus opacus B4 (GenBank AP011117.1).

#### 5.4.5 Метаболические пути деструкции *орто-*ФК и БК у штамма R. wratislaviensis KT112-7

Анализ соединений, образующихся при культивировании штамма *R. wratislaviensis* КТ112-7 на *орто*-ФК и БК (таблица 23, 24), а также анализ функциональных генов позволил представить вероятную схему метаболических путей деструкции данных соединений исследуемым штаммом (рисунок 28).

разложение орто-ФК аэробными бактериями Известно. ЧТО осуществляться через стадию образования 3,4-дигидроксиили 4,5-дигидроксифталевой кислоты, каждая из которых далее трансформируется до протокатеховой кислоты (ПКК) (Choi et al., 2005; Liang et al., 2008). На основании анализа метаболитов (таблица 23) показано, что штамм КТ112-7 осуществляет разложение орто-ФК через 3,4-дигидроксифталевую кислоту. Данное предположение подтверждает и тот факт, что в результате специфичной phtB, амплификации получен фрагмент гена кодирующего фталат 3,4-*иис*-дигидродиолдегидрогеназу. В ряде работ (Vamsee-Krishna *et al.*, 2006; Liang et al., 2008) описан путь трансформации орто-ФК, в котором ПКК, один основных метаболитов, окисляется протокатехоат 3,4-диоксигеназой (ген рсаН) до 3-карбокси-цис, цис-муконовой кислоты. У исследуемого штамма R. wratislaviensis KT112-7 отсутствовала специфичная амплификация гена pcaH, т.о. вопрос разложения ПКК требует дальнейшего изучения.

Интересный результат получен при анализе метаболического пути разложения БК штаммом КТ112-7 (таблица 24). ВЭЖХ-анализ показал

ПГБК, ПКК и присутствие среде пирокатехина. Предположительно, в штамме КТ112-7 присутствуют два метаболических пути разложения бензоата и при высоком уровне осмотической нагрузки на клетки штамма активируется классический трансформации БК (Borgne al., только ПУТЬ et 2008; Solyanikova et al., 2008) (рисунок 29, a). Известно, что окисление БК пирокатехина осуществляется бензоат 1,2-диоксигеназой ДО (ген benA).  $\mathbf{C}$ фрагмент ДНК исследуемого штамма амплифицирован гена benA, характеризующийся высоким уровнем гомологии c геном бензоат 1,2-диоксигеназы известного деструктора R. jostii RHA1 (Vedler et al., 2009). Анализ литературы и баз данных показал, что среди бактерий метаболический путь, при котором БК под действием бензоат 4-монооксигеназы окисляется до ПГБК, встречается крайне редко и описан для ряда штаммов рода *Pseudomonas* (Reddy, Vaidyanathan, 1976) И ДЛЯ штамма Burkholderia 383 (GenBank CP 000152). Стоит отметить, что у штамма Burkholderia sp. 383 трансформация БК осуществляется последовательно путем образования ПГБК, ПКК и пирокатехина (http://www.genome.jp).

В результате проведенного исследования нами впервые для штаммов рода *Rhodococcus* предложен путь разложения БК через стадию образования ПГБК (рисунок 29, б). Окисление ПГБК до ПКК описано для широкого круга бактерий (Solyanikova *et al.*, 2008). Присутствие среди метаболитов ПКК и пирокатехина (таблица 24), а также тот факт, что у штамма КТ112-7 отсутствовала специфичная амплификация с праймерами к гену протокатехоат 3,4-диоксигеназы, позволяет предположить, что трансформация ПКК происходит путем декарбоксилирования (http://www.brenda-enzymes.info).

Стоит отметить TOT факт, что у штамма КТ112-7 отсутствовала аплификация фрагмента narAa, гена детерминирующего начальные нафталина 25). В этапы деструкции (таблица тоже время тапоси R. wratislaviensis KT112-7 способен к эффективному росту на данном соединении В качестве единственного источника углерода энергии. И

Подобное обстоятельство может свидетельствовать в пользу того, что деструкция нафталина исследуемым штаммом может идти путем, отличным от ранее описанных (Anan'ina *et al.*, 2011).

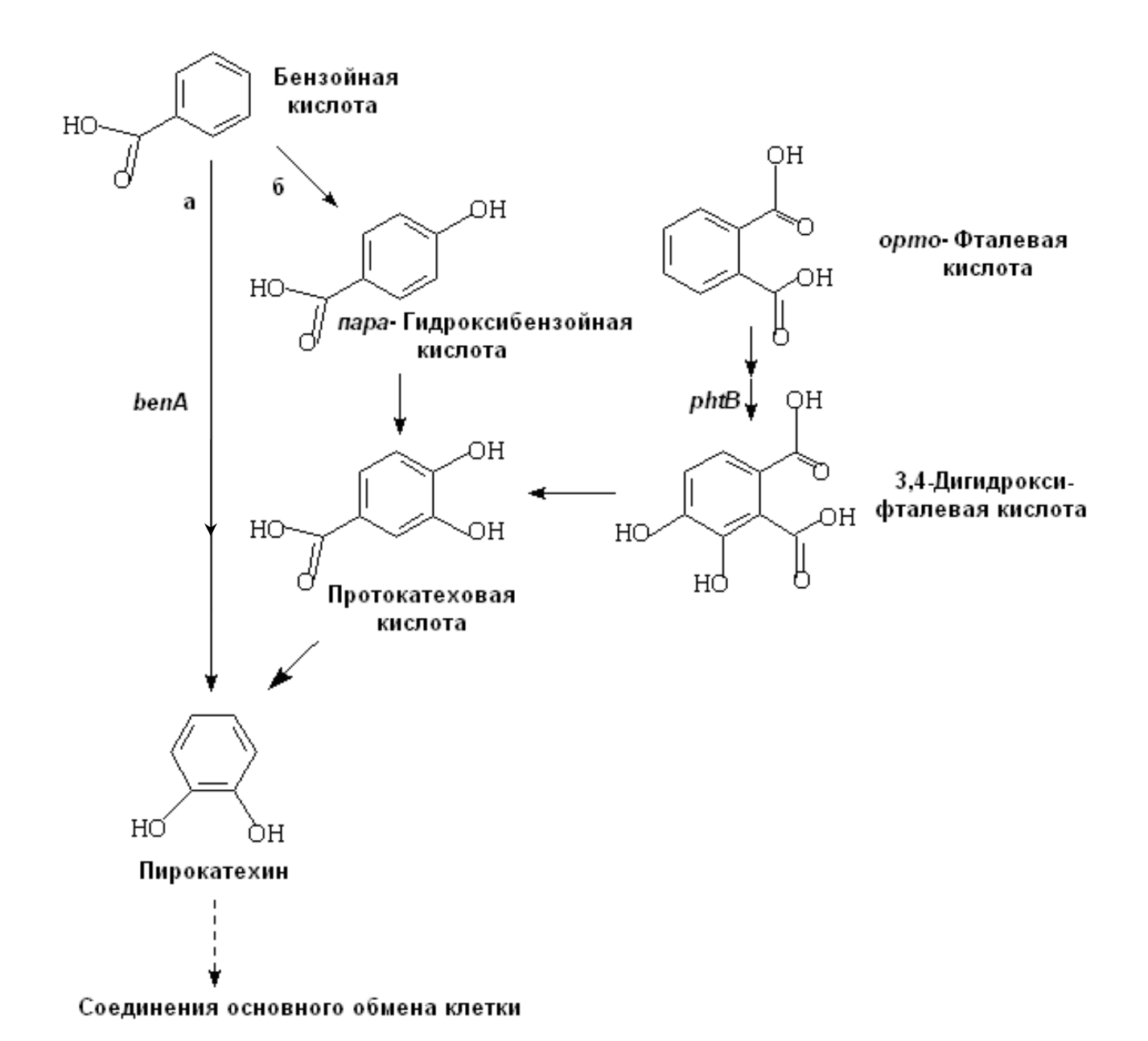


Рисунок 29. **Предложенная схема метаболических путей разложения БК** и *орто-*ФК штаммом *R. wratislaviensis* КТ112-7.

Таким образом, галотолерантный штамм *R. wratislaviensis* KT112-7, выделенный из ТМО района промышленных разработок ВКМКС, обладает уникальным сочетанием путей разложения ароматических соединений.

#### **ЗАКЛЮЧЕНИЕ**

Активная разработка Верхнекамского месторождения калийно-магниевых и натриевых солей, как результат деятельности предприятий соледобычи OAO «Уралкалий» приводит К накоплению значительного количества высокоминерализованных отходов производства в виде галитовых отвалов и глинисто-солевых шламов / ТМО, которые в свою очередь оказывают влияние на прилегающие к ним экотопы (Бабошко, Бачурин, 2009, Шубин, 2005). Подобные обстоятельства способствуют активному распространению районе. Анализ литературных солеустойчивых микроорганизмов в данном данных показал, что информация о галофильных бактериях, изолированных солевых солей, из природных отложений, ИЗ прошедших технологической обработки, и из водных и наземных засоленных участках ВКМКС встречается в единичных исследованиях. Кроме того, территории ВКМКС подвержены комплексной нагрузке за счет не только повышенного уровня минерализации, но и воздействия стойких органических загрязнителей, частности ароматических углеводородов ИΧ производных, В И (Плотникова галогенуглеводородов И фталатов И 2001; др., Бачурин, Одинцова, 2009). Сложившиеся условия являются основой для формирования группы микроорганизмов устойчивых к высокому содержанию соли в среде и способных при этом проявлять биодеградационные свойства.

В настоящей работе было исследовано филогенетическое разнообразие и широкое распространение галофильных бактерий семейства Halomonadaceae биотопах района промышленных солеразработок (приложение Изоляты, которые на основании анализа гена 16S рРНК были отнесены к четырем родам семейства Halomonadaceae - Halomonas, Chromohalobacter, Kushneria и Salinicola, были выделены из образцов породы сильвинита и каменной соли, воды и донных отложений рассолосборников, соляной корки галитовых отвалов, грунта и почвы у подножья солеотвалов. Следует отметить, что наибольшим филогенетическим разнообразием характеризовались микробные сообщества непосредственной близости почв, располагающихся В OT солеотвалов

 $Na^{+}$ 0,34-10,52 (содержание ионов  $M\Gamma$ -ЭКВ/ $100\Gamma$ , соответствующее 78,2-2419,6 мг/кг). Из этих образцов были выделены преимущественно бактерии рода *Halomonas*, близкородственные видам *H. ventosae*, Н. H. sulfidaeris, H. titanicae, H. neptunia, H. variabilis, H. boliviensis и H. taeanensis. В меньшей степени были представлены изоляты родов Salinicola и Kushneria. Что характерно, представители рода Salinicola были выделены с территории БКПРУ-1 г. Березники Пермского края и описаны как новый род семейства  $SMB35^{T}$ Halomonadaceae Salinicola c типовым штаммом socius (Ананьина и др., 2007).

В образцах руд и минеральных отходов производства, характеризующихся высоким содержанием катионов Na<sup>+</sup> 170-1813 мг-экв/100г (39100-416990 мг/кг), были обнаружены галофильные бактерии рода *Chromohalobacter*; близкородственные видам *C. canadensis* и *C. japonicus*, для роста которых необходимо присутствие соли в среде (от 30 до 250 г/л NaCl) (Arahal, 2006). Изоляты, близкие виду *С. japonicus*, выделенные из разных биотопов (TC101, TC111, TC112, TC132 – сильвинит; TC121 – каменная соль; TC52, TC512 – грунт возле солеотвала), характеризовались одинаковым набором ВОХ-ПЦР-продуктов и нуклеотидными последовательностями гена 16S рРНК.

Значительно большим генетическим разнообразием характеризовались изоляты, близкородственные *C. canadensis*. Выявлен генетический полиморфизм штаммов этого филогенетического кластера, выделенных из одного биотопа (галитовые отвалы, грунт возле солеотвала и дно стока рассолосборника). В то же время, в одну геномогруппу входили изоляты рода Chromohalobacter разных биотопов. Так, например, по результатам анализа нуклеотидной последовательности гена 16S рРНК и сравнению профилей, полученных методом ДНК-типирования штаммы ТС11 (сильвинит), ТС122 (каменная соль) и штаммы TC151, TC171, TC181 шламохранилища (образцы ИЗ TMO) оказались идентичными. Также гомологичные ВОХ-профили имели штаммы TC91 (галитовый отвал) и ТС32 (грунт у солеотвала), ТС31 (грунт у солеотвала) и ТС161 из шламохранилища (образец ТМО). Данное обстоятельство может

свидетельствовать, что галофильные бактерии семейства *Halomonadaceae* изначально присутствовали в породе каменной соли и сильвинита, сформированной более 280 миллионов лет назад при высыхании древнего Пермского моря и занесения его осадочными породами, и, далее, сохраняются в галитовых отходах, получающихся в результате технологических обработок в процессе добычи минеральных солей. Вследствие растворения материала галитовых отвалов и выноса солей появляются зоны засоления в радиусе 1-5 м, создавая условия для существования галофильных бактерий.

Полученные данные указывают на присутствие бактерий семейства *Halomonadaceae* как в природных, так и техногенных высокоминерализованных экосистемах района соледобычи Пермского края и интересен тот факт, что данные микроорганизмы обнаружены на разных этапах технологической обработки калийно-магниевых солей.

Помимо изолированных галофильных бактерий (в частности, семейства Halomonadaceae) в исследуемых образцах была обнаружена значительная доля галотолерантных микроорганизмов, наибольшее филогенетическое разнообразие которых было представлено в образцах ризосферы растений, произрастающих в непосредственной близости от солеотвалов. После проведения анализа нуклеотидных последовательностей гена 16S рРНК выделенных штаммов было обнаружено, что среди грамотрицательных прокариот присутствуют все те же бактерии семейства Halomonadaceae (а именно, родов Kushneria, Halomonas и Salinicola). В образцах растительной ризосферы была также обнаружена значительная доля галотолерантных бактерий классов Gammaproteobacteria Pseudomonas. *Marinobacter*), Alphaproteobacteria (родов Alteromonas. (родов Rhizobium, Altererythrobacter, Paracoccus), Flavobacteria (родов Leeuwenhoekiella, Salegentibacter). Кроме того, в исследованных образцах порядка **Bacillales** Bacillus, встречались бактерии (родов Halobacillus, Planomicrobium) и актинобактерии порядка Actinomycetales (родов Isoptericola, Zhihengliuella, Nesterenkonia, Brevibacterium, Kocuria, Micrococcus, Microbacterium, Janibacter). Данный микробный состав существенно отличается от такового

наиболее типичной растительной ризосферы, в которой в большинстве случаев доминируют бактерии рода *Pseudomonas* (класс *Gammaproteobacteria*).

Таким образом, техногенное засоление почвы окрестностях соледобывающего предприятия ОАО «Уралкалий» оказывает сильное влияние на микробное сообщество ризосферной 30НЫ растений, приводящее доминированию галотолерантных и галофильных бактерий, также к увеличению доли бактерий классов Actinobacteria и Bacilli в ризосферной зоне.

В результате проведенного исследования по поиску солеустойчивых бактерий-деструкторов стойких органических загрязнителей из образцов техногенно-минеральных образований были выделены чистые культуры микроорганизмов, которые при дальнейшем филогенетическом анализе проявили наибольшее сходство по гену 16S рРНК с представителями классов *Bacilli*, *Gammaproteobacteria*, *Actinobacteria* и *Alphaproteobacteria*.

Активный штамм-деструктор арматических углеводородов *Rhodococcus* wratislavensis KT112-7 (=BKM AC 2631D) был изучен более подробно. Установлено, что R. wratislavensis KT112-7 осуществляет утилизацию высоких концентраций *орто*-фталевой кислоты (8 г/л), бензойной кислоты (3,4 г/л) и растет на *орто*-ФК и БК при содержании NaCl в среде культивирования до 75 г/л и 90 г/л соответственно. На основании анализа метаболического профиля и нуклеотидных последовательностей генов benA и phtB установлено, что штамм KT112-7 осуществляет разложение орто-ФК через стадии образования 3,4-дигидроксифталевой и протокатеховой кислот, разложение БК при низких концентрациях NaCl (до 50 г/л) через образование ПГБК с последующим ее окислением, а при высоких концентрациях NaCl (от 60 г/л) – путем прямого окисления бензойной кислоты до пирокатехина. Кроме того, данный штамм способен к деструкции бифенила и полихлорированных бифенилов, что было показано в исследованиях Егоровой Д.О. с коллегами (Егорова и др., 2013). Полученные результаты позволяют рекомендовать данный штамм для использования в биотехнологиях утилизации (трансформации) ароматических соединений в условиях повышенной минерализации.

# ВЫВОДЫ

- 1. Выделено в чистую культуру, охарактеризовано и идентифицировано 157 штаммов аэробных бактерий из различных образцов района разработок Верхнекамского месторождения солей: ископаемых (подземных) соляных залежей и наземных техногенных объектов отходов калийного производства, засоленной почвы, рассолосборников. На основании филогенетического анализа (ген 16S рРНК) бактерии были отнесены к 40 родам (более 120 видам), входящим в состав 24 семейств 4 филумов: «Proteobacteria», «Actinobacteria», «Bacteroidetes» и «Firmicutes». Выявлены потенциальные представители новых таксонов в составе классов Flavobacteriia и Gammaproteobacteria.
- 2. Показано повсеместное распространение на территории промышленных солеразработок Верхнекамского месторождения галофильных бактерий семейства *Halomonadaceae* (класс *Gammaproteobacteria*). Представители рода *Chromohalobacter* (сем. *Halomonadaceae*) доминировали в образцах руд (сильвинит, каменная соль) и в наземных высокоминерализованных образцах (галитовые отходы, донные отложения рассолосборников).
- 3. Установлено, что техногенное засоление почвы является определяющим фактором, влияющим на таксономический состав бактериального сообщества произрастающих в районе ризосферы растений, складирования предприятия ОАО «Уралкалий» (г. Соликамск, Пермский край): доминирующими являются галофильные бактерии семейства Halomonadaceae группами (родов Halomonas, Kushneria, Salinicola) и галотолерантные бактерии класса Actinobacteria (родов Brevibacterium, Isoptericola, Kocuria, Zhihengliuella. Streptomyces, Nesterenkonia, Microbacterium, Micrococcus, Arthrobacter. Salinibacterium, Janibacter) и класса Bacilli (родов Bacillus, Planomicrobium, Halobacillus, Virgibacillus, Oceanobacillus).
- 4. В отходах (техногенно-минеральных образованиях) соледобывающего предприятия (г. Березники, Пермский край) преобладают галотолерантные бактерии родов *Arthrobacter* и *Rhodococcus* (класс *Actinobacteria*), являющиеся деструкторами моно(поли)ароматических углеводородов (нафталина, бифенила,

бензола, толуола, фенола, бензойной, *орто*-фталевой, *пара*-гидроксибензойной и протокатеховой кислот).

- 5. Галотолерантный штамм *Rhodococcus wratislaviensis* КТ112-7 (=ВКМ АС 2631D), выделенный из техногенно-минеральных образований, способен утилизировать нафталин, *орто*-фталевую и бензойную кислоты в присутствии повышенных концентраций хлорида натрия (50 г/л, 90 г/л и 75 г/л, соответственно).
- 6. Показано, что при разложении бензойной кислоты (БК) в условиях повышенной минерализации среды (концентрация NaCl выше 60 г/л) в клетках штамма *R. wratislaviensis* КТ112-7 активируются ферментные системы «классического» пути утилизации БК через пирокатехин. При меньшем содержании соли в среде культивирования деструкция БК штаммом КТ112-7 осуществляется через стадию образования *пара*-гидроксибензойной кислоты, такой путь разложения БК впервые выявлен у грамположительных бактерий.

# СПИСОК ПРИНЯТЫХ СОКРАЩЕНИЙ

3,4-ГФК – 3,4-дигидроксифталевая кислота

БК – бензойная кислота

БСР – богатая среда Раймонда

ВКМКС – Верхнекамское месторождение калийно-магниевых и натриевых солей

ВЭЖХ – высокоэффективная жидкостная хроматография

ДГГЭ – денатурирующий градиентный гель электрофорез

КОЕ – количество колониеобразующих единиц

МСР – минеральная среда Раймонда

НК – накопительная культура

ОП – оптическая плотность

орто-ФК – орто-фталевая кислота

ПАУ – полициклические ароматические углеводороды

ПГБК – пара-гидроксибензойная кислота

ПКК – протокатеховая кислота

ПЦР – полимеразная цепная реакция

СОЗ – стойкие органические загрязнители

ТМО – техногенно-минеральные образования

ТПО – техногенные поверхностные образования

ЭДТА – этилендиаминтетрауксусная кислота

ARDRA (amplified 16S rDNA restriction analysis) – рестрикционный анализ амплифицированных рибосомальных ДНК

BOX-ПЦР (polymerase chain reaction of repetitive BOX elements) – полимеразная цепная реакция повторяющихся BOX-элементов

REP-ПЦР (polymerase chain reaction of repetitive extragenic palindromic elements) – полимеразная цепная реакция повторяющихся экстрагенетических палиндромных последовательностей ДНК

ТВЕ (tris-borate-EDTA buffer) – буфер трис-борат-ЭДТА

#### СПИСОК ЛИТЕРАТУРЫ

- 1. Алтынцева, О.В. Галотолерантные бактерии-деструкторы полициклических ароматических углеводородов: дис....канд. биол. наук: 03.00.07 / Алтынцева Ольга Викторовна. Пермь, 2001. 139 с.
- 2. Ананьина, Л.Н. Нафталинметаболизирующий консорциум микроорганизмов, выделенный из засоленной почвы: : дис....канд. биол. наук: 03.00.07 / Ананьина Людмила Николаевна. Пермь, 2007. 166 с.
- 3. Бабошко, А.Ю. Тяжелые металлы в отходах калийной промышленности / А.Ю. Бабошко, Б.А. Бачурин // Горный информационно-аналитический бюллетень (научно-технический журнал). 2009. №5. С. 369-376.
- 4. Бабошко, А.Ю. Физико-химические факторы формирования отходов флотации сильвинита / А.Ю. Бабошко, Б.А. Бачурин // Горный информационно-аналитический бюллетень (научно-технический журнал). 2011. N = 6. С. 120-125.
- 5. Бабошко, А.Ю. Экологические проблемы Верхнекамского калия. / А.Ю. Бабошко, Б.А. Бачурин // Горное эхо Вестник горного института. 2004. Notequal 4. C. 44-47.
- Бактериальная деструкция смеси, полученной при химической модификации полихлорированных бифенилов полиэтиленгликолями / Д.О. Егорова [и др.] // Биотехнология. 2013. № 4. С. 56-64.
- 7. Бактерии-деструкторы полициклических ароматических углеводородов, выделенные из почв и донных отложений района солеразработок / Е.Г. Плотникова [и др.] // Микробиология. -2001.-T.70, № 1.-C.61-69.
- 8. Бачурин, Б.А. Отходы горно-обогатительного производства как источники эмиссии органических поллютантов / Б.А. Бачурин, Т.А. Одинцова. // Горный информационно-аналитический бюллетень. 2009. № 7. С. 374-380.
- 9. Белкин, В.В. Состояние геологической среды Верхнекамского соленосного бассейна / В.В. Белкин // Разведка и охрана недр. 2008. № 8. С. 77-82.

- 10. Бердичевская, М.В. Особенности физиологии родококков разрабатываемых нефтяных залежей / М.В. Бердичесвская // Микробиология. 1989. Т. 58, № 1. С. 60-65.
- 11. Боронин, А.М. Клонирование генов *Pseudomonas putida*, ответственных за первые этапы окисления нафталина в клетки *Escherichia coli* / А.М. Боронин, Т.В. Цой, И.А. Кошелева // Генетика. 1989. Т. 25, № 2. С. 226-237.
- 12. Верхнекамское месторождение калийно-магниевых солей [Электронный ресурс]: Сектор информационных систем ОАО «Галургия». Режим доступа: http://www.berezniki-gaz.narod.ru/31102006/karta100\_green.pdf (20.01.2014).
- 13. Взаимосвязь кинетики роста и дыхания у родококков в присутствии высоких концентраций солей / В.К. Плакунов [и др.] // Микробиология. 1999. Т. 68, № 1. С. 40-44.
- 14. Влияние солености среды на деструкцию нефтяных масел нокардиоподобными бактериями / И.С. Звягинцева [и др.] // Микробиология. 2001. T. 70, № 6. C. 759-764.
- 15. Галотолерантные бактерии рода *Arthrobacter* деструкторы полициклических ароматических углеводородов / Е.Г. Плотникова [и др.] // Экология. 2011. № 6. С. 459-466.
- 16. Демченко, М.М. Ризосферные микроорганизмы в системе почварастение / М.М. Демченко // Известия Нижневолжского агроуниверситетского комплекса: наука и высшее профессиональное образование. 2008. Т. 3, № 11. С. 15-18.
- 17. Деткова, Е.Н. Осмоадаптация галоалкалофильных бактерий: роль осморегуляторов и возможности их практического применения / Е.Н. Деткова, Ю.В. Болтянская // Микробиология. 2007. Т. 76, № 5. С. 581-593.
- 18. Ерёмченко, О.З. Почвенно-экологические условия зоны солеотвалов и адаптация к ним растений / О.З. Ерёмченко, О.А. Лымарь // Экология. 2007.  $N_2 1. C. 18-23.$

- 19. Звягинцев, Д.Г. Растения как центры формирования бактериальных сообществ / Д.Г. Звягинцев, Т.Г. Добровольская, Л.В. Лысак // Журнал общей биологии. 1993. Т. 54, № 2. С. 183-199.
- 20. Калакуцкий, Л.В. Актиномицеты и высшие растения / Л.В. Калакуцкий, Л.С. Шарая // Успехи микробиологии. 1990. Т. 24. С. 26-65.
- 21. Кашнер, Д. Жизнь микробов в экстремальных условиях // Д. Кашнер. М.: Мир, 1981. 365 с.
- 22. Косков, Б.В. О корреляции разнофациальных толщ по данным ГИС / Б.В. Косков, А.И. Сулима // ПермНИПИнефть. 2000.
- 23. Кулакова, А.Н. Мутанты плазмид биодеградации нафталина, детерминирующие окисление катехола по *мета*-пути / А.Н. Кулакова, А.М. Боронин // Микробиология. 1989. Т. 25, №2. С. 298-304.
- 24. Кусакина, М.Г. Влияние техногенного засоления на некоторые биохимические показатели растений, произрастающих в зоне солеотвалов / М.Г. Кусакина, О.З. Еремченко, О.А. Четина // Вестник Пермского университета. Серия: Биология. 2013. Т. 1. С. 18-22.
- 25. Лымарь, О.А. Деградация почвенно-растительного покрова в зоне воздействия солеотвалов / О.А. Лымарь, О.З. Ерёмченко // Успехи современного естествознания. 2005. № 4. С. 35-36.
- 26. Методы общей бактериологии: Пер. с англ.; под ред. Ф. Герхардт [и др.] – М.: Мир, 1983. – Том 1, 2, 3.
- 27. Нетрусов, А.И. Практикум по микробиологии / А.И. Нетрусов [и др.] М.: Академия, 2005. 608 с.
- 28. Окисление углеводородов нефти экстремально галофльными архебактериями / И.С. Куличевская [и др.] // Микробиология. 1991. Т. 60,  $N_2$  5. С. 860-866.
- 29. Проворов Н.А. Растительно-микробные симбиозы как эволюционный континуум / Н.А. Проворов // Журнал общей биологии. –2009. Т. 70, № 1. С. 10-34.

- 30. Разложение хлорированных бифенилов и продуктов их биоконверсии штаммом *Rhodococcus* sp. B7a / Д.О. Егорова [и др.] // Прикл. биохимия и микробиология. 2010. Т. 46, № 6. С. 644-650.
- 31. Разнообразие генетических систем биодеградации нафталина у штаммов *Pseudomonas fluorescens* / Т.Ю. Измалкова [и др.] // Микробиология. -2005. T. 74, № 1. C. 70-78.
- 32. Реутских, Е.М. *Exiguobacterium* sp. RS34 галоалкалотолерантная факультативно анаэробная неспорообразующая бактерия порядка *Bacillales* из шламохранилища калийного рудника / Е.М. Реутских, А.И. Саралов // Вестник Пермского университета. Серия: Биология. 2012. № 3. С. 49-53.
- 33. Смирнов, В.В. Бактерии рода *Pseudomonas* / В.В. Смирнов, Е.А. Киприанова // Киев: Наук. думка, 1990. 234 с.
- 34. Старовойтов, И.И. Регуляция синтеза ключевых ферментов катаболизма нафталина у *Pseudomonas putida* и *Pseudomonas fluorescens*, несущих плазмиды биодеградации NAH, pBS2 и NPL-1 / И.И. Старовойтов // Микробиология. 1985. Т. 54. С. 755-762.
- 35. Структурная и функциональная вариабельность генетических систем катаболизма полициклических ароматических углеводородов у штаммов Pseudomonas putida / И.А. Кошелева [и др.] // Генетика . − 2003. − Т. 39, № 9. − С. 1185-1192 .
- 36. Три новых вида бревибактерий *Brevibacterium antiquum* sp. nov., *Brevibacterium aurantiacum* sp. nov. и *Brevibacterium permense* sp. nov. / Е.Ю. Гавриш [и др.] // Микробиология. 2004. Т. 73, № 2. С. 218-225.
- 37. Углеводородокисляющая микрофлора заводняемых нефтяных месторождений Татарии с различной минерализацией пластовых вод / Е.И. Милехина [и др.] // Микробиология. 1991. Т. 60, № 4. С. 747-755.
- 38. Характеристика микроорганизмов, выделенных из техногенных почв Прикамья / Е. Г. Плотникова [и др.] // Экология. 2006. № 4. С. 261-268.

- 39. Штамм *Pseudomonas putida* BS3701 деструктор фенантрена и нафталина / Н.В. Балашова [и др.] // Микробиология. 1997. Т. 66, № 4. С. 488-493.
- 40. Шубин, А.А. Решение экологических проблем на заключительной стадии функционирования горного предприятия / А.А. Шубин // Горный информационно-аналитический бюллетень (научно-технический журнал).  $2005. \mathbb{N} \ 11. \mathbb{C}. \ 168-173.$
- 41. Экстремофильные микроорганизмы: биохимическая адаптация и биотехнологическое применение / Е. В. Морозкина [и др.] // Прикладная биохимия и микробиология. 2010. Т. 46, № 1. С. 5-20.
- 42. Юрчак, Л.Д. Микрофлора и аллелопатические способности растений семейства крестоцветных / Л.Д. Юрчак, Ю.А. Утеуш, Т.В. Омельченко // Взаимодействие растений и микроорганизмов в фитоценозах. Киев: Наук. думка, 1977. С. 161-167.
- 43. Ястребова, О.В. Бактерии рода *Bacillus*, выделенные из почв района солеразработок / О.В. Ястребова, Л.Н. Ананьина, Е.Г. Плотникова // Вестник Пермского университета. Серия: Биология. − 2008. − № 9. − С. 58-62.
- 44. *Arhodomonas recens* sp. nov. умеренно галофильная гаммапротеобактерия из рассолов флотационного обогащения калийных минералов / А.И. Саралов [и др.] // Микробиология. 2012а. Т. 81, № 5. С. 630-637.
- 45. *Halarchaeum solikamskense* sp. nov. термо-толерантный нейтрофильный галоархаеон из пенных продуктов флотационного обогащения калийных минералов / А.И. Саралов [и др.] // Микробиология. 2012б. Т.81, №5. С. 638-644.
- 46. *Salinicola socius* gen. nov., sp. nov. умеренно галофильная бактерия из ассоциации микроорганизмов, утилизирующей нафталин / Л.Н. Ананьина [и др.] // Микробиология. 2007. Т. 76, № 3. С. 369-376.

- 47. *Streptomyces albiaxalis* sp. nov.; новый деградирующий углеводороды нефти вид термо- и галотолерантных *Streptomyces* / В.Д. Кузнецов [и др.] // Микробиология. 1992. Т. 61. С. 62-67.
- 48. 16S rRNA gene sequence analysis of halophilic and halotolerant bacteria isolated from a hypersaline pond in Sichuan, China / J. Tang [et al.] // Ann. Microbiol. 2011. V. 61. P. 375-381.
- 49. A drought resistance-promoting microbiome is selected by root system under desert farming / R. Marasco [*et al.*] // PLoS ONE. 2012. V. 10, № 7. P. 1-14.
- 50. A gene cluster encoding steps in conversion of naphthalene to gentisate in *Pseudomonas* sp. strain U2 / S.L. Fuenmayor [*et al.*] // J. Bacteriol. 1998. V. 180 P. 2522-2530.
- 51. A halotolerant and thermotolerant *Bacillus* sp. degrades hydrocarbons and produces tensio-active emulsifying agent / K. Manoj [*et al.*] // J. Microbiol. Biotechnol. 2007. V. 23. P. 211-220.
- 52. A novel pathway of aerobic benzoate catabolism in the bacteria *Azoarcus* evansii and *Bacillus stearothermophilus* / A. Zaar [et al.] // J. Biol. Chem. 2001. V. 276, №. 27. P. 24997-25004.
- 53. A *Rhodococcus* species that thrives on medium saturated with liquid benzene / M. Luz [et al.] // Microbiology. 1997. V. 143. P. 2975-2981.
- 54. Agency for toxic substances and disease registry [Электронный ресурс]: information about harmful exposures and diseases related to toxic substances.— Режим доступа: http://www.atsdr.cdc.gov/toxprofiles/tp17.html (20.08.2013).
- 55. Aislabie, J. Aromatic hydrocarbon-degrading bacteria from soil near Scott base, Antarctica / J. Aislabie, J. Foght, D. Saul // Polar. Biol. 2000. V. 23. P. 183-188.
- 56. Alva, V.A. Phenol and catechol biodegradation by the haloalkaliphile *Halomonas campisalis*: influence of pH and salinity / V.A. Alva, B.M. Peyton // Environ. Sci. Technol. 2003. V. 37. P. 4397-4402.

- 57. Arahal, D.R. The family *Halomonadaceae* // The Prokaryotes: a handbook on the biology of bacteria. 3<sup>rd</sup> ed. / Eds. M. Dworkin, S. Falkow, E. Rosenberg, K.H. Schleifer, E. Stackebrandt // New York.: Springer, 2006. V. 6. P. 811-835.
- 58. Ashok, B.T. Isolation and characterization of four polycyclic aromatic hydrocarbon degrading bacteria from soil near an oil refinery / B.T. Ashok, S. Saxena, J. Musarrat // Lett. Appl. Microbiol. 1995. V. 21. P. 246-248.
- 59. ATCC medium: 213 «*Halobacterium* medium» [Электронный ресурс]: microbial media of private biological resource center ATCC Режим доступа: https://www.atcc.org/~/media/2DB3DC353ECE44A6BDB7CA5965614347.ashx (20.01.2014).
- 60. *Bacillus krulwichiae* sp. nov., a halotolerant obligate alkaliphile that utilizes benzoate and *m*-hydroxybenzoate / I. Yumoto [*et al.*] // Int. J. Syst. Evol. Microbiol. 2003. V. 53. P. 1531-1536.
- 61. Biodegradation of aromatic hydrocarbons in an extremely acidic environment / R.D. Stapleton [et al.] // Appl. Environ. Microbiol. 1998.–V. 64. P. 4180-4184.
- 62. Biodegradation of hydrocarbons by an extremely halophilic archaebacterium / J.C. Bertrand [et al.] // Lett. Appl. Microbiol. 1990. V. 11. P. 260-263.
- 63. Borgne, S. Biodegradation of organic pollutants by halophilic bacteria and archaea / S. Le Borgne, D. Paniagua, R. Vazquez-Duhalt // J. Mol. Microbiol. Biotechnol. 2008. V. 15. P. 74–92.
- 64. Bosch, R. NahW, a novel, inducible salicylate hydroxylase involved in mineralization of naphthalene by *Pseudomonas stutzeri* AN10 / R. Bosch, E.R.B. Moore, E. Garcia-Valdes // J. Bacteriol. 1999. V. 181. P. 2315-2322.
- 65. BRENDA [Электронный ресурс]: The main collection of enzyme functional data available to the scientific community. Режим доступа: http://www.brenda-enzymes.info (20.01.2014).
- 66. Carvalho, C.C.C.R. Degradation of hydrocarbons and alcohols at di.erent temperatures and salinities by *Rhodococcus erythropolis* DCL14 /

- C.C.C.R. de Carvalho, M. Manuela, R. da Fonseca // FEMS Microbiol. Ecol. 2005. V. 51. P. 389-399.
- 67. Catabolism of benzoate and phthalate in *Rhodococcus* sp. strain RHA1: redundancies and convergence / M.A. Patrauchan, [et al.] // J. Bacteriol. 2005. V. 187 (12). P. 4050-4063.
- 68. Characterization of halophilic bacteria from environmental samples from the brackish water of Pulicat Lake, India / H. Sahay [et al.] // Biologia. 2011. V. 66 (5). P. 741-747.
- 69. Characterization of *Rhodococcus opacus* R7, a strain able to degrade naphthalene and o-xylene isolated from a polycyclic aromatic hydrocarbon-contaminated soil / P.Di Gennaro [*et al.*] // Res. Microbiol. 2001. V. 152. P. 641-651.
- 70. *Chromohalobacter nigrandesensis* sp. nov., a moderately halophilic, Gramnegative bacterium isolated from Lake Tebenquiche on the Atacama Saltern, Chile / B. Prado [*et al.*] // Int. J. Syst. Evol. Microbiol. 2006. V. 56. P. 647-651.
- 71. *Chromohalobacter salexigens* sp. nov., a moderately halophilic species that includes *Halomonas elongata* DSM 3043 and ATCC 33174 / D.R. Arahal [*et al.*] // International Journal of Systematic and Evolutionary Microbiology. 2001b. V. 51. P. 1457-1462.
- 72. *Chromohalobacter sarecensis* sp. nov., a psychrotolerant moderate halophile isolated from the saline Andean region of Bolivia / J. Quillaguaman [*et al.*] // Int. J. Syst. Evol. Microbiol. 2004. V. 54. P. 1921-1926.
- 73. Chung, W. K. Isolation, characterization, and polyaromatic hydrocarbon degradation potential of aerobic bacteria from marine macrofaunal burrow sediments and description of *Lutibacterium anuloederans* gen. nov., sp. nov., and *Cycloclasticus spirillensus* sp. nov. / W. K. Chung, G. M. King // Appl. Environ. Microbiol. 2001. V. 67. P. 5585–5592.
- 74. Classification of *«Chromobacterium marismortui»* in a new genus, *Chromohalobacter* gen. nov., as *Chromohalobacter marismortui* comb. nov., nom. rev. / A. Ventosa [*et al.*] // Int. J. Syst. Bacteriol. 1989. V. 39. P. 382-386.

- 75. Cloning and characterization of a novel *cis*-naphthalene dihydrodiol dehydrogenase gene (*nar*B) from *Rhodococcus* sp. NCIMB12038 / L.A. Kulakov [*et al.*] // FEMS Microbiol. Lett. 2000. V. 182. P. 327-331.
- 76. Co-metabolism of di- and trichlorobenzoates in a 2-chlorobenzoate-degrading bacterial culture: Effect of the position and number of halo-substituents / G. Baggi [et al.] // Int. Biodeter. Biodegrad. -2008. V. 62, No. 1. P. 57-64.
- 77. Community of extremely halophilic bacteria in historic Dagong brine well in southwestern China / W.L. Xiang [et al.] // World J. Microbiol. Biotechnol. 2008. V. 24. P. 2297-2305.
- 78. *Cycloclasticus pugetii* gen. nov., sp. nov., an aromatic hydrocarbon-degrading bacterium from marine sediments / S.E. Dyksterhouse [*et al.*] // Int. J. Syst. Bacteriol. 1995. V. 45. P. 116-123.
- 79. Dagley, S. The bacterial degradation of catechol / S. Dagley, D.T. Gibson // Biochem. Journal. 1965. V.95. P.466-474.
- 80. Defrank, J.J. Purification and properties of an organophosphorus acid anhydrase from a halophilic bacterial isolate / J.J. Defrank, T.C. Cheng // J. Bacteriol. 1991. P. 1938-1943.
- 81. Diversity of moderately halophilic bacteria producing extracellular hydrolytic enzymes / C. Sanchez-Porro [et al.] // J. Appl. Microbiol. -2003. V. 94,  $N_{\odot} 2. P. 295-300$ .
- 82. Eaton, R.W. Plasmid-encoded phthalate catabolic pathway in *Arthrobacter keyseri* 12B / R.W. Eaton // J. Bacteriol. 2001. V. 183, № 12. P. 3689-3703.
- 83. Enumeration and phylogenetic analysis of polycyclic aromatic hydrocarbon-degrading marine bacteria from puget sound sediments / A.D. Geiselbrecht [*et al.*] // Appl. Environ. Microbiol. 1996. V. 62. P. 3344-3349.
- 84. EzTaxon [Электронный ресурс]: A web-based tool for the identification of prokaryotes based on 16S ribosomal RNA gene sequences. Режим доступа: http://www.eztaxon.org (26.08.2013).

- 85. Franzmann, P.D. *Halomonadaceae* fam. nov., a new family of the class *Proteobacteria* to accommodate the genera *Halomonas* and *Deleya* / P.D. Franzmann, U. Wehmeyer, E. Stackebrandt // Syst. Appl. Microbiol. 1988. V. 11. P. 16–19.
- 86. García, M.T. Catabolic versatility of aromatic compound-degrading halophilic bacteria / M.T. García, A. Ventosa, E. Mellado // FEMS Microbiol. Ecol. − 2005. V. 54, № 1. P. 97-109.
- 87. Garrity, G.M. Class III. *Gammaproteobacteria* class. nov. / G.M. Garrity, J.A. Bell, T. Lilburn // Bergey's Manual of Systematic Bacteriology : Eds. D.J. Brenner [*et al.*] 2rd edn. New York.: Springer, 2005. V. 1.
- 88. GenomeNet Database Resources [Электронный ресурс]: Japanese network of database and computational services for genome research and related research areas in biomedical sciences. Режим доступа: http://www.genome.jp (11.02.2013).
- 89. Genomic fingerprinting of bacteria using repetitive sequence-based polymerase chain reaction / J. Versalovic [et al.] // Meth. Cell. Mol. Biol. 1994. V. 5. P.25-40.
- 90. Genus Idiomarina [Электронный ресурс]: Database of Prokaryotic names with Standing in Nomenclature. Режим доступа: http://www.bacterio.net/idiomarina.html (20.01.2014).
- 91. Grund E. Naphthalene degradation via salicylate and gentisate by *Rhodococcus* sp. strain B4 / E. Grund, B. Denecke, R. Eichenlaub // Appl. Environ. Microbiol. 1992. V. 58. P. 1874-1877.
- 92. *Haloferax* sp. D 1227, a halophilic archaeon capable of growth on aromatic compounds / D. Emerson [et al.] // Arch. Microbiol. 1994. V. 161. P. 445-452.
- 93. *Halomonas maura* is a physiologically versatile bacterium of both ecological and biotechnological interest / I. Llamas [*et al.*] // Antonie van Leeuwenhoek. 2006. V. 89 (3-4). P. 395-403.
- 94. *Halomonas organivorans* sp. nov., a moderate halophile able to degrade aromatic compounds / M.T. Garcýa [*et al.*] // Int. J. Syst. Evol. Microbiol. 2004. V. 54. P. 1723-1728.

- 95. *Halomonas ventosae* sp. nov., a moderately halophilic, denitrifying, exopolysaccharide-producing bacterium / M.J. Martinez-Canovas [*et al.*] // Int. J. Syst. Evol. Microbiol. 2004. V. 54. P. 733-777.
- 96. *Halomonas zhaodongensis* sp. nov., a slightly halophilic bacterium isolated from saline-alkaline soils in Zhaodong, China / J. Jiang [*et al.*] // Antonie Van Leeuwenhoek. 2013. [Epub ahead of print].
- 97. Halophiles taxonomy, diversity, physiology and applications. In: T. Satyanarayana, Anil Prakash, Bhavdish Narain Johri. Microorganisms in Environmental Management: Microbes and Environment / P.P. Kanekar [*et al.*] // Springer. 2012. P. 1-34.
- 98. Halotolerant aerobic heterotrophic bacteria from the great salt plains of Oklahoma / T.M. Caton [et al.] // Microbial Ecology. 2004. V. 48. P. 449-462.
- 99. Hardwood, C.S. The  $\beta$ -ketoadipate pathway and the biology of self-identity / C.S. Hardwood, R.E. Parales // Ann. Rev. Microbiol. 1996. V. 50. P. 553-590.
- 100. Hedi, A. Studies on the biodiversity of halophilic microorganisms isolated from El-Djerid Salt Lake (Tunisia) under aerobic conditions / A. Hedi, N. Sadfi, M.L. Fardeau // Int. J. Microbiol. 2009. 17 p.
- 101. Hedlund, B.P. *Vibrio cyclotrophicus* sp. nov., a polycyclic aromatic hydrocarbon (PAH)-degrading marine bacterium / B.P. Hedlund, J.T. Staley // Int. J. Syst. Evol. Microbiol. 2001. V. 51. P. 61-66.
- 102. Hinteregger, C. *Halomonas* sp., a moderately halophilic strain, for biotreatment of saline phenolic waste-water / C. Hinteregger, F. Streichsbier // Biotechnol. Lett. 1997. V. 19. P. 1099-1102.
- 103. Holman, H.Y.N. Mineralization of sparsely water-soluble polycyclic aromatic hydrocarbons in a water table fluctuation zone / H.Y.N. Holman, Y.W. Tsang, W.R. Holman // Envir. Sci. Technol. 1999. V. 33. P. 1819-1824.
- 104. Isolation and characterization of a phosphate-solubilizing halophilic bacterium *Kushneria* sp. YCWA18 from Daqiao saltern on the coast of Yellow Sea of

- China / F. Zhu [*et al.*] // Evidence-Based Complementary and Alternative Medicine. 2011. V. 2011. Article ID 615032. 6 pages.
- 105. Isolation and characterization of naphthalene-degrading strains, *Pseudomonas* sp. CZ2 and CZ5 / W. Zhou [*et al.*] // African J. Microbiol. Res. 2013. V. 7 (1). P. 13-19.
- 106. Isolation of DNA from saltern soils collected in Taiwan and whole-genome amplification of minute amounts of DNA for construction of metagenomic libraries / S.J. Lin [*et al.*] // African J. Microbiol. Res. 2013. V. 7 (23). P. 2843-2852.
- 107. Isolation of marine polycyclic aromatic hydrocarbon (PAH)-degrading *Cycloclasticus* strains from the gulf of Mexico and comparison of their PAH degradation ability with that of puget sound *Cycloclasticus* strains / A.D. Geiselbrecht [et al.] // Appl. Environ. Microbiol. 1998. V. 64. P. 4703-4710.
- 108. Isolation of naphthalene-degrading bacteria from tropical marine sediments / W.Q. Zhuang [et al.] // Water Sci. Technol. 2003. V. 47 (1). P. 303-308.
- 109. Isolation of phthalic acid degrading *Pseudomonas* sp P1 from soil / S. Murad [*et al.*] // Pakistan Journal of Botany. 2007. V. 39 (5). P. 1833-1841.
- 110. Jones, R.M. The naphthalene catabolic (*nag*) genes of *Ralstonia* sp. strain U2 are an operon that is regulated by NagR, a LysR-type transcriptional regulator / R.M. Jones, B. Britt-Compton, P.A. Williams // J. Bacteriol. −2003. − V. 185, № 19. − P. 5847–5853.
- 111. Jose, P.A. Phylogenetic diversity of actinomycetes cultured from coastal multipond solar saltern in Tuticorin, India / P.A. Jose, S. Robinson, D. Jebakumar. // Aquatic Biosystems. 2012. V. 8. P. 23-25.
- 112. Jukes, T.H. Evolution of protein molecules / T.H. Jukes, C.R. Cantor // Mamallian protein Metabolism / Ed. Munro H. N. New York: Academic press, 1969. P. 21-132.
- 113. Kasai, Y. Bacteria belonging to the genus *Cycloclasticus* play a primary role in the degradation of aromatic hydrocarbons released in a marine environment / Y. Kasai, K. Kishira, S. Harayama // Appl. Environ. Microbiol. 2002. V. 68. P. 5625-5633.

- 114. Kaye, J.Z. High incidence of halotolerant bacteria in Pacific hydrothermal-vent and pelagic environments / J.Z. Kaye, J.A. Baross // FEMS Microbiol. Ecol. 2000. V. 32. P. 249-260.
- 115. Key aromatic-ring-cleaving enzyme, protocatechuate 3,4-dioxygenase, in the ecologically important marine *Roseobacter* lineage / A. Bucha [*et al.*] // Appl. Environ. Microbiol. 2000. V. 66. P. 4662-4672.
- 116. Knapp, S. Extrinsic protein stabilization by the naturally occurring osmolytes  $\beta$ -hydroxyectoine and betaine / S. Knapp, R. Landstein, E.A. Galinski // Extremophiles. 1999. V. 3. P. 191-198.
- 117. Lane, D.J. 16S/23S rRNA sequencing. In: Nucleic acid techniques in bacterial systematics / eds Stackebrandt E., Goodfellow M. New York.: John Wiley and Sons, 1991. P. 115-175.
- 118. Liang, D.W. Phthalates biodegradation in the environment / D.W. Liang, T. Zhang, H. Fang //Appl. Microbiol. Biotechnol. 2008. V. 80. P. 183-198.
- 119. List of Prokaryotic names with Standing in Nomenclature [Электронный ресурс]: Database of Prokaryotic names with Standing in Nomenclature. Режим доступа: http://www.bacterio.cict.fr/h/halomonadaceae.html (20.01.2014).
- 120. Loh, K.C. *Ortho*-pathway of benzoate degradation in *Pseudomonas putida*: induction of *meta* pathway at high substrate concentrations / K.C. Loh, S.S. Chua // Enzyme and Microbial Technology. 2002. V. 30. P. 620-626.
- 121. Margesin, R. Biodegradation and bioremediation of hydrocarbonsin extreme environments / R. Margesin, F. Schinner // Appl. Microbiol. Biotechnol. 2001. V. 56. P. 650-663.
- 122. *Marinobacter hydrocarbonoclasticus* gen. nov., sp. nov., a new, extremely halotolerant, hydrocarbon-degrading marine bacterium / M.J. Gauthier [*et al.*] // Int. J. Syst. Bacteriol. 1992. V. 42. P. 568-576.
- 123. Mellado, E. Biotechnological potential of moderately and extremely halophilic microorganisms. / E. Mellado, A. Ventosa // Research Signpost. 2003. P. 233-265.

- 124. Microbial degradation of pollutants at high salt concentrations/ A. Oren [et al.] // Biodegradation. – 1992. – V. 3. – P. 387-398.
- 125. Microbial diversity in water and sediment of Lake Chaka, an Athalassohaline Lake in Northwestern China / H.C. Jiang [et al.] // Appl. Environ. Microbiol. 2006. V. 72. P. 3832-3845.
- 126. Molecular and biochemical analysis of phthalate and terephthalate degradation by *Rhodococcus* sp. strain DK17 / K.Y. Choi [*et al.*] // FEMS Microbiol. Lett. 2005. V. 252. P. 207-213.
- 127. Molecular cloning and functional characterization of the genes encoding benzoate and *p*-hydroxybenzoate degradation by the halophilic *Chromohalobacter* sp. strain HS-2 / D. Kim [*et al.*] // FEMS Microbiol. Lett. 2008. V. 280. P. 235-241.
- 128. Multiple Sequence Alignment [Электронный ресурс]: Multiple sequence alignment program for DNA or proteins. Режим доступа: http://www.ebi.ac.uk/clustalw (20.01.2014).
- 129. Muyzer, G. Profiling of complex microbial populations by denaturing gradient gel electrophoresis analysis of polymerase chain reaction-amplified genes coding for 16S rRNA / G. Muyzer, E.C. de Waal, A.G. Uitterlinden // Appl. Environ. Microbiol. 1993. V. 59. P. 695-700.
- 130. Naphthalene degradation and incorporation of naphthalene-derived carbon into biomass by the thermophile *Bacillus thermoleovorans* / E. Annweiler [*et al.*] // Appl. Environ. Microbiol. -2000. V. 66, N = 2. P. 518-523.
- 131. Naphthalene-degrading bacteria of the genus *Rhodococcus* from the Verkhnekamsk salt mining region of Russia / L.N. Anan'ina [*et al.*] // Antonie van Leeuwenhoek. -2011.-V.100, No. 2.-P.309-316.
- 132. Natural endophytic association between *Rhizobium leguminosarum* bv. *trifolii* and rice roots and assessment of its potential to promote rice growth / Y.G. Yanni [*et al.*] // Plant Soil. 1997. V. 194. P. 99-114.
- 133. New naphthalene-degrading marine *Pseudomonas* strains / E. Garsia-Valdes [*et al.*] // Appl. Environ. Microbiol. 1988. V. 54. P. 2478-2485.

- 134. Novel organization of genes in a phthalate degradation operon of *Mycobacterium vanbaalenii* PYR-1 / R.L. Stingley [*et al.*] // Microbiology. 2004. V. 150, № 11. P. 3749-3761.
- 135. Novel rhodococci and other mycolate actinomycetes from the deep sea / J.A. Colquhoun [*et al.*] // Antonie van Leeuwenhoek. 1998. V. 74. P. 27-40.
- 136. Oie, C.S.I. Benzoate and salicylate degradation by *Halomonas campisalis*, an alkaliphilic and moderately halophilic microorganism / C.S.I. Oie, C.E. Albaugh, B.M. Peyton //Water Res. 2007. V. 41. P. 1235-1242.
- 137. Oren, A. Diversity of halophilic microorganisms: Environments, phylogeny, physiology, and applications / A. Oren // J. Ind. Microbiol. & Biotechnol. 2002. V. 28. P. 56-63.
- 138. Oren, A. Microbial life at high salt concentrations: phylogenetic and metabolic diversity / A. Oren // Saline Systems. − 2008. − V. 4, № 2. − doi:10.1186/1746-1448-4-2.
- 139. Ornston, L.N. The conversion of catechol and protocatechuate to beta–ketoadipate by *Pseudomonas putida*. Enzymes of catechol pathway / L.N. Ornston // J. Biol. Chem. 1966. V. 166. P. 9-14.
- 140. PAH-degradation by *Paenibacillus* spp. and description of *Paenibacillus naphthalenovorans* sp. nov., a naphthalene-degrading bacterium from the rhizosphere of salt marsh plants / L.L. Daane [*et al.*] // Int. J. Syst. Evol. Microbiol. 2002. V. 52. P. 131-139.
- 141. Palleroni, N.J. *Stenotrophomonas*, a new bacterial genus for *Xanthomonas maltophilia* (Hugh 1980) Swings [*et al.*] 1983. / N.J. Palleroni, J.F. Bradbury // Int. J. Syst. Bacteriol. − 1993. − V. 43, № 3. − P.606-609.
- 142. Phylogenetic relationships within the family *Halomonadaceae* based on comparative 23S and 16S rRNA gene sequence analysis / R.R. de la Haba [*et al.*] // Int. J. Syst. Evol. Microbiol. 2010. V. 60. P. 737-748.
- 143. Polycyclic aromatic hydrocarbon degradation by a new marine bacterium, *Neptunomonas naphthovorans* gen. nov., sp. nov. / B.P. Hedlund [*et al.*] // Appl. Environ. Microbiol. 1999. V. 65. P. 251-259.

- 144. Potential for plant growth promotion of rhizobacteria associated with salicornia growing in tunisian hypersaline soils / F. Mapelli [*et al.*] // BioMed Research International. 2013. Article ID 248078. 13 p.
- 145. Prokaryotic genetic diversity through out the salinity gradient of a coastal solar saltern / S. Benlloch [et al.] // Environ.Microbiol. 2002. V. 4. P. 349-360.
- 146. Purification and characterisation of a novel naphthalene dioxigenase from *Rhodococcus* sp. strain NCIMB 12038 / M.J. Larkin [*et al.*] // J. Bacteriol. 1999. V. 181, № 19. P. 6200-6204.
- 147. *Thalassospira permensis* sp. nov., a new terrestrial halotolerant bacterium isolated from a naphthalene-utilizing microbial consortium / E.G. Plotnikova [*et al.*] // Microbiology (Mikrobiologiya). − 2011. − V. 80, № 5. − P. 703-712.
- 148. The moderately halophilic bacterium *Halomonas maura* is a free-living diazotroph / M. Argandonña [*et al.*] // FEMS Microbiol. Lett. 2005. V. 244. P. 69-74
- 149. Transfer of *Halomonas canadensis* and *Halomonas israelensis* to the genus *Chromohalobacter* as *Chromohalobacter canadensis* comb. nov. and *Chromohalobacter israelensis* comb. nov. / D.R. Arahal [*et al.*] // Int. J. Syst. Evol. Microbiol. 2001a. V. 51. P. 1443-1448.
- 150. Quesada, E. Moderately halophilic, exopolysaccharide-producing bacteria. In : A. Ventosa (Ed.) Halophilic Microorganisms // Springer. Germany.: Verlag, 2004. P. 135-153.
- 151. Quorum sensing in some representative species of *Halomonadaceae* / A. Tahrioui [*et al.*] // Life. 2013. V. 3 (1). P. 260-275.
- 152. Raymond, R.L. Microbial oxidation of n-paraffinichydrocarbons.// Develop. Ind. Microbiol. -1961. V.2, -N = 1. P.23-32.
- 153. Reddy, C.C. Purification and properties of benzoate-4-hydroxylase from a soil pseudomonad / C.C. Reddy, C.S. Vaidyanathan // Arch. Biochem. Biophys. 1976. V. 177, № 2. P. 488-498.

- 154. Root colonization of different plants by plant-growth-promoting *Rhizobium leguminosarum* bv. *trifolii* R39 studied with monospecific polyclonal antisera / M. Schloter [*et al.*] // Appl. Environ. Microbiol. 1997. V. 63. P. 2038-2046.
- 155. Salt-tolerant phenol-degrading microorganisms isolated from Amazonian soil samples / A.E.R. Bastos [*et al.*] // Arch. Microbiol. 2000. V. 174. P. 346-352.
- 156. Salt-tolerant rhizobacteria-mediated induced tolerance in wheat (*Triticum aestivum*) and chemical diversity in rhizosphere enhance plant growth / S. Tiwari [*et al.*] // Biology and Fertility of Soils. − 2011. − V. 47, № 8. − P. 907-916.
- 157. Saralov, A.I. *Haloferax chudinovii* sp. nov., a halophilic archaeon from Permian potassium salt deposits / A.I. Saralov, R.V. Baslerov, B.B. Kuznetsov // Extremophiles. 2013. V. 17 (3). P. 499-504.
- 158. Seo, J.S. Bacterial Degradation of Aromatic Compounds / J.S. Seo, Y.S. Keum Q.X. Li // Int. J. Environ. Res. Public Health. 2009. V.6. P.278- 309.
- 159. Singh, O.V. Extremophiles. Sustainable resources and biotechnological implications. // Om V.Singh. New Jersey.: John Wiley & Sons, 2012. 429 p.
- 160. The National Center for Biotechnology Information [Электронный ресурс]: Database of biomedical and genomic information.— Режим доступа: http://www.ncbi.nlm.nih.gov (26.08.2013).
- 161. Transfer of two *Burkholderia* and an *Alcaligenes* species to *Ralstonia* gen. nov.: proposal of *Ralstonia pickettii* (Ralston, Palleroni and Doudoroff 1973) comb. nov., *Ralstonia solanacearum* (Smith 1896) comb. nov. and *Ralstonia eutropha* (Davis 1969) comb. nov. / E. Yabuuchi [*et al.*] // Microbiol. Immunol. –1995. V. 39. P. 897-904.
- 162. Vamsee-Krishna, C. Biodegradation of phthalate isomers by *Pseudomonas aeruginosa* PP4, *Pseudomonas* sp. PPD and *Acinetobacter lwoffii* ISP4 / C. Vamsee-Krishna, Y. Mohan, P.S. Phale // Appl. Microbiol. Biotechnol. 2006. V. 72. P. 1263-1269.
- 163. Van de Peer, Y. TREECON for Windows a software package for the construction and drawing of evolutionary trees for the Microsoft Windows

- environment / Y. Van de Peer, R. DeWachter // Comput. Appl. Biosci. 1994. V. 10. P. 569-570.
- 164. Variability of enzyme system of Nocardioform bacteria as a basis of their metabolic activity / I.P. Solyanikova [et al.] // J Environ Sci Health B. -2008. V.43,  $N_{\odot} 3. P.241-52$ .
- 165. Vedler, E. Megaplasmids and the degradation of aromatic compounds by soil bacteria. Microbial Megaplasmids / Ed. E. Schwartz. Berlin, Heidelberg: Springer-Verlag, 2009. P.33-53.
- 166. Ventosa, A. Biology of moderately halophilic aerobic bacteria / A. Ventosa, J.J. Nieto, A. Oren // Microbiol. Mol. Boil. Rev. 1998. V. 62. P. 504-544.
- 167. Ventosa, A. Biotechnological applications and potentialities of halophilic microorganisms / A. Ventosa, J.J. Nieto // J. Microbiol. Biotechnol. 1995. V. 11. P. 84-95.
- 168. Zhou, N.-Y. *nag* genes *Ralstonia* (formerly *Pseudomonas*) sp. strain U2 encoding enzymes for gentisate catabolism / N.-Y. Zhou, S.L. Fuenmayor, P.A. Williams // J. Bacteriol. 2001. –V. 183. P. 700-708.
- 169. Zununi-Vahed, S. Isolation and characterization of halophilic bacteria from Urmia Lake in Iran / S. Zununi Vahed [*et al.*] // Mikrobiologiia. 2011. V. 80 (6). P. 826-33.
- 170. Zvyagintsev, D.G. Mycelial bacteria of saline soils / D. G. Zvyagintsev, G. M. Zenova, G. V. Oborotov // Eurasian Soil Science. 2008. V. 41, № 10. P. 1107-1114.
- 171. Water Regime Influences Bulk Soil and Rhizosphere of Cereus jamacaru Bacterial Communities in the Brazilian Caatinga Biome / V. Kavamura [et al.] // PLoS ONE. -2013. V. 9, No. 8. P. 1-10.
- 172. Web-Type Evolution of *Rhodococcus* gene clusters associated with utilization of naphthalene / L.A. Kulakov [*et al.*] // Appl. Environ. Microbiol. 2005. V. 71. P. 1754-1764.

#### ПРИЛОЖЕНИЯ

Приложение 1

```
LOCUS KC538827 927 bp DNA linear BCT 01-APR-2013
DEFINITION Nesterenkonia sp. M55-2N 16S ribosomal RNA gene, partial sequence.
ACCESSION KC538827
VERSION KC538827
KEYWORDS.
SOURCE Nesterenkonia sp. M55-2N
 ORGANISM Nesterenkonia sp. M55-2N
       Bacteria: Actinobacteria: Actinobacteridae: Actinomycetales:
       Micrococcineae; Micrococcaceae; Nesterenkonia.
REFERENCE 1 (bases 1 to 927)
 AUTHORS Nazarov, A.V., Korsakova, E.S., Anan'ina, L.N. and Plotnikova, E.G.
 TITLE Phylogenetic diversity of bacteria from the rhizosphere of plants
       growing on technogenically salinized soils
 JOURNAL Unpublished
REFERENCE 2 (bases 1 to 927)
 AUTHORS Korsakova.E.S.
 TITLE Direct Submission
 JOURNAL Submitted (28-JAN-2013) Laboratory of Molecular Microbiology and
       Biotechnology, Institute of Ecology and Genetics of Microorganisms
       of the Ural Branch of the Russian Academy of Sciences, 13, Golev
       Street, Perm, Perm Region 614081, Russin Federation
FEATURES Location/Qualifiers
   source 1..927
            /organism="Nesterenkonia sp. M55-2N"
            /mol_type="genomic DNA"
            /strain="M55-2N"
            /isolation_source="rhizosphere of plants growing on
            technogenically salinized soil"
            /db_xref="taxon:1312504"
            /country="Russia"
   rRNA <1..>927
            /product="16S ribosomal RNA"
ORIGIN
      1 tcgaacgatg aagaccgtgc ttgcacggtt ggattagtgg cgaacgggtg agtatcacgt
     61 gagtaacctt cccttaactc tgggataagc ccgggaaact gggtctaata ccggatacga
    121 ccagtcctcg catggggtgc tggtggaaag atttatcggt tttggatgga ctcgcggcct
    181 atcagcttgt tggtgaggta aaggctcacc aaggcgatga cgggtagccg gcctgagagg
    241 gtgaccggcc acactgggac tgagacacgg cccagactcc tacgggaggc agcagtgggg
    301 aatattgcac aatgggcgaa agcctgatgc agcgacgccg cgtgcgggat gacggccttc
    361 gggttgtaaa ccgctttcag cagggaagaa gcgcaagtga cggtacctgc agaagaagcg
    421 cogotaact acqtqccaqc aqccqcqqta atacqtaqqq cqcqaqcqtt atccqqaatt
    481 attgggcgta aagagctcgt aggcggtttg tcacgtctgc tgtgaaagcc cggggctcaa
    541 ccccgggtgt gcagtgggta cgggcagact agagtgcagt aggggagact ggaattcctg
    601 gtgtageggt gaaatgegea gatateagga ggaacacega tggegaagge aggtetetgg
    661 gctgttactg acgctgagga gcgaaagcat ggggagcgaa caggattaga taccctggta
    721 gtccatgccg taaacgttgg gcactaggtg tggggaacat tccacgtttt ccgcgccgta
    781 gctaacgcat taagtgcccc gcctggggag tacggccgca aggctaaaac tcaaaggaat
    841 tgacgggggc ccgcacaagc ggcggagcat gcggattaat tcgatgcaac gcgaagaacc
    901 ttaccaaggc ttgacatgga ccggacc
```

```
LOCUS KC992726 748 bp DNA linear BCT 07-JUN-2013
DEFINITION Kocuria sp. M45-1N 16S ribosomal RNA gene, partial sequence.
ACCESSION KC992726
VERSION KC992726
KEYWORDS.
SOURCE Kocuria sp. M45-1N
 ORGANISM Kocuria sp. M45-1N
       Bacteria: Actinobacteria: Actinobacteridae: Actinomycetales:
       Micrococcineae; Micrococcaceae; Kocuria.
REFERENCE 1 (bases 1 to 748)
 AUTHORS Nazarov, A.V., Korsakova, E.S., Anan'ina, L.N. and Plotnikova, E.G.
 TITLE Phylogenetic diversity of bacteria from the rhizosphere of plants
       growing on technogenically salinized soil
 JOURNAL Unpublished
REFERENCE 2 (bases 1 to 748)
 AUTHORS Korsakova, E.S.
 TITLE Direct Submission
 JOURNAL Submitted (30-APR-2013) Laboratory of Molecular Microbiology and
       Biotechnology, Institute of Ecology and Genetics of Microorganisms
       of the Ural Branch of the Russian Academy of Sciences, 13, Golev
       Street, Perm, Perm Region 614081, Russia
FEATURES Location/Qualifiers
  source 1..748
            /organism="Kocuria sp. M45-1N"
            /mol_type="genomic DNA"
            /strain="M45-1N"
            /isolation source="rhizosphere of plants growing on
            technogenically salinized soil"
            /db_xref="taxon:1343149"
            /country="Russia"
   rRNA <1..>748
            /product="16S ribosomal RNA"
ORIGIN
     1 ttgctgggtg gattagtggc gaacgggtga gtaatacgtg agtaacctgc ccttgactct
    61 gggataagee tgggaaaetg ggtetaatae tggataetae ekyyewyege atggtgggtg
   121 gtggaaaggg ttttactggt tttggatggg ctcacggcct atcagcttgt tggtggggta
   181 atggctcacc aaggcgacga cgggtagccg gcctgagagg gtgaccggcc acactgggac
   241 tgagacacgg cccagactcc tacgggaggc agcagtgggg aatattgcac aatgggcgga
   301 agectgatge agegacgeeg egtgagggat gaeggeette gggttgtaaa eetettteag
   361 tagggaagaa gcgagagtga cggtacctgc agaagaagcg ccggctaact acgtgccagc
   421 agccgcggta atacgtaggg cgcaagcgtt gtccggaatt attgggcgta aagagctcgt
   481 aggeggtttg tegegtetge tgtgaaagee eggggeteaa eeeegggtet geagtgggta
   541 cgggcagact agagtgcagt aggggagact ggaattcctg gtgtagcggt gaaatgcgca
   601 gatatcagga ggaacaccga tggcgaaggc aggtctctgg gctgttactg acgctgagga
   661 gcgaaagcat ggggagcgaa caggattaga taccctggta gtccatgccg taaacgttgg
   721 gcactaggtg tgggggacat tccacgtt
```

```
LOCUS KC992727 1390 bp DNA linear BCT 07-JUN-2013
DEFINITION Halomonas sp. M45-2N 16S ribosomal RNA gene, partial sequence.
ACCESSION KC992727
VERSION KC992727
KEYWORDS.
SOURCE Halomonas sp. M45-2N
 ORGANISM Halomonas sp. M45-2N
       Bacteria: Proteobacteria: Gammaproteobacteria: Oceanospirillales:
       Halomonadaceae; Halomonas.
REFERENCE 1 (bases 1 to 1390)
 AUTHORS Nazarov, A.V., Korsakova, E.S., Anan'ina, L.N. and Plotnikova, E.G.
 TITLE Phylogenetic diversity of bacteria from the rhizosphere of plants
       growing on technogenically salinized soil
 JOURNAL Unpublished
REFERENCE 2 (bases 1 to 1390)
 AUTHORS Korsakova, E.S.
 TITLE Direct Submission
 JOURNAL Submitted (30-APR-2013) Laboratory of Molecular Microbiology and
       Biotechnology, Institute of Ecology and Genetics of Microorganisms
       of the Ural Branch of the Russian Academy of Sciences, 13, Golev
       Street, Perm, Perm Region 614081, Russia
FEATURES Location/Qualifiers
  source 1..1390
            /organism="Halomonas sp. M45-2N"
            /mol_type="genomic DNA"
            /strain="M45-2N"
            /isolation source="rhizosphere of plants growing on
            technogenically salinized soil"
            /db_xref="taxon:1343147"
            /country="Russia"
   rRNA <1..>1390
            /product="16S ribosomal RNA"
ORIGIN
      1 tgcaagtcga gcggaaacga tggagcttgc tccaggcgtc gagcggcgga cgggtgagta
     61 atgcatagga atctgcccgg tagtggggga taacctgggg aaacccaggc taataccgca
    121 tacgtcctac gggagaaagc aggggatctt cggaccttgc gctatcggat gagcctatgt
    181 cggattaget tgttggtgag gtaaaggete accaaggega cgateegtag etggtetgag
    241 aggatgatca gccacatcgg gactgagaca cggcccgaac tcctacggga ggcagcagtg
    301 gggaatattg gacaatgggc gaaagcctga tccagccatg ccgcgtgtgt gaagaaggct
    361 ttcgggttgt aaagcacttt cagtgaggaa gaaggccttg gggccaatac ccccgaggaa
    421 ggacatcact cacagaagaa gcaccggcta actccgtgcc agcagccgcg gtaatacgga
    481 gggtgcgagc gttaatcgga attactgggc gtaaagcgcg cgtaggcggc gtgataagcc
    541 ggttgtgaaa gccccgggct caacctggga acggcatccg gaactgtcag gctagagtgc
    601 aggagaggaa ggtagaattc ccggtgtagc ggtgaaatgc gtagagatcg ggaggaatac
    661 cagtagogaa agcagootto tagactagoga otagogatago agtagogaaaa catagogaac
    721 aaacaggatt agataccctg gtagtccacg ccgtaaacga tgtcgactag ccgttggggt
    781 cettgagace tttgtggege agttaacgeg ataagtegae egeetgggga gtaeggeege
    841 aaggttaaaa ctcaaatgaa ttgacggggg cccgcacaag cggtggagca tgtggtttaa
    901 ttcgatgcaa cgcgaagaac cttacctacc cttgacatcg tgcgaacttg gtagagatac
    961 cttggtgcct tcgggaacgc acagacaggt gctgcatggc tgtcgtcagc tcgtgttgtg
   1021 aaatgttggg ttaagtcccg taacgagcgc aaccettgtc cetatttgcc agcgattcgg
   1081 tegggaacte tagggagact geeggtgaca aaceggagga aggtggggac gaegteaagt
   1141 catcatggcc cttacgggta gggctacaca cgtgctacaa tggccggtac aaagggttgc
   1201 gaageegega ggtggageta ateeegaaaa geeggtetea gteeggateg gagtetgeaa
   1261 ctcgactccg tgaagtcgga atcgctagta atcgtgaatc agaatgtcac ggtgaatacg
   1321 ttcccgggcc ttgtacacac cgcccgtcac accatgggag tggactgcac cagaagtggt
   1381 tagcctaact
```

```
LOCUS KC992728 800 bp DNA linear BCT 07-JUN-2013
DEFINITION Zhihengliuella sp. M45-5N 16S ribosomal RNA gene, partial sequence.
ACCESSION KC992728
VERSION KC992728
KEYWORDS.
SOURCE Zhihengliuella sp. M45-5N
 ORGANISM Zhihengliuella sp. M45-5N
       Bacteria: Actinobacteria: Actinobacteridae: Actinomycetales:
       Micrococcineae; Micrococcaceae; Zhihengliuella.
REFERENCE 1 (bases 1 to 800)
 AUTHORS Nazarov, A.V., Korsakova, E.S., Anan'ina, L.N. and Plotnikova, E.G.
 TITLE Phylogenetic diversity of bacteria from the rhizosphere of plants
       growing on technogenically salinized soil
 JOURNAL Unpublished
REFERENCE 2 (bases 1 to 800)
 AUTHORS Korsakova, E.S.
 TITLE Direct Submission
 JOURNAL Submitted (30-APR-2013) Laboratory of Molecular Microbiology and
       Biotechnology, Institute of Ecology and Genetics of Microorganisms
       of the Ural Branch of the Russian Academy of Sciences, 13, Golev
       Street, Perm, Perm Region 614081, Russia
FEATURES Location/Qualifiers
  source 1..800
            /organism="Zhihengliuella sp. M45-5N"
            /mol_type="genomic DNA"
            /strain="M45-5N"
            /isolation source="rhizosphere of plants growing on
            technogenically salinized soil"
            /db_xref="taxon:1343151"
            /country="Russia"
   rRNA <1..>800
            /product="16S ribosomal RNA"
ORIGIN
     1 tgctgggtgg attagtggcg aacgggtgag taacacgtga gtaacctgcc ctcgactcca
    61 ggataagccc gggaaactgg gtctaatact ggatattcaa tttccatcgc atggtggttt
   121 ttggaaagga ttctggtcga ggagggactc gcggcctatc agcttgttgg tgaggtaatg
   181 gctcaccaag gcgacgacgg gtagccggcc tgagagggtg accggccaca ctgggactga
   241 gacacggccc agactcctac gggaggcagc agtggggaat attgcacaat gggcgaaagc
   301 ctgatgcagc gacgccgcgt gagggatgac ggccttcggg ttgtaaacct ctttcagtag
   361 ggaagaagcg aaagtgacgg tacctgcaga agaagcgccg gctaactacg tgccagcagc
   421 cgcggtaata cgtagggcgc aagcgttatc cggaattatt gggcgtaaag agctcgtagg
   481 cggtttgtcg cgtctgccgt gaaagtccgg ggcttaactc cggatctgcg gtgggtacgg
   541 gcagactaga gtgctgtagg ggagactgga attcctggtg tagcggtgaa atgcgcagat
   601 atcaggagga acaccgatgg cgaaggcagg tctctgggca gtaactgacg ctgaggagcg
   661 aaagcatggg gagcgaacag gattagatac cctggtagtc catgccgtaa acgttgggca
   721 ctagatgtgg gggacattcc acgttctccg cgtcgtagct aacgcattaa gtgccccgcc
```

781 tggggagtac ggccgcaagg

```
LOCUS KC992729 893 bp DNA linear BCT 07-JUN-2013
DEFINITION Zhihengliuella sp. M46-2 16S ribosomal RNA gene, partial sequence.
ACCESSION KC992729
VERSION KC992729
KEYWORDS.
SOURCE Zhihengliuella sp. M46-2
 ORGANISM Zhihengliuella sp. M46-2
       Bacteria: Actinobacteria: Actinobacteridae: Actinomycetales:
       Micrococcineae; Micrococcaceae; Zhihengliuella.
REFERENCE 1 (bases 1 to 893)
 AUTHORS Nazarov, A.V., Korsakova, E.S., Anan'ina, L.N. and Plotnikova, E.G.
 TITLE Phylogenetic diversity of bacteria from the rhizosphere of plants
       growing on technogenically salinized soil
 JOURNAL Unpublished
REFERENCE 2 (bases 1 to 893)
 AUTHORS Korsakova, E.S.
 TITLE Direct Submission
 JOURNAL Submitted (30-APR-2013) Laboratory of Molecular Microbiology and
       Biotechnology, Institute of Ecology and Genetics of Microorganisms
       of the Ural Branch of the Russian Academy of Sciences, 13, Golev
       Street, Perm, Perm Region 614081, Russia
FEATURES Location/Qualifiers
   source 1..893
            /organism="Zhihengliuella sp. M46-2"
            /mol_type="genomic DNA"
            /strain="M46-2"
            /isolation source="rhizosphere of plants growing on
            technogenically salinized soil"
            /db_xref="taxon:1343152"
            /country="Russia"
   rRNA <1..>893
            /product="16S ribosomal RNA"
ORIGIN
      1 ttgctgggtg gattagtggc gaacgggtga gtaacacgtg agtaacctgc cctcgactcc
     61 aggataagcc cgggaaactg ggtctaatac tggatattca atttctgccg catggtggtt
    121 tttggaaagg attctggtcg aggagggact cgcggcctat cagcttgttg gtgaggtaat
    181 ggctcaccaa ggcgacgacg ggtagccggc ctgagagggt gaccggccac actgggactg
    241 agacacggcc cagactccta cgggaggcag cagtggggaa tattgcacaa tgggcgaaag
    301 cctgatgcag cgacgccgcg tgagggatga cggccttcgg gttgtaaacc tctttcagta
    361 gggaagaage gaaagtgaeg gtacetgeag aagaagegee ggetaaetae gtgeeageag
    421 ccgcggtaat acgtagggcg caagcgttat ccggaattat tgggcgtaaa gagctcgtag
    481 gcggtttgtc gcgtctgccg tgaaagtccg gggcttaact ccggatctgc ggtgggtacg
    541 ggcagactag agtgctgtag gggagactgg aattcctggt gtagcggtga aatgcgcaga
    601 tatcaggagg aacaccgatg gcgaaggcag gtctctgggc agtaactgac gctgaggagc
    661 gaaagcatgg ggagcgaaca ggattagata ccctggtagt ccatgccgta aacgttgggc
    721 actagatgtg ggggacattc cacgttttcc gcgtcgtagc taacgcatta agtgccccgc
    781 ctggggagta cggccgcaag gctaaaactc aaaggaattg acgggggccc gcacaagcgg
```

841 cggagcatgc ggattaattc gatgcaacgc gaagaacctt accaaggctt gac

```
LOCUS KC992730 1372 bp DNA linear BCT 07-JUN-2013
DEFINITION Halomonas sp. M46-5 16S ribosomal RNA gene, partial sequence.
ACCESSION KC992730
VERSION KC992730
KEYWORDS.
SOURCE Halomonas sp. M46-5
 ORGANISM Halomonas sp. M46-5
       Bacteria: Proteobacteria: Gammaproteobacteria: Oceanospirillales:
       Halomonadaceae; Halomonas.
REFERENCE 1 (bases 1 to 1372)
 AUTHORS Nazarov, A.V., Korsakova, E.S., Anan'ina, L.N. and Plotnikova, E.G.
 TITLE Phylogenetic diversity of bacteria from the rhizosphere of plants
       growing on technogenically salinized soil
 JOURNAL Unpublished
REFERENCE 2 (bases 1 to 1372)
 AUTHORS Korsakova, E.S.
 TITLE Direct Submission
 JOURNAL Submitted (30-APR-2013) Laboratory of Molecular Microbiology and
       Biotechnology, Institute of Ecology and Genetics of Microorganisms
       of the Ural Branch of the Russian Academy of Sciences, 13, Golev
       Street, Perm, Perm Region 614081, Russia
FEATURES Location/Qualifiers
  source 1..1372
            /organism="Halomonas sp. M46-5"
            /mol_type="genomic DNA"
            /strain="M46-5"
            /isolation source="rhizosphere of plants growing on
            technogenically salinized soil"
            /db_xref="taxon:1343148"
            /country="Russia"
   rRNA <1..>1372
            /product="16S ribosomal RNA"
ORIGIN
      1 tagettgeta gatgetgacg ageggeggac gggtgagtaa tgeataggaa tetgeeeggt
     61 aqtqqqqat aacctqqqqa aacccaqqct aataccqcat acqtcctacq qqaqaaaqqq
    121 ggctccggct cccgctattg gatgagccta tgtcggatta gctggttggt gaggtaatgg
    181 ctcaccaagg cgacgatccg tagctggtct gagaggatga tcagccacat cgggactgag
    241 acacggcccg aactcctacg ggaggcagca gtggggaata ttggacaatg ggggcaaccc
    301 tgatccagcc atgccgcgtg tgtgaagaag gccctcgggt tgtaaagcac tttcagcgag
    361 gaagaacgcc tggtggttaa tacccatcag gaaagacatc actcgcagaa gaagcaccgg
    421 ctaactccgt gccagcagcc gcggtaatac ggagggtgca agcgttaatc ggaattactg
    481 ggcgtaaagc gcgcgtaggt ggcttgataa gccggttgtg aaagccccgg gctcaacctg
    541 ggaacggcat ccggaactgt caagctagag tacaggagag gaaggtagaa ttcccggtgt
    601 ageggtgaaa tgcgtagaga tegggaggaa taccagtgge gaaggeggee ttetggaetg
    661 atactgacac tgaggtgcga aagcgtgggt agcaaacagg attagatacc ctggtagtcc
    721 acgccgtaaa cgatgtcgac cagccgttgg gtgcctagcg cactttgtgg cgaagttaac
    781 gcgataagtc gaccgcctgg ggagtacggc cgcaaggtta aaactcaaat gaattgacgg
    841 gggcccgcac aagcggtgga gcatgtggtt taattcgatg caacgcgaag aaccttacct
    901 accettgaca teetgegaac eeggaagaga tteeggggtg eettegggaa egeagagaca
    961 ggtgctgcat ggctgtcgtc agctcgtgtt gtgaaatgtt gggttaagtc ccgtaacgag
   1021 cgcaaccett gteettattt gecagegagt aatgteggga actetaagga gaetgeeggt
   1081 gacaaaccgg aggaaggtgg ggacgacgtc aagtcatcat ggcccttacg ggtagggcta
   1141 cacacgtgct acaatggccg gtacaaaggg ctgcgaactc gcgagagcaa gcgaatccct
   1201 taaagccggt ctcagtccgg atcggagtct gcaactcgac tccgtgaagt cggaatcgct
   1261 agtaatcgtg aatcagaatg tcacggtgaa tacgttcccg ggccttgtac acaccgcccg
   1321 tcacaccatg ggagtggact gcaccagaag tggttagcct aacgcaagag gg
```

```
LOCUS KC992731 892 bp DNA linear BCT 07-JUN-2013
DEFINITION Microbacterium sp. M46-6 16S ribosomal RNA gene, partial sequence.
ACCESSION KC992731
VERSION KC992731
KEYWORDS.
SOURCE Microbacterium sp. M46-6
 ORGANISM Microbacterium sp. M46-6
       Bacteria: Actinobacteria: Actinobacteridae: Actinomycetales:
       Micrococcineae; Microbacteriaceae; Microbacterium.
REFERENCE 1 (bases 1 to 892)
 AUTHORS Nazarov, A.V., Korsakova, E.S., Anan'ina, L.N. and Plotnikova, E.G.
 TITLE Phylogenetic diversity of bacteria from the rhizosphere of plants
       growing on technogenically salinized soil
 JOURNAL Unpublished
REFERENCE 2 (bases 1 to 892)
 AUTHORS Korsakova, E.S.
 TITLE Direct Submission
 JOURNAL Submitted (30-APR-2013) Laboratory of Molecular Microbiology and
       Biotechnology, Institute of Ecology and Genetics of Microorganisms
       of the Ural Branch of the Russian Academy of Sciences, 13, Golev
       Street, Perm, Perm Region 614081, Russia
FEATURES Location/Qualifiers
  source 1..892
            /organism="Microbacterium sp. M46-6"
            /mol_type="genomic DNA"
            /strain="M46-6"
            /isolation source="rhizosphere of plants growing on
            technogenically salinized soil"
            /db_xref="taxon:1343150"
            /country="Russia"
   rRNA <1..>892
            /product="16S ribosomal RNA"
ORIGIN
     1 gtcgaacggt gaacacggag cttgctctgt gggatcagtg gcgaacgggt gagtaacacg
    61 tgagcaacct gccctgact ctgggataag cgctggaaac ggcgtctaat actggatatg
   121 tgacgtgatc gcatggtctg cgtctggaaa gaatttcggt tggggatggg ctcgcggcct
   181 atcagettgt tggtgaggta atggeteace aaggegtega egggtageeg geetgagagg
   241 gtgaccggcc acactgggac tgagacacgg cccagactcc tacgggaggc agcagtgggg
   301 aatattgcac aatgggcgca agcctgatgc agcaacgccg cgtgagggat gacggccttc
   361 gggttgtaaa cctcttttag cagggaagaa gcgaaagtga cggtacctgc agaaaaagcg
   421 cogctaact acqtqccaqc aqccqcqqta atacqtaqqq cqcaaqcqtt atccqqaatt
   481 attgggcgta aagagctcgt aggcggtttg tcgcgtctgc tgtgaaatcc ggaggctcaa
   541 cctccggcct gcagtgggta cgggcagact agagtgcggt aggggagatt ggaattcctg
   601 gtgtageggt ggaatgegea gatateagga ggaacacega tggegaagge agatetetgg
   661 gccgtaactg acgctgagga gcgaaagggt ggggagcaaa caggcttaga taccctggta
   721 gtccaccccg taaacgttgg gaactagttg tggggtccat tccacggatt ccgtgacgca
```

781 gctaacgcat taagttcccc gcctggggag tacggccgca aggctaaaac tcaaaggaat

841 tgacggggac ccgcacaagc ggcggagcat gcggattaat tcgatgcaac gc

```
LOCUS KF010924 1340 bp DNA linear BCT 22-JUL-2013
DEFINITION Alteromonas sp. M46-7 16S ribosomal RNA gene, partial sequence.
ACCESSION KF010924
VERSION KF010924
KEYWORDS.
SOURCE Alteromonas sp. M46-7
 ORGANISM Alteromonas sp. M46-7
       Bacteria; Proteobacteria; Gammaproteobacteria; Alteromonadales;
       Alteromonadaceae; Alteromonas.
REFERENCE 1 (bases 1 to 1340)
 AUTHORS Nazarov, A.V., Korsakova, E.S., Anan'ina, L.N. and Plotnikova, E.G.
 TITLE Phylogenetic diversity of bacteria from the rhizosphere of plants
       growing on technogenically salinized soils
 JOURNAL Unpublished
REFERENCE 2 (bases 1 to 1340)
 AUTHORS Korsakova, E.S.
 TITLE Direct Submission
 JOURNAL Submitted (06-MAY-2013) Laboratory of Molecular Microbiology and
       Biotechnology, Institute of Ecology and Genetics of Microorganisms
       of the Ural Branch of the Russian Academy of Sciences, 13, Golev
       Street, Perm, Perm Region 614081, Russia
FEATURES Location/Qualifiers
  source 1..1340
            /organism="Alteromonas sp. M46-7"
            /mol_type="genomic DNA"
            /strain="M46-7"
            /isolation source="rhizosphere of plants growing on
            technogenically-salinized soil"
            /db_xref="taxon:1342303"
            /country="Russia"
   rRNA <1..>1340
            /product="16S ribosomal RNA"
ORIGIN
      1 gcaagtcgaa cggtagcagg atgwgcttgc acatcgctga cgagtggcgg acgggtgagt
     61 aatgettggg aacttgeett tgegagggg ataacagttg gaaacgaetg etaataeege
    121 atgatgtcta cggaccaaag ggggctttta gctctcgcgc aaagagaggc ccaagtgaga
    181 ttagctagta ggtgaggtaa gagctcacct aggcgacgat ctctagctgt tctgagagga
    241 agatcageca caetgggaet gagacaegge ceagacteet aegggaggea geagtgggga
    301 atattgcaca atgggggcaa ccctgatgca gccatgccgc gtgtgtgaag aaggccttcg
    361 ggttgtaaag cactttcagt tgtgaggaag ggttgctggt taatacccag taacattgac
    421 gttagcaaca gaagaagcac cggctaactc cgtgccagca gccgcggtaa tacggagggt
    481 gcgagcgtta atcggaatta ctgggcgtaa agcgcacgca ggcggtttgt taagctagat
    541 gtgaaagccc cgggctcaac ctgggacggt catttagaac tggcagactc gagtcttgga
    601 gaggggagtg gaattccagg tgtagcggtg aaatgcgtag atatctggag gaacatcagt
    661 ggcgaaggcg actccctggc caaagactga cgctcatgtg cgaaagtgtg ggtagcgaac
    721 aggattagat accetggtag tecacacegt aaacgetgte tactagetgt ttgtgaattt
    781 aatttgtaag tagcgaaget aacgcgataa gtagaccgcc tggggagtac ggccgcaagg
    841 ttaaaactca aatgaattga cgggggcccg cacaagcggt ggagcatgtg gtttaattcg
    901 atgcaacgcg aagaacctta cctacacttg acatgctgag aactttccag agatggattg
    961 gtgccttcgg gaactcagac acaggtgctg catggctgtc gtcagctcgt gtcgtgagat
   1021 gttgggttaa gtcccgcaac gagcgcaacc cttgtcctta gttgccagca tttagttggg
   1081 cactctaagg agactgccgg tgacaaaccg gaggaaggtg gggacgacgt caagtcatca
   1141 tggcccttac gtgtagggct acacacgtgc tacaatggca agtacagagg gaagcgagac
   1201 agtgatgtgg agcggacccc ttaaagcttg tcgtagtccg gattggagtc tgcaactcga
   1261 ctccatgaag tcggaatcgc tagtaatcgc aggtcagaat actgcggtga atacgttccc
   1321 gggccttgta cacaccgccc
```

```
LOCUS KF010925 892 bp DNA linear BCT 22-JUL-2013
DEFINITION Kocuria sp. M46-10 16S ribosomal RNA gene, partial sequence.
ACCESSION KF010925
VERSION KF010925
KEYWORDS.
SOURCE Kocuria sp. M46-10
 ORGANISM Kocuria sp. M46-10
       Bacteria: Actinobacteria: Actinobacteridae: Actinomycetales:
       Micrococcineae; Micrococcaceae; Kocuria.
REFERENCE 1 (bases 1 to 892)
 AUTHORS Nazarov, A.V., Korsakova, E.S., Anan'ina, L.N. and Plotnikova, E.G.
 TITLE Phylogenetic diversity of bacteria from the rhizosphere of plants
       growing on technogenically salinized soils
 JOURNAL Unpublished
REFERENCE 2 (bases 1 to 892)
 AUTHORS Korsakova, E.S.
 TITLE Direct Submission
 JOURNAL Submitted (06-MAY-2013) Laboratory of Molecular Microbiology and
       Biotechnology, Institute of Ecology and Genetics of Microorganisms
       of the Ural Branch of the Russian Academy of Sciences, 13, Golev
       Street, Perm, Perm Region 614081, Russia
FEATURES Location/Qualifiers
  source 1..892
            /organism="Kocuria sp. M46-10"
            /mol_type="genomic DNA"
            /strain="M46-10"
            /isolation source="rhizosphere of plants growing on
            technogenically-salinized soil"
            /db_xref="taxon:1342305"
            /country="Russia"
   rRNA <1..>892
            /product="16S ribosomal RNA"
ORIGIN
     1 ttgctgggtg gattagtggc gaacgggtga gtaatacgtg agtaacctgc ccttgactct
    61 gggataagcc tgggaaactg ggtctaatac tggatactac ctcttaccgc atggygggtg
   121 gtggaaaggg ttttactggt tttggatggg ctcacggcct atcagcttgt tggtggggta
   181 atggctcacc aaggcgacga cgggtagccg gcctgagagg gtgaccggcc acactgggac
   241 tgagacacgg cccagactcc tacgggaggc agcagtgggg aatattgcac aatgggcgga
   301 agectgatge agegacgeeg egtgagggat gaeggeette gggttgtaaa eetettteag
   361 tagggaagaa gcgagagtga cggtacctgc agaagaagcg ccggctaact acgtgccagc
   421 agccgcggta atacgtaggg cgcaagcgtt gtccggaatt attgggcgta aagagctcgt
   481 aggeggtttg tegegtetge tgtgaaagee eggggeteaa eeeegggtet geagtgggta
   541 cgggcagact agagtgcagt aggggagact ggaattcctg gtgtagcggt gaaatgcgca
   601 gatatcagga ggaacaccga tggcgaaggc aggtctctgg gctgttactg acgctgagga
   661 gcgaaagcat ggggagcgaa caggattaga taccetggta gtccatgccg taaacgttgg
   721 gcactaggtg tgggggacat tccacgtttt ccgcgccgta gctaacgcat taagtgcccc
   781 geetgaggag taeggeegea aggetaaaac teaaaggaat tgaeggggge eegeacaage
   841 ggcggagcat gcggattaat tcgatgcaac gcgaagaacc ttaccaaggc tt
//
```

```
LOCUS KF010926 819 bp DNA linear BCT 22-JUL-2013
DEFINITION Isoptericola sp. M46-11 16S ribosomal RNA gene, partial sequence.
ACCESSION KF010926
VERSION KF010926
KEYWORDS.
SOURCE Isoptericola sp. M46-11
 ORGANISM Isoptericola sp. M46-11
       Bacteria: Actinobacteria: Actinobacteridae: Actinomycetales:
       Micrococcineae; Promicromonosporaceae; Isoptericola.
REFERENCE 1 (bases 1 to 819)
 AUTHORS Nazarov, A.V., Korsakova, E.S., Anan'ina, L.N. and Plotnikova, E.G.
 TITLE Phylogenetic diversity of bacteria from the rhizosphere of plants
       growing on technogenically salinized soils
 JOURNAL Unpublished
REFERENCE 2 (bases 1 to 819)
 AUTHORS Korsakova, E.S.
 TITLE Direct Submission
 JOURNAL Submitted (06-MAY-2013) Laboratory of Molecular Microbiology and
       Biotechnology, Institute of Ecology and Genetics of Microorganisms
       of the Ural Branch of the Russian Academy of Sciences, 13, Golev
       Street, Perm, Perm Region 614081, Russia
FEATURES Location/Qualifiers
  source 1..819
            /organism="Isoptericola sp. M46-11"
            /mol_type="genomic DNA"
            /strain="M46-11"
            /isolation source="rhizosphere of plants growing on
            technogenically-salinized soil"
            /db_xref="taxon:1342304"
            /country="Russia"
   rRNA <1..>819
            /product="16S ribosomal RNA"
ORIGIN
     1 tgcaagtcga acggtgaagc ccagcttgct gggtggatca gtggcgaacg ggtgagtaac
    61 acqtgagcaa cctgccctcc acttcgggat aagccttgga aacggggtct aataccggat
   121 atgagcatct gccgcatggt gggtgttgga aagtttttcg gtggaggatg ggctcgcggc
   181 ctatcagett gttggtgggg tgatggceta ccaaggegte gaegggtage eggeetgaga
   241 gggcgaccgg ccacactggg actgagacac ggcccagact cctacgggag gcagcagtgg
   301 ggaatattgc acaatgggcg aaagcctgat gcagcgacgc cgcgtgaggg atgacggcct
   361 tcgggttgta aacctctttc agcagggaag aaggcttcgg ttgacggtac ctgcagaaga
   421 agggcggct aactacgtgc cagcagccgc ggtaatacgt agggcgcaag cgttgtccgg
   481 aattattggg cgtaaagagc tcgtaggcgg tctgtcgcgt ctggtgtgaa aacccgaggc
   541 tcaacctcgg gettgcatcg ggtacgggca gactagagtg cggtagggga gactggaatt
   601 cctggtgtag cggtggaatg cgcagatatc aggaggaaca ccgatggcga aggcaggtct
   661 ctgggccgca actgacgctg aggagcgaaa gcatggggag cgaacaggat tagataccct
   721 ggtagtccat gccgtaaacg ttgggcacta ggtgtggggc tcattccacg agttccgtgc
   781 cgcagctaac gcattaagtg ccccgcctgg ggagtacgg
//
```

```
LOCUS KF010927 1405 bp DNA linear BCT 22-JUL-2013
DEFINITION Kushneria sp. M47-1 16S ribosomal RNA gene, partial sequence.
ACCESSION KF010927
VERSION KF010927
KEYWORDS.
SOURCE Kushneria sp. M47-1
 ORGANISM Kushneria sp. M47-1
       Bacteria: Proteobacteria: Gammaproteobacteria: Oceanospirillales:
       Halomonadaceae; Kushneria.
REFERENCE 1 (bases 1 to 1405)
 AUTHORS Nazarov, A.V., Korsakova, E.S., Anan'ina, L.N. and Plotnikova, E.G.
 TITLE Phylogenetic diversity of bacteria from the rhizosphere of plants
       growing on technogenically salinized soils
 JOURNAL Unpublished
REFERENCE 2 (bases 1 to 1405)
 AUTHORS Korsakova, E.S.
 TITLE Direct Submission
 JOURNAL Submitted (06-MAY-2013) Laboratory of Molecular Microbiology and
       Biotechnology, Institute of Ecology and Genetics of Microorganisms
       of the Ural Branch of the Russian Academy of Sciences, 13, Golev
       Street, Perm, Perm Region 614081, Russia
FEATURES Location/Qualifiers
  source 1..1405
            /organism="Kushneria sp. M47-1"
            /mol_type="genomic DNA"
            /strain="M47-1"
            /isolation source="rhizosphere of plants growing on
            technogenically-salinized soil"
            /db_xref="taxon:1342306"
            /country="Russia"
   rRNA <1..>1405
            /product="16S ribosomal RNA"
ORIGIN
      1 tgcaagtcga gcggtaacag gggtagcttg ctacccgctg acgagcggcg gacgggtgag
     61 taatgcatgg gtatctgccc ggtagtgggg gataactcgg ggaaacccga gctaataccg
    121 catacgtcct acgggagaaa gcaggggatc ttcggacctt gcgctatcgg atgagcccat
    181 gtcggattag cttgttggtg aggtaacggc tcaccaaggc gacgatccgt agctggtctg
    241 agaggatgat cagccacacc gggactgaga cacggcccgg actcctacgg gaggcagcag
    301 tagagaatat tagacaatag aggaaaccct gatccagcca taccagtat atgaagaaga
    361 ccttcgggtt gtaaagcact ttcagtgggg aagaaggcat gatgattaat actcgtcatg
    421 aaggacatca cccacagaag aagcaccggc taactccgtg ccagcagccg cggtaatacg
    481 gagggtgcaa gcgttaatcg gaattactgg gcgtaaaggg cgcgtaggcg gcttgccaag
    541 ccggatgtga aagccccggg ctcaacccgg gaacggcatt cggaactggt aggctagagt
    601 gcaggagagg aaggtggaat tcccggtgta gcggtgaaat gcgtagagat cgggaggaat
    661 accagtaged aaggegget tetggaetga caetgaeget gaggegegaa agegtgggta
    721 gcaaacagga ttagataccc tggtagtcca cgccgtaaac gatgtcgacc agccgttgga
    781 ccccttgagg gtttggtggc gcagttaacg caataagtcg accgcctggg gagtacggcc
    841 gcaaggctaa aactcaaatg aattgacggg ggcccgcaca agcggtggag catgtggttt
    901 aattegatge aacgegaaga acettacetg etettgacat eetgegaatt eetcagagat
    961 gaggaagtgc cttcgggaac gcagagacag gtgctgcatg gctgtcgtca gctcgtgttg
   1021 tgaaatgttg ggttaagtcc cgtaacgagc gcaaccccta tccctttttg ccagcgcgta
   1081 atggcqggaa cttcagggag actgccggtg acaaaccgga ggaaggtggg gacgacgtca
   1141 agtcatcatg gcccttacga gcagggctac acacgtgcta caatggccgg tacaaagggt
   1201 tgcgaagcgg cgacgtgaag ccaatcccag aaagccggcc tcagtccgga tcggagtctg
   1261 caactcgact ccgtgaagtc ggaatcgcta gtaatcgtgg atcagaatgc cacggtgaat
   1321 acgttcccgg gccttgtaca caccgcccgt cacaccatgg gagtggactg caccagaagt
   1381 ggttagctta accttcggga gagcg
```

```
LOCUS KF010928 1316 bp DNA linear BCT 22-JUL-2013
DEFINITION Microbacterium sp. M47-2 16S ribosomal RNA gene, partial sequence.
ACCESSION KF010928
VERSION KF010928
KEYWORDS.
SOURCE Microbacterium sp. M47-2
 ORGANISM Microbacterium sp. M47-2
       Bacteria: Actinobacteria: Actinobacteridae: Actinomycetales:
       Micrococcineae; Microbacteriaceae; Microbacterium.
REFERENCE 1 (bases 1 to 1316)
 AUTHORS Nazarov, A.V., Korsakova, E.S., Anan'ina, L.N. and Plotnikova, E.G.
 TITLE Phylogenetic diversity of bacteria from the rhizosphere of plants
       growing on technogenically salinized soils
 JOURNAL Unpublished
REFERENCE 2 (bases 1 to 1316)
 AUTHORS Korsakova, E.S.
 TITLE Direct Submission
 JOURNAL Submitted (06-MAY-2013) Laboratory of Molecular Microbiology and
       Biotechnology, Institute of Ecology and Genetics of Microorganisms
       of the Ural Branch of the Russian Academy of Sciences, 13, Golev
       Street, Perm, Perm Region 614081, Russia
FEATURES Location/Qualifiers
  source 1..1316
            /organism="Microbacterium sp. M47-2"
            /mol_type="genomic DNA"
            /strain="M47-2"
            /isolation source="rhizosphere of plants growing on
            technogenically-salinized soil"
            /db_xref="taxon:1342307"
            /country="Russia"
   rRNA <1..>1316
            /product="16S ribosomal RNA"
ORIGIN
      1 caagtcgaac ggtgaacacg gagcttgctc tgtgggatca gtggcgaacg ggtgagtaac
     61 acqtqaqcaa cctqccctqq actctqqqat aaqcqctqqa aacqqcqtct aatactqqat
    121 atgagacgtg gccgcatggt caacgtttgg aaagattttt cggtctggga tgggctcgcg
    181 gcctatcagc ttgttggtga ggtaatggct caccaaggcg tcgacgggta gccggcctga
    241 gagggtgacc ggccacactg ggactgagac acggcccaga ctcctacggg aggcagcagt
    301 ggggaatatt gcacaatggg cgaaagcctg atgcagcaac gccgcgtgag ggatgacggc
    361 cttcgggttg taaacctctt ttagcaggga agaagcgaga gtgacggtac ctgcagaaaa
    421 agcaccggct aactacgtgc cagcagccgc ggtaatacgt agggtgcaag cgttatccgg
    481 aattattggg cgtaaagagc tcgtaggcgg tttgtcgcgt ctgctgtgaa atctgggggc
    541 tcaaccccca gcctgcagtg ggtacgggca gactagagtg cggtagggga gattggaatt
    601 cctggtgtag cggtggaatg cgcagatatc aggaggaaca ccgatggcga aggcagatct
    661 ctgggccgta actgacgctg aggagcgaaa gggtggggag caaacaggct tagataccct
    721 ggtagtccac cccgtaaacg ttgggaacta gttgtggggt ccattccacg gattccgtga
    781 cgcagctaac gcattaagtt ccccgcctgg ggagtacggc cgcaaggcta aaactcaaag
    841 gaattgacgg ggacccgcac aagcggcgga gcatgcggat taattcgatg caacgcgaag
    901 aaccttacca aggettgaca tatacgagaa egggeeagaa atggteaact etttggacae
    961 tcgtaaacag gtggtgcatg gttgtcgtca gctcgtgtcg tgagatgttg ggttaagtcc
   1021 cgcaacgagc gcaaccctcg ttctatgttg ccagcacgta atggtgggaa ctcatgggat
   1081 actgccgggg tcaactcgga ggaaggtggg gatgacgtca aatcatcatg cccttatgt
   1141 cttgggette aegeatgeta caatggeegg tacaaaggge tgeaataceg tgaggtggag
   1201 cgaatcccaa aaagccggtc ccagttcgga ttgaggtctg caactcgacc tcatgaagtc
   1261 ggagtcgcta gtaatcgcag atcagcaacg ctgcggtgaa tacgttcccg ggtctt
```

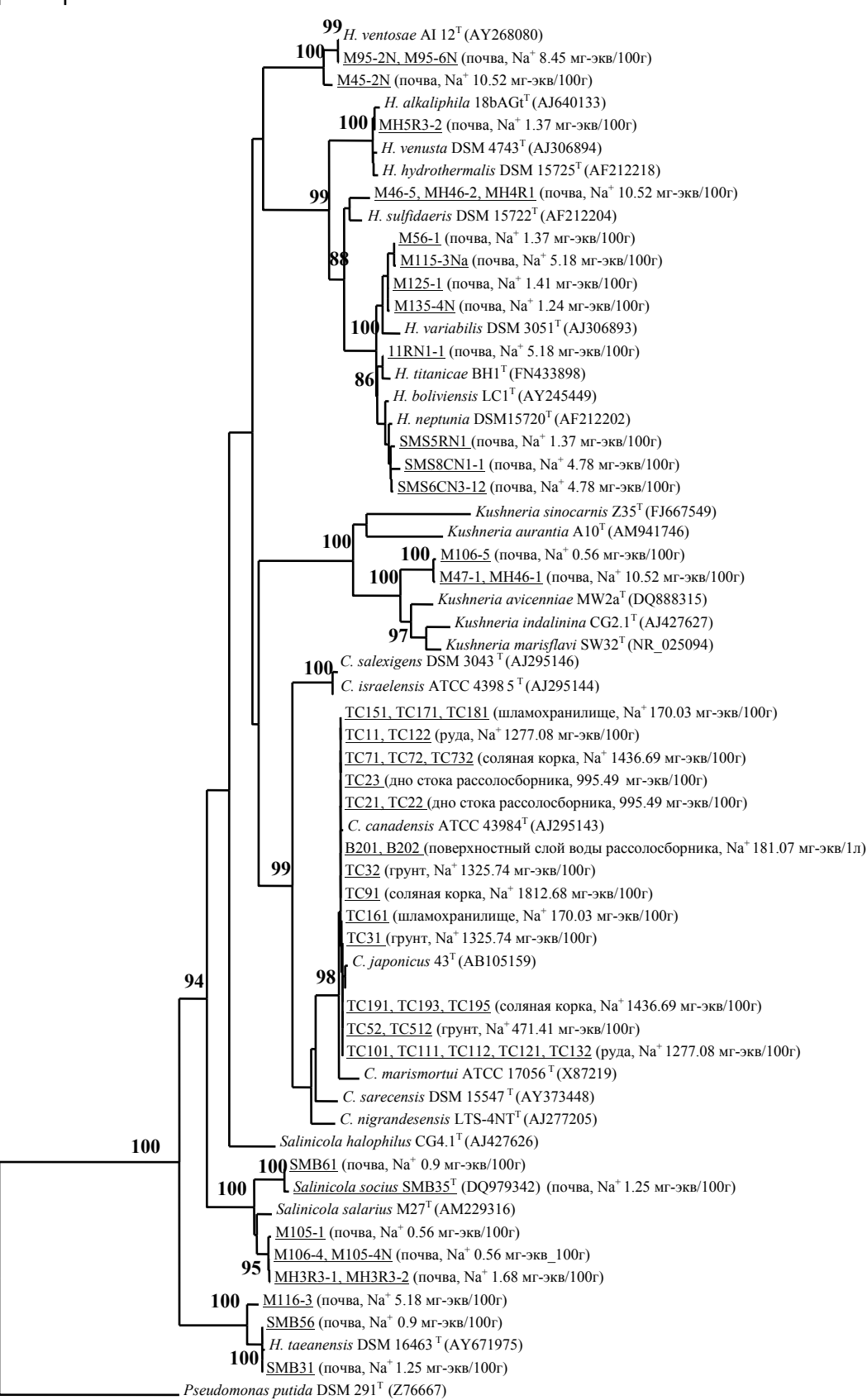
Приложение 1

Нуклеотидные последовательности функциональных генов штамма *Rhodococcus wratislaviensis* КТ112-7 (=BKM AC 2631D)

### *phtB*

#### benA

0.1



Филогенетическое древо, построенное с использованием метода neighbor-joining, показывающее положение исследуемых изолятов в семействе *Halomonadaceae*, основанное на сравнении нуклеотидных последовательностей гена 16S рРНК длиной 1248 п.н. Масштаб соответствует 10 нуклеотидным заменам на каждые 100 нуклеотидов. Цифрами показана статистическая достоверность порядка ветвления, определенная с помощью "bootstrap" анализа 1000 альтернативных деревьев (приведены значения выше 50%). Изоляты с идентичными генами 16S рРНК, выделенные из одного образца, перечислены через запятую. В скобках указаны местообитания изолятов и содержание катионов натрия в образцах.

# БЛАГОДАРНОСТИ

Выражаю искреннюю признательность научному руководителю доктору биологических наук Плотниковой Елене Генриховне за предоставленную тему исследований, помощь при планировании экспериментов и обсуждении полученных результатов, внимание и поддержку.

Выражаю глубокую благодарность заведующему лабораторией молекулярной микробиологии и биотехнологии ИЭГМ УрО РАН, чл.-корр. РАН Демакову Виталию Алексеевичу и сотрудникам лаборатории: н.с., к.б.н. Ананьиной Людмиле Николаевне, с.н.с., к.б.н. Егоровой Дарье Олеговне, с.н.с., к.б.н. Назарову Алексею Владимировичу, н.с., к.б.н. Ястребовой Ольге Викторовне и инженеру Шестаковой Елене Анатольевне за помощь в проведении исследований, обсуждении результатов, внимание и ценные советы.

Выражаю искреннюю благодарность заведующей отделом «Всероссийская коллекция микроорганизмов» ИБФМ им. Г.К. Скрябина РАН, д.б.н. Евтушенко Людмиле Ивановне за научные консультации.

Благодарю сотрудника группы физико-химических исследований ИЭГМ УрO РАН Шерстобитову Наталью Петровну за помощь в определение содержания катионов  $Na^+$  в исследуемых образцах.